

DESENVOLVIMENTO DE UM MODELO MATEMATICO  
PARA PROGNOSTICAR AS CARACTERISTICAS DE  
DESEMPENHO DOS CONVERSORES DE TORQUE

20/91

ESTE EXEMPLAR CORRESPONDE A REDAÇÃO FINAL  
DA TESE DEFENDIDA POR JOAQUIM EMA-  
NUEL SANTINI E APROVADA PELA  
COMISSÃO JULGADORA EM 30/08/92

ZL

ORIENTADOR

UNIVERSIDADE ESTADUAL DE CAMPINAS  
FACULDADE DE ENGENHARIA MECÂNICA  
DEPARTAMENTO DE PROJETO MECÂNICO

TESE DE MESTRADO

DESENVOLVIMENTO DE UM MODELO MATEMÁTICO PARA PROGNOSTICAR  
AS CARACTERÍSTICAS DE DESEMPENHO DOS  
CONVERSORES DE TORQUE

Autor: Joaquim Emanuel Santini

Orientador: Prof. Dr. Hans Ingo Weber

Co-Orientador: Prof. Dr. Kamal A.R. Ismail

Aprovado por:

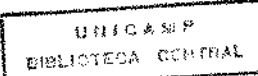
ZL

Prof. Dr. Hans Ingo Weber, presidente

Kamal Ismail  
Prof. Dr. Kamal A.R. Ismail

MZ  
Prof. Dr. Moysés Zindeluk

Campinas, 30 de Agosto de 1991.



PARA MINHA QUERIDA ESPOSA, BETH, PELA PACIÊNCIA,  
APOIO, INCENTIVO E ENCORAJAMENTO INDISPENSÁVEIS À  
CONCLUSÃO DESTE TRABALHO E PARA MEUS FILHOS  
ISABELLE E RODRIGO.

## AGRADECIMENTOS

O autor deseja expressar os seus agradecimentos a todos aqueles que contribuiram de uma forma ou de outra para que este trabalho pudesse ser realizado.

Ao meu pai, Nelson Santini, (in memorian), à minha mãe, Diorah J.L.Santini, à minha avó, Tereza G. Lourenço e ao meu grande amigo, Antônio Lourenço Dal Porto (Lico), (in memorian), por tudo.

Ao meu orientador Prof. Dr. Hans Ingo Weber, pela indispensável orientação e pela cordialidade que marcou o nosso relacionamento.

À Direção de Equipamentos Clark Ltda, nas pessoas do Engº Francisco Edmír Bertolaccine, Diretor Presidente, e Engº Jorge Vínicius da Silva Junior, Diretor de Componentes Fora-de-Estrada pelo incentivo, apoio e facilidades oferecidos que possibilitaram a realização deste trabalho.

Ao Engº Wilson Marques Junior, pelo respeito e confiança demonstrados e pelo apoio constante sem o qual este trabalho não seria possível.

Ao meu amigo, Prof. Dr. Antônio Roberto Pereira, pelo interesse demonstrado e sugestões dadas durante o desenvolvimento do trabalho.

Ao Prof. Dr. Kamal A.R. Ismaili, pelo apoio dado no acondicionamento e discussão dos resultados.

Expresso minha gratidão à amiga Ana Maria Fantini pela revisão gramatical.

Aos Eng° Andy Zawieza, J. Peppel, J.Chen, Mauricio Parma e Sérgio C. Ständke pelas informações e pelo interesse demonstrados por este trabalho.

Finalmente quero agradecer a Ana Maria da Silva, Roberta D. Python, Marcos Perceguetti e Alessandra A. Borges Marin para preparação dos originais, confecção dos desenhos e execução do programa de simulação.

## RESUMO

Descreve-se um procedimento teórico para prognosticar as características de desempenho dos conversores de torque com três elementos.

O modelo matemático é desenvolvido supondo o movimento de circulação do fluido similar a um vórtice forçado, e com uma distribuição linear de velocidade a partir do raio médio ( $R_m$ ). Além disso, desenvolve-se todas as equações para as secções de escoamento do fluido no interior do conversor de torque.

Os resultados obtidos são comparados com o modelo convencional e com as medições experimentais.

## ABSTRACT

A theoretical procedure is described to predict the performance characteristics of the torque converters with three elements. The mathematical model is developed assuming that the circulation motion of the fluid is similar to a forced vortex and with a linear velocity distribution from the mean radius ( $R_m$ ). Besides this, all equations are developed to the flow section of the fluid inside the torque converter.

The results obtained are compared to the conventional model and with the experimental measurements.

# ÍNDICE

I.	INTRODUÇÃO	
I.1	Considerações Sobre Conversores de Torque.....	01
I.2	Princípio de Operação de Conversores Hidráulicos.....	02
I.3	Modelos Teóricos para Avaliação do Desempenho dos Conversores de Torque.....	02
II.	CONCEITOS DE MECÂNICA DOS FLUIDOS	
II.1	Relações entre as Equações Relativas ao Sistema e Aqueles Referentes ao Volume de Controle.....	12
II.2	Desenvolvimento das Equações da Continuidade, Quantidade de Movimento e Momento da Quantidade de Movimento.....	13
II.2.1	Equação da Continuidade.....	13
II.2.2	Equação da Quantidade de Movimento para um Volume de Controle Inicial.....	17
II.2.3	Equação do Momento da Quantidade de Movimento para um Volume de Controle Inicial.....	18
II.2.3.1	Aplicações da Equação do Momento da Quantidade de Movimento à Turbomáquinas..	20
II.3	Pérdas de Potência.....	20
III.	MODELO MATEMÁTICO	
III.1	Equacionamento do Centro de Rotação do Vértice Forçado..	32
III.2	Determinação dos Torques Desenvolvidos no Impulsor e Turbina .....	32
III.2.1	Desenvolvimento da Equação do Torque no Impulsor.....	37
III.2.2	Desenvolvimento da Equação do Torque na Turbina.....	47
III.3	Determinação da Velocidade Angular do Fluido Circulante ( $\omega$ ) Através do Conversor.....	48
III.3.1	Pérdas por Choque.....	48
III.3.1.1	Pérdas por Choque no Impulsor.....	49
III.3.1.2	Pérdia por Choque na Turbina.....	54
III.3.1.3	Pérdas por Choque no Estator.....	55

III.3.2 Perdas por Atrito.....	56	
III.3.2.1 Perdas por Atrito no Impulsor.....	56	
III.3.2.2 Perdas por Atrito na Turbina.....	56	
III.3.2.3 Perdas por Atrito no Estator.....	56	
III.3.3 Perdas por Escoamento Secundário.....	67	
III.3.3.1 Perdas por Escoamento Secundário no Impulsor.....	67	
III.3.3.2 Perdas por Escoamento Secundário na Turbina.....	68	
III.3.3.3 Perdas por Escoamento Secundário no Estator.....	68	
 IV. PARTE EXPERIMENTAL		
IV.1 Introdução.....	71	
IV.2 Equipamentos e Instrumentos.....	74	
IV.3 Descrição dos Testes Efetuados.....	82	
IV.3.1 Teste para Avaliação do Desempenho em Condições Normais de Operação.....	82	
IV.3.2 Teste para Avaliação do Desempenho com a Velocidade de Saída Nula.....	82	
IV.3.3 Testes para Avaliação do Desempenho com o Torque de Saída Nulo.....	82	
IV.4 Resultados Obtidos.....	82	
 V. SIMULAÇÃO E DISCUSSÃO DOS RESULTADOS		
V.1 Simulação.....	82	
V.2 Discussão dos Resultados.....	82	
 VI. CONCLUSÃO.....		84
BIBLIOGRAFIA.....		85

## LISTA DE FIGURAS

1.1	Esquema Típico de um Conversor de Torque de um Único Estágio e com Três Elementos.....	DE
1.2	Seção Toroidal do Conversor de Torque.....	DS
2.1	Configuração do Sistema e do Volume de Controle.....	11
2.2	Vista Ampliada da Sub-Região (3) da Fig. 2.1.....	13
2.3	Vista Ampliada da Sub-Região (1) da Fig. 2.1.....	14
2.4	Diagrama de Velocidade de uma Partícula Fluidica.....	21
2.5	Representação do Sistema de Coordenadas e das Superfícies de Controle no Rotor.....	22
2.6	Diagrama de Velocidade na Entrada do Rotor.....	23
2.7	Diagrama de Velocidade na Saída do Rotor.....	24
3.1	Seção Toroidal do Conversor de Torque MISTURADO ou TÍPICO Tubo de Corrente.....	20
3.2	Círculo Fechado.....	20
3.3	Distribuição Linear de Velocidade a partir do Raio Médio ( $R_m$ ).....	31
3.4	Linhas de Corrente Coincidentes com a Curvatura das Aletas...	32
3.5	Volum de Controle para a Determinação do Centro de Rotação do Vértice Forçado.....	33
3.6	Área A1.....	34
3.7	Diagramas de Velocidade na Entrada e Saída das Aletas para os Elementos do Conversor de Torque.....	38
3.8	Localização de um Tubo de Corrente a partir do Raio Médio ( $R_m$ ).....	38
3.9	Elemento de Área $dA_1$ .....	41
3.10	Elemento de Área $dA_2$ .....	43
3.11	Sistema de Coordenadas para à Posição Média do Impulsor....	58
3.12	Elemento de Área Lateral de um Tronco de Cone na Linha Média do Canal.....	59
3.13	Sistema de Coordenadas Adotado para a Posição Média da Turbina.....	64

3.14 Sistema de Coordenadas Adotado para a Posição Média do Ecatotor.....	86
5.1 Secção Toroidal Mostrando uma Linha de Corrente Média.....	86
5.2 Avaliação das Perdas (gráfico de barras).....	89
5.3 Avaliação das Perdas (gráfico de linha).....	91
5.4 Comparação das Eficiências.....	92
5.5 Comparação das Relações de Torque .....	93

## LISTA DE FOTOS

- 1.1 Impulsor
- 1.2 Turbina
- 1.3 Estator
- 1.4 Detalhe dos Três Elementos do Conversor de Torque
- 1.5 Detalhe da Montagem dos Elementos do Conversor de Torque na Carcaça, Mostrando o Fluxo do Óleo
- 1.6 Conjunto de Aletas do Impulsor em Vermelho e da Turbina em Azul
- 1.7 Conjunto das Aletas do Estator
  
- 4.1 Vista Superior da Área Dinamométrica onde Observamos um Conversor de Torque sendo Preparado para o Ensaio
- 4.2 Pô Carregadeira Instrumentada para a Realização de Testes Estruturais
- 4.3 Vista Parcial da Subdivisão Hidráulica
- 4.4 Curva Característica dos Motores
- 4.5 Curva Característica dos Geradores
- 4.6 Vista Parcial do Sistema de Carga
- 4.7 Detalhe dos Trocadores de Calor
- 4.8 Detalhe da Bomba de Alimentação e Reservatório
- 4.9 Detalhe do Aquecedor
- 4.10 Vista Lateral do Torquímetro
- 4.11 Detalhe do Sistema de Aquisição dos Dados
- 4.12 Vista Lateral da Preparação de um Conversor de Torque
- 4.13 Vista Lateral do Conversor Montado entre o Gerador e o Motor

## NOMENCLATURA

A	área da seção transversal
d	diâmetro hidráulico
F	componente meridional ou normal da velocidade absoluta
f	coeficiente de atrito
K <sub>C</sub>	coeficiente de proporcionalidade
K <sub>S</sub>	coeficiente empírico que depende da geometria
L	comprimento hidráulico
M	vazão mássica
N	propriedade extensiva do sistema
M	massa do sistema
P	perímetro molhado
P <sub>A</sub>	perdas por atrito
P <sub>C</sub>	perdas por choque
P <sub>S</sub>	perdas por escoamento secundário
P <sub>TOT</sub>	potência total dissipada
R	raio (figura 3.5)
r	raio (figura 3.5)
R <sub>1</sub>	raio (figura 3.8)
R <sub>2</sub>	raio (figura 3.8)
R <sub>3</sub>	raio (figura 3.8)
R <sub>ci</sub>	raio interno do núcleo
R <sub>co</sub>	raio externo do núcleo
R <sub>i</sub>	raio interno do conversor
R <sub>m</sub>	raio médio
R <sub>o</sub>	raio externo do conversor
S	componente tangencial da velocidade absoluta
T <sub>E</sub>	torque no estator
T <sub>I</sub>	torque no impulsor
T <sub>T</sub>	torque na turbina
U	velocidade tangencial ou linear do rotor
V	velocidade absoluta do fluido
x, y, z	coordenadas não ortogonais (figura 3.8)
w	velocidade relativa do fluido
Z <sub>E</sub>	número de aletas do estator
Z <sub>I</sub>	número de aletas do impulsor
Z <sub>T</sub>	número de aletas da turbina

## SÍMBOLOS GREGOS

- $\alpha$  ângulo formado entre o vetor velocidade e o vetor elemento de área
- $\beta$  ângulo da aleta
- $\gamma_E$  ângulo (figura 3.8)
- $\gamma_I$  ângulo (figura 3.8)
- $\gamma_T$  ângulo (figura 3.8)
- $\epsilon$  ângulo de deflexão da curva
- $\phi$  ângulo formado entre a velocidade absoluta e a velocidade tangencial do rotor
- $n$  propriedade extensiva do sistema por unidade de massa
- $\rho$  densidade do fluido
- $\omega$  velocidade angular do fluido circulante em rad/s
- $\omega_I$  velocidade do impulsor em (rad/s)
- $\omega_T$  velocidade da turbina em (rad/s)

## INDICES INFERIORES

1E	saída do estator
1I	entrada do impulso
2I	saída do impulso
2T	entrada da turbina
3T	saída da turbina
3E	entrada do estator
mI	linha média do canal formado pelas aletas do impulso
mT	linha média do canal formado pelas aletas da turbina
mE	linha média do canal formado pelas aletas do estator

# CAPÍTULO I

## I. INTRODUÇÃO

### I.1. CONSIDERAÇÕES SOBRE CONVERSORES DE TORQUE

Conversores de torque são mecanismos cujo objetivo principal é o incremento do torque em cadeias de transmissão de potência para baixas relações de velocidade. Isto significa que estes elementos recebem um torque de entrada vindo de um motor, por exemplo, transmitindo e multiplicando-o, a fim de fornecê-lo, por exemplo, ao sistema de tração de um veículo. A multiplicação do torque ocorre automaticamente de acordo com a condição de operação. O torque de saída do conversor é máximo quando o eixo de saída está bloqueado. E diminui, a partir do aumento da velocidade do eixo de saída até atingir o chamado ponto de acoplamento, no qual o torque de entrada é igual ao de saída.

A concepção dos conversores de torque antecede a 1900. Porém, foi neste ano que Herman Fottlinger, um alemão, registrou a primeira patente para aplicação dos conversores nos Estados Unidos. Segundo as referências [1,7,14, 30 e 31], esta aplicação englobava tanto os conversores de torque como os acoplamentos hidráulicos de cuja concepção se originaram os conversores. Por este motivo o Departamento de patentes dos USA emitiu em 1916 duas patentes, separando os acoplamentos hidráulicos dos conversores de torque.

Durante a segunda guerra mundial, foram realizados consideráveis esforços para o desenvolvimento e aplicação dos conversores em veículos militares pesados. Após a guerra, diversas organizações desenvolveram pesquisas para a utilização dos conversores em automóveis, caminhões e outros veículos. O principal objetivo destes estudos era obter uma unidade simples, que pudesse ser fabricada pelos métodos desenvolvidos e que resultasse em baixo custo.

Evidências do sucesso destes trabalhos podem ser observadas pelos milhões de conversores construídos desde 1950, com aplicações que vão desde automóveis até equipamentos fora de estrada, tais como pés-carregadeiras, motoniveladoras, guindastes, empilhadeiras e outras.

É grande a variedade de modelos de conversores utilizados comercialmente. A ref. [173] agrupou em quatro tipos, de um a quatro estágios, conforme o número de turbinas existentes no conversor. Esta mesma referência discute detalhadamente estes tipos.

Este estudo será desenvolvido para os conversores de torque que são aplicados em equipamentos fora de estrada e com um único estágio, pois são estes os projetados e fabricados pela "Equipamentos Clark".

## I.2. PRINCÍPIO DE OPERAÇÃO DE CONVERSORES HIDRÁULICOS.

O coração de um conversor "Clark", oriundo do Projeto "Fottinger", é o circuito hidráulico, o qual contém três elementos distintos que são: impulsor, turbina e estator - todos consolidados em uma simples carcaça e formando um circuito hidráulico fechado. As fotos 1.1, 1.2, 1.3 e 1.4 mostram estes elementos e a foto 1.5 a montagem dos mesmos na carcaça.

O impulsor é solidário com o eixo de entrada e a turbina com o eixo de saída. O estator normalmente é inertialmente fixo mas pode ser liberado em algumas relações de velocidade (Louco-Free Wheel) quando o conversor, por razões de desempenho, deve operar como um acoplamento hidráulico.

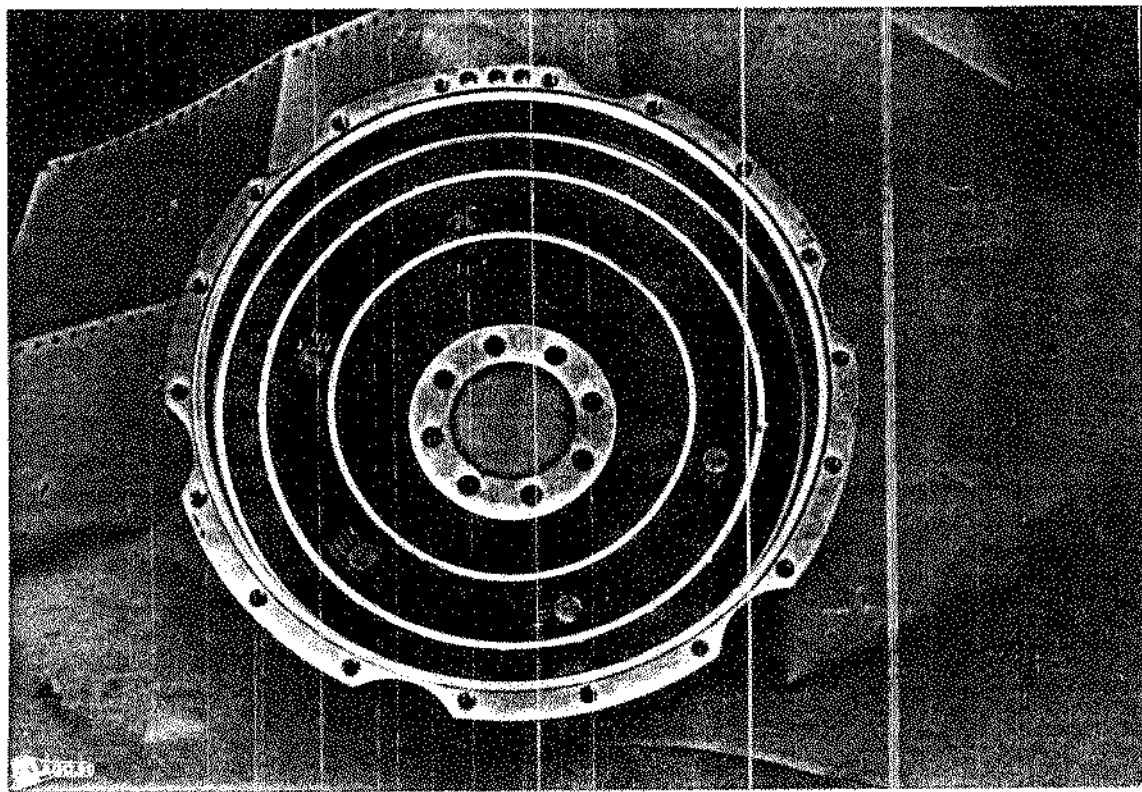


Foto 1.1 - Impulsor

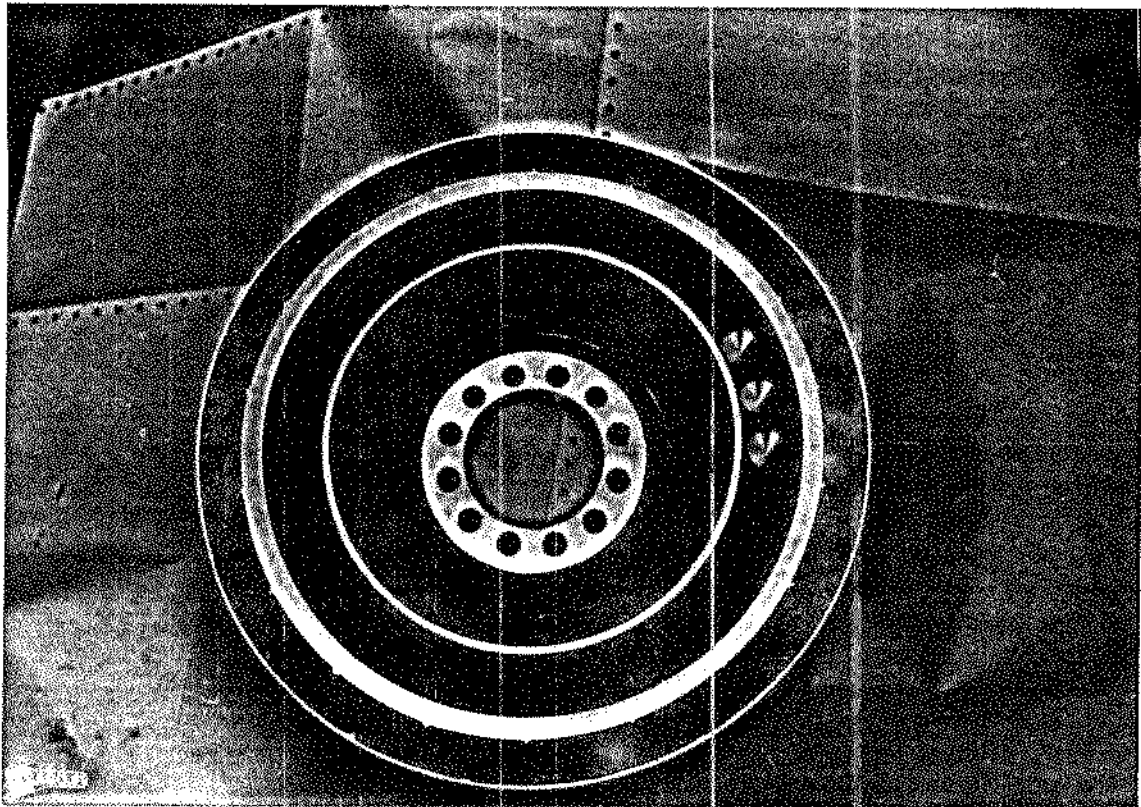


Foto 1.2 - Turbina

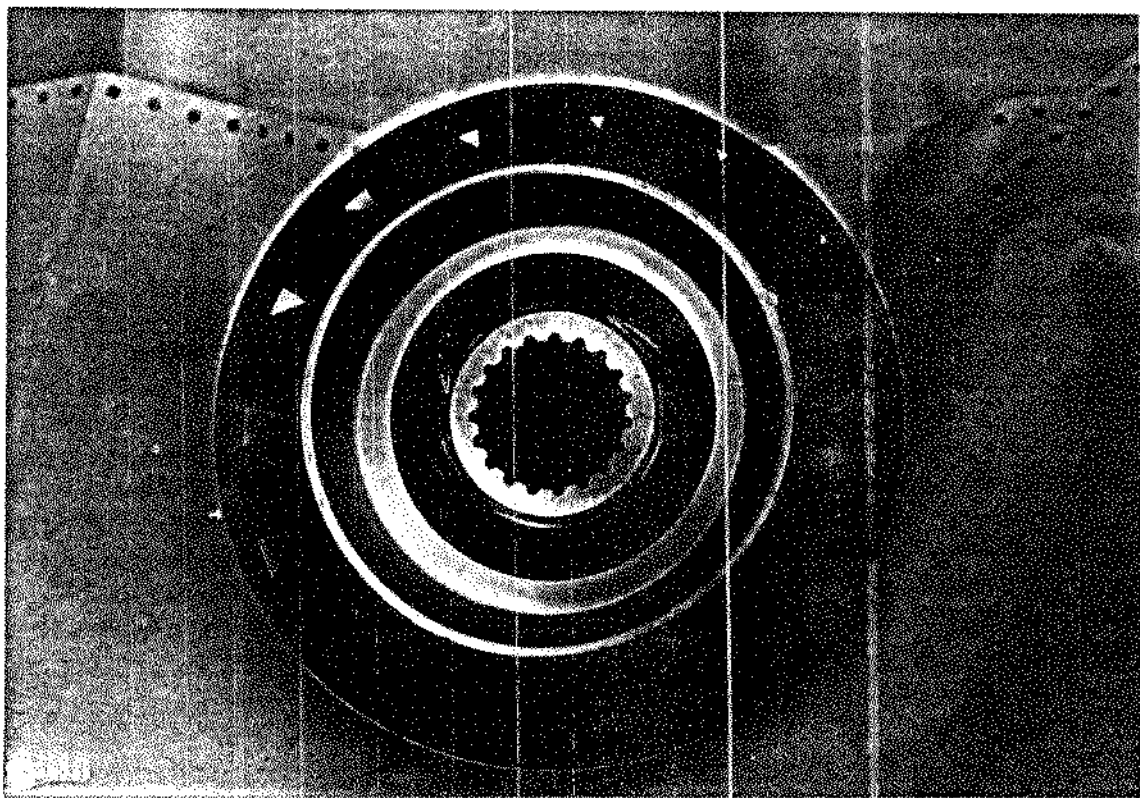


Foto 1.3 - Estator

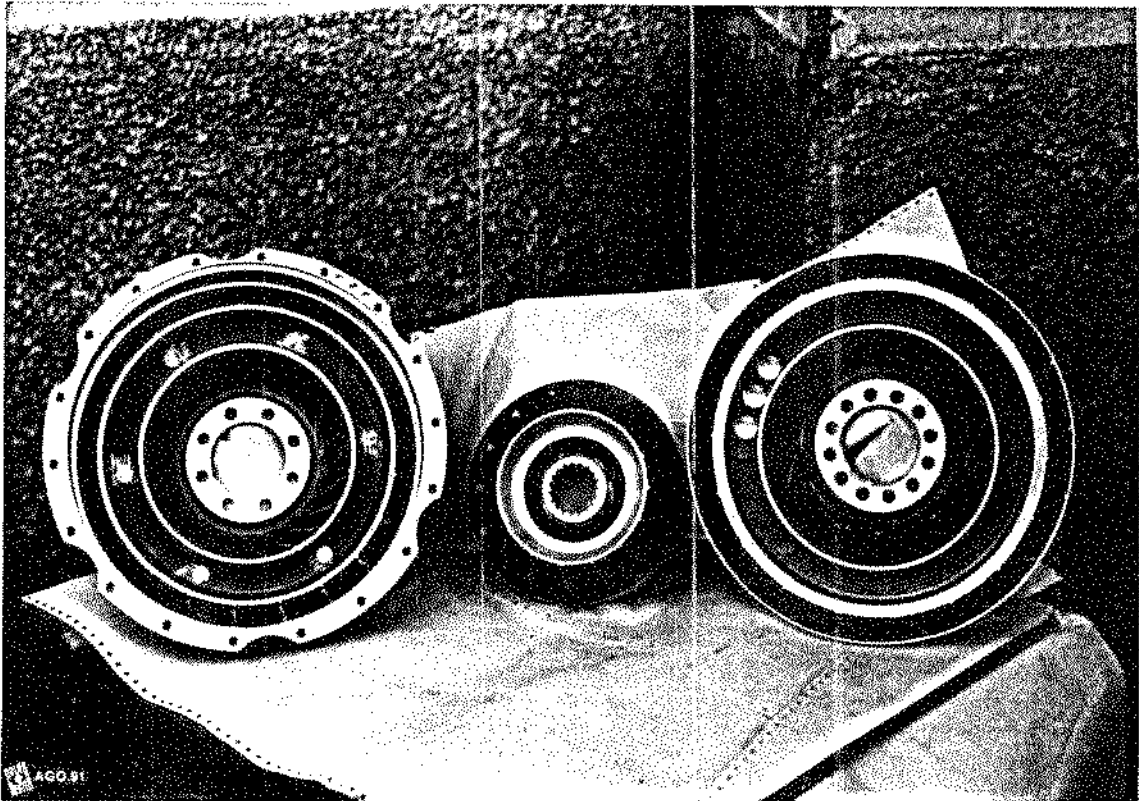


Foto 1.4 - Detalhe dos Três Elementos do Conversor de Torque



Foto 1.5 - Detalhe da Montagem dos Elementos do Conversor de Torque na Caixa, Mostrando o Fluxo do óleo.

Em nosso caso o consideramos fixo por ser isto a configuração mais utilizada no mercado brasileiro. Na Figura 1.1 apresentamos esquemáticamente o conversor de torque.

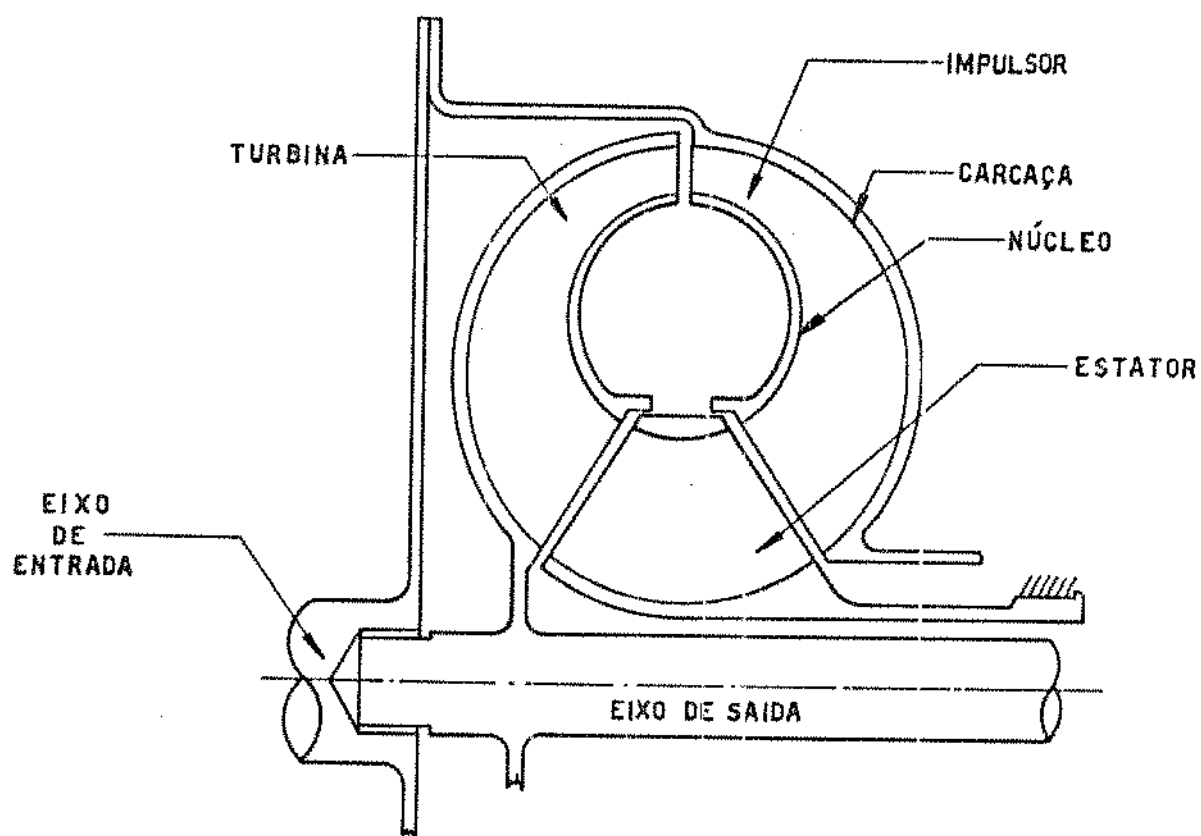


Figura 1.1 - Esquema Típico de um Conversor de Torque de um Único Estágio e com Três Elementos.

Para analisar o princípio de operação do conversor, observe-se o circuito fechado correspondente do fluxo do óleo: o fluido entra pelo impulsor e tem aí o seu momento da quantidade de movimento aumentado à medida que escapa radialmente penetrando na turbina. Esta, convenientemente projetada, acaba operando em uma rotação inferior à do impulsor devido às perdas, absorve este momento da quantidade de movimento carregado pelo fluido e o transmite através de um torque ao eixo de saída. O fluido, ao sair da turbina, entra no estator que é projetado de modo a redirecionar o escoamento, apoiando-se para tanto em um suporte inercial e termina fornecendo um momento de quantidade de

movimento do fluido, advindo deste esforço de reação. Em seguida, entra novamente no impulsionador completando o ciclo. Como o circuito é fechado, este ciclo repete-se continuamente. Na seção III.2 equacionar-se este ciclo. As fotos 1.6 e 1.7 mostram o arranjo esquemático simplificado das aletas do conversor de torque. Por não fazer parte do objeto central deste trabalho, não se discute o projeto das aletas (uma verdadeira ciência por si), o qual é detalhadamente abordado nas referências [5,18,19 e 20].

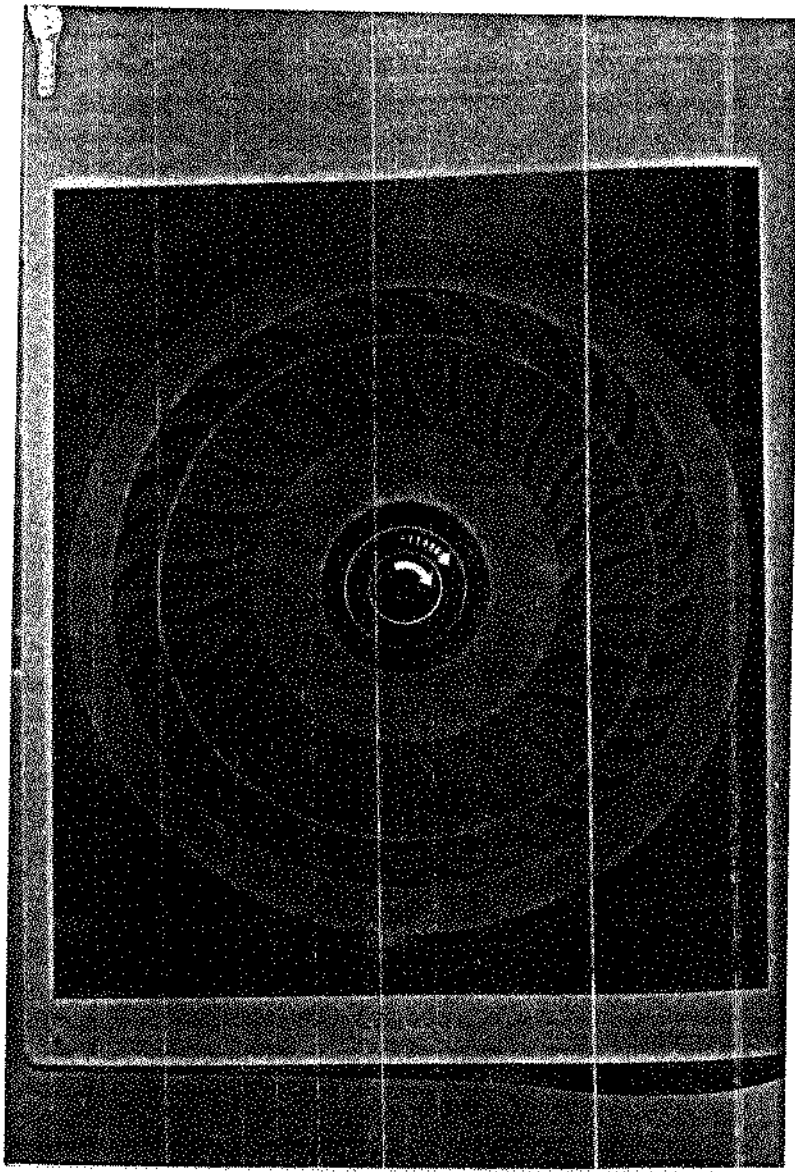


Foto 1.6 - Conjunto das Aletas do Impulsor em Vermelho e da Turbina em Azul.

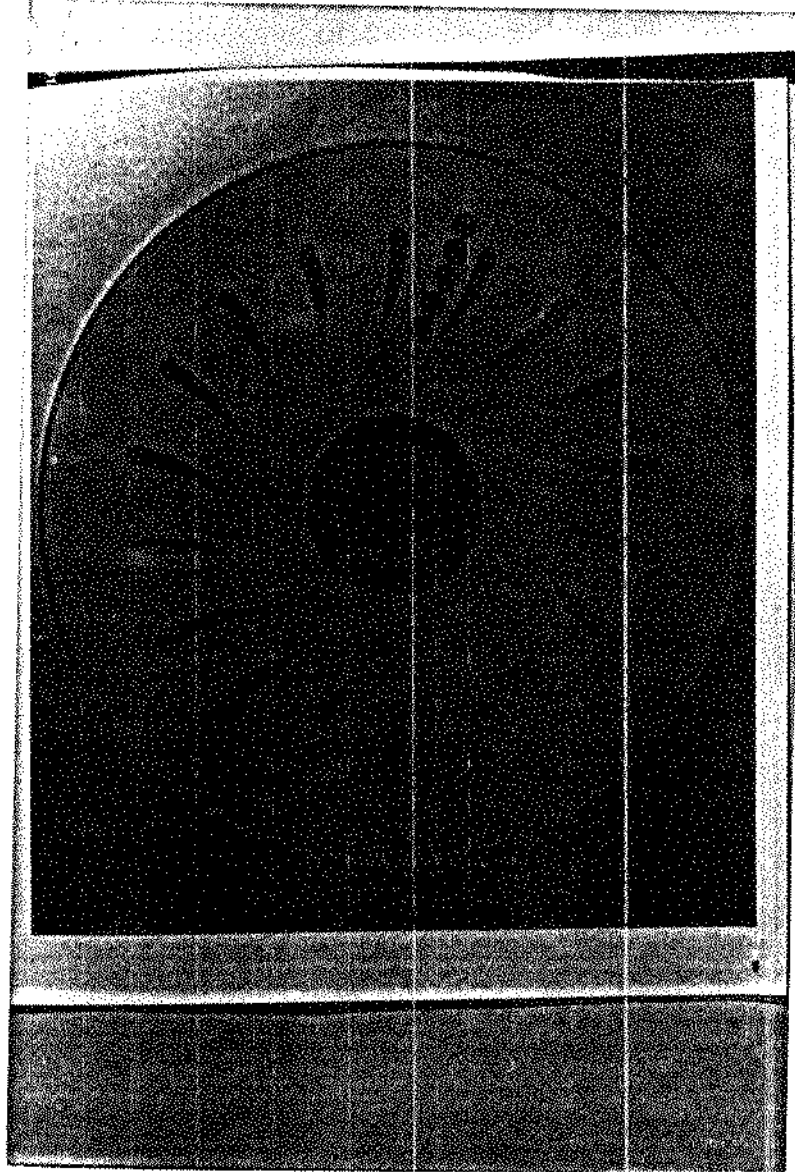


Foto 1.7 Conjunto das Aletas do Estator

### 1.3. MODELOS TÉORICOS PARA AVALIAÇÃO DO DESEMPENHO DOS CONVERSORES DE TORQUE.

Os primeiros esforços na direção de desenvolver um modelo para prever o desempenho dos conversores de torque foram realizados por Eksargian em 1943 [51] e por outros posteriormente, tais como: McLean, em 1953 [111], Sheally, em 1956 [201] e McLean, em 1958 [211].

Os modelos desses pesquisadores são similares e basicamente supõe para o escoamento do fluido uma distribuição constante de velocidade, desenvolvendo todo o equacionamento para um tubo de corrente média (verde Cap. 11).

Upton, em 1970 [6], utilizando o modelo de Eksergian [5], porém refinando a estimativa das perdas, conseguiu melhores resultados.

Em 1978, um grupo de pesquisadores da Universidade de Bath na Inglaterra, publicou um trabalho sobre acoplamentos hidráulicos [7], onde considerou para o escoamento uma distribuição linear de velocidade. E toda a formulação foi desenvolvida para a região de escoamento na interface entre os elementos (impulsor, turbina e estator).

O procedimento para avaliação do desempenho dos conversores de torque adotado pela engenharia de projeto da Clark é similar ao desenvolvido por Upton [6], mas devido às discrepâncias encontradas entre os valores calculados e os experimentais, surgiu a necessidade de um novo modelo que pudesse apresentar melhores resultados teóricos, otimizando e agilizando o processo de desenvolvimento desde o seu projeto.

Com base nos estudos da referência [7], é que se desenvolveu um modelo matemático para a avaliação do desempenho dos conversores de torque, onde se considerou o movimento de circulação do fluido no conversor similar a um vórtice forçado, implicando em uma distribuição linear de velocidade. Além disso, desenvolveu-se todo o equacionamento para as secções de escoamento do fluido na entrada e saída de cada elemento (impulsor, turbina e estator).

Com a aplicação deste modelo, obtiver-se resultados teóricos mais próximos dos experimentais do que os modelos até agora existentes. Todo o procedimento de cálculo para obtenção do mesmo e os estudos comparativos serão apresentados nos próximos capítulos. No Capítulo II apresentar-se os conceitos básicos de Mecânica dos Fluídos, isto é, Equação de Continuidade, Equação de Momento da Quantidade de Movimento e Equações das Perdas de Potência. No Capítulo III aplica-se estas equações ao caso em estudo. No Capítulo IV é discutida a realização experimental e no Capítulo V são comparados os resultados de simulação teórica e da medição experimental.

Vale ressaltar que todos os modelos descritos acima, inclusive este, são desenvolvidos para a seção toroidal do conversor, como ilustrado na Figura 1.2. Assim vale enfatizar que na realidade o escoamento do fluido não se processa bidimensionalmente em um movimento de circulação em um plano, como poderia apresentar a Figura

1.1, mas tridimensionalmente, em uma espécie de espiral ao longo deste tóroide.

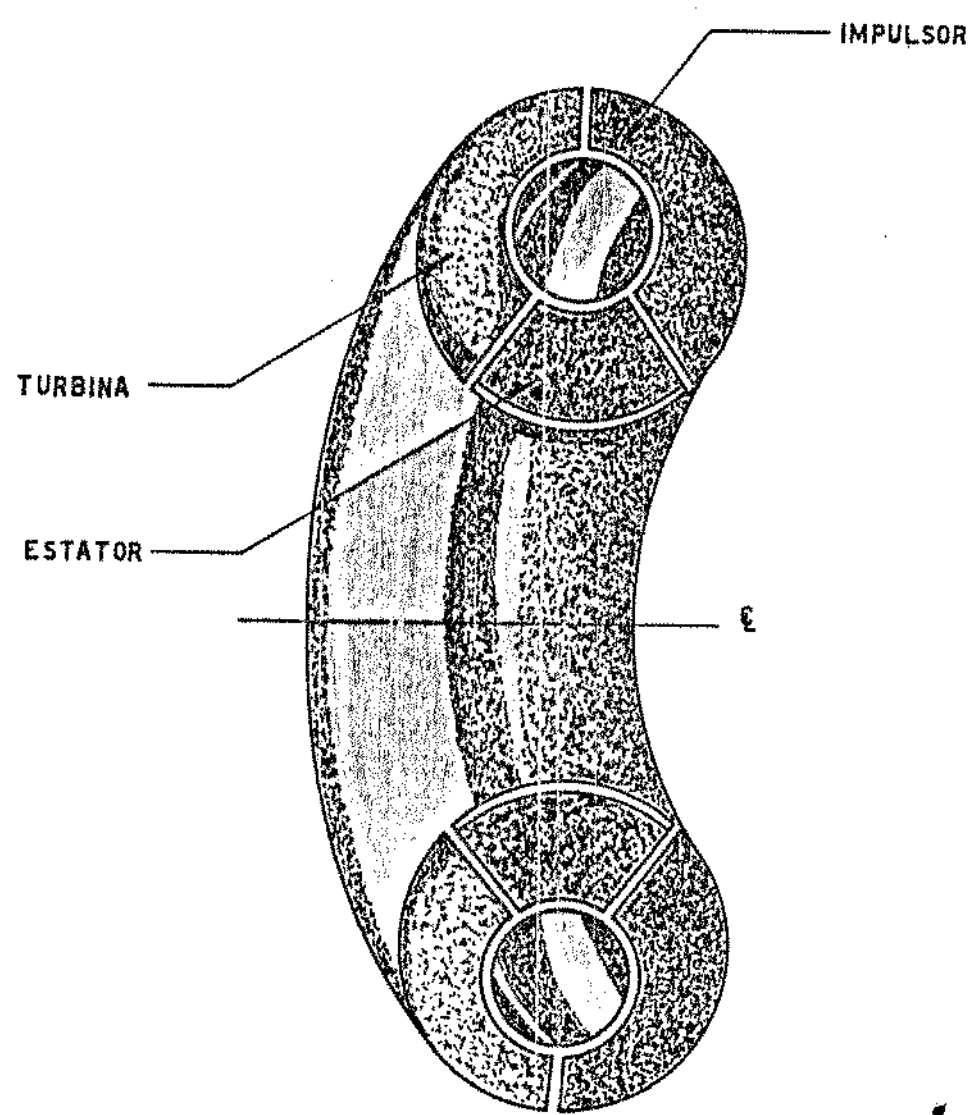


Figura 1.2 - Secção Tóroidal do Conversor de Torque.

## C A P I T U L O   I I

## II. CONCEITOS DE MECÂNICA DOS FLUIDOS

Neste capítulo serão apresentadas os principais conceitos de mecânica dos fluidos aplicados ao conversor de torque para o desenvolvimento do modelo matemático.

O primeiro ponto a ser tratado é a relação entre as equações relativas ao sistema e aquelas referentes ao volume de controle, a partir da qual se desenvolverão as equações da continuidade, da quantidade de movimento e do momento da quantidade de movimento. A seguir será deduzida a equação de Euler para turbomáquinas. Por último serão abordadas as principais perdas de potência que ocorrem nos conversores de torque.

### II.1. RELAÇÃO ENTRE AS EQUAÇÕES RELATIVAS AO SISTEMA E AQUELAS REFERENTES AO VOLUME DE CONTROLE.

Considere-se um campo de escoamento arbitrário  $\vec{V}(x, y, z, t)$ , quando observado de uma referência x y z, onde acompanha-se uma certa massa de fluido contida no sistema e cuja fronteira está indicada pela linha tracejada, Figura 2.1-a, onde as linhas de correntes traçadas correspondem às descritas no instante  $t_0$ . Além desse sistema, considera-se também um volume de controle fixo em relação aos eixos x y z e que coincide exatamente com o sistema acima descrito no instante  $t_0$ . No instante  $t_0 + \Delta t$  o sistema terá se deslocado um pouco, Figura 2.1-b.

Seja N o valor de alguma grandeza associada ao sistema no instante  $t_0$  (massa, energia, quantidade de movimento, etc): relaciona-se, em termos de volume de controle, a taxa de variação com o tempo do valor de N para o sistema ( $\dot{N}$ ). A distribuição de N por unidade de massa será dada por  $n$ , onde

$$N = \int_{V(SIST)} n p dV \quad (2.1)$$

com  $dV$  representando um elemento de volume e  $p$  a densidade.

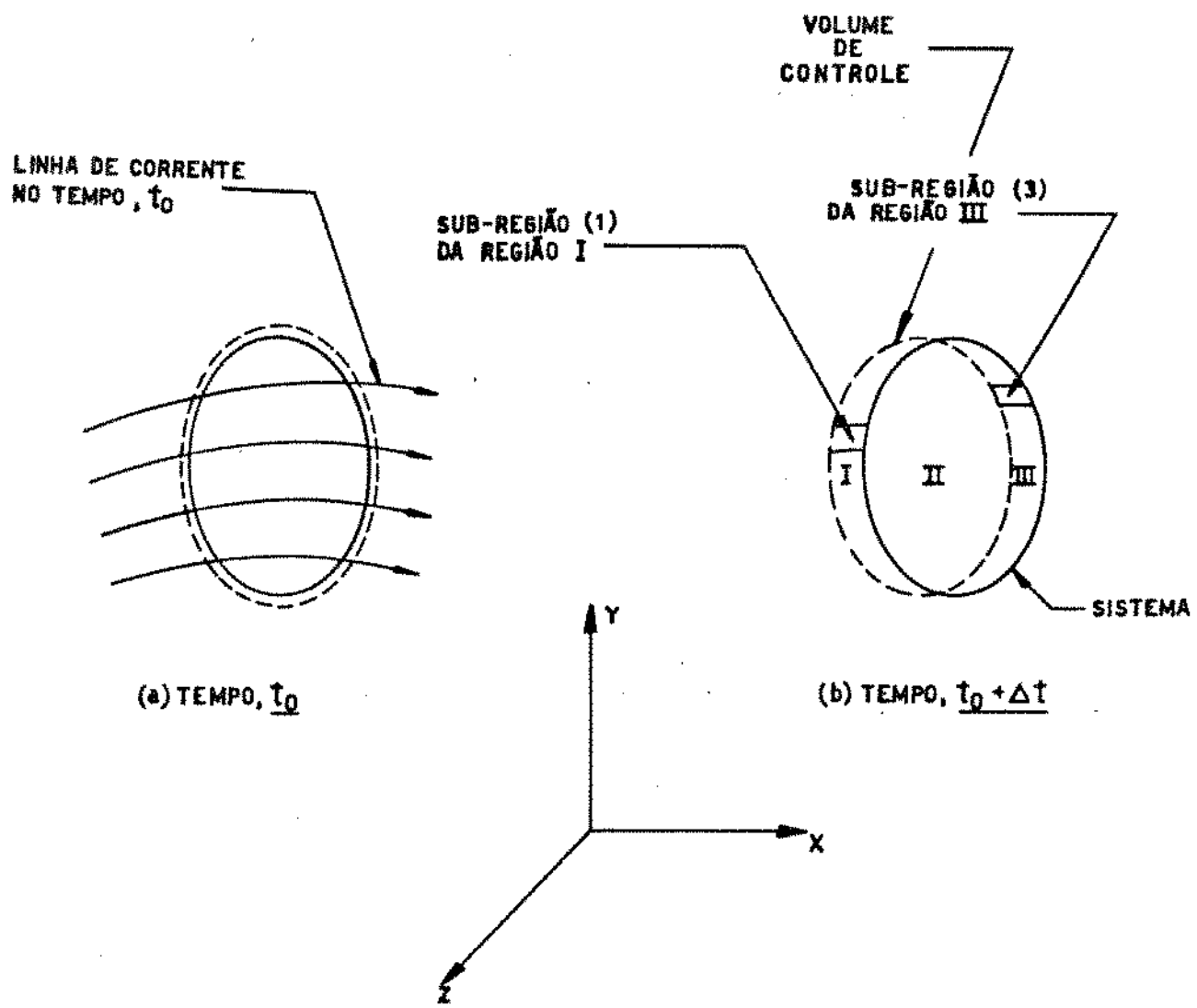


Figura 2.1 - Configuração do Sistema e do volume de Controle.

A Figura 2.1 mostra que o sistema no instante  $(t_0 + \Delta t)$  ocupa as regiões II e III e no instante  $t_0$  o sistema e o volume de controle ( $v_c$ ) coincidem. A variação da grandeza  $N$  do sistema, no intervalo de tempo  $\Delta t$  é dada por:

$$(N_{sist})_{t_0 + \Delta t} - (N_{sist})_{t_0} = (N_{II} + N_{III})_{t_0 + \Delta t} - (N_{v_c})_{t_0}$$

$$(N_{sist})_{t_0 + \Delta t} - (N_{sist})_{t_0} = (N_{v_c} - N_I + N_{III})_{t_0 + \Delta t} - (N_{v_c})_{t_0}$$

$$(N_{sist})_{t_0 + \Delta t} - (N_{sist})_{t_0} = \left[ \int_{v_c} n_p dV \right]_{t_0 + \Delta t} - \left[ \int_I n_p dV \right]_{t_0 + \Delta t} + \\ + \left[ \int_{III} n_p dV \right]_{t_0 + \Delta t} - \left[ \int_{v_c} n_p dV \right]_{t_0}$$

Rearranjando os termos e dividindo por  $\Delta t$  obtem-se :

$$\frac{(N_{sist})_{t_0 + \Delta t} - (N_{sist})_{t_0}}{\Delta t} = \frac{[\int_{VC} n_F dA]_{t_0 + \Delta t} - [\int_I n_F dA]_{t_0 + \Delta t}}{\Delta t},$$

$$+ \frac{[\int_{III} n_F dA]_{t_0 + \Delta t} - [\int_{VC} n_F dA]_{t_0}}{\Delta t}$$

(2.2)

Aplicando-se o limite na equação (2.2) e rearranjando obtém-se :

$$\lim_{\Delta t \rightarrow 0} \left\{ \frac{(N_{sist})_{t_0 + \Delta t} - (N_{sist})_{t_0}}{\Delta t} \right\} = \lim_{\Delta t \rightarrow 0} \left\{ \frac{[\int_{VC} n_F dA]_{t_0 + \Delta t} - [\int_{VC} n_F dA]_{t_0}}{\Delta t} \right\} +$$

$$+ \frac{[\int_{III} n_F dA]_{t_0 + \Delta t} - [\int_I n_F dA]_{t_0 + \Delta t}}{\Delta t}$$

Como a soma dos limites é igual ao limite das somas, pode-se reordenar a equação acima:

$$\lim_{\Delta t \rightarrow 0} \left\{ \frac{(N_{sist})_{t_0 + \Delta t} - (N_{sist})_{t_0}}{\Delta t} \right\} = \lim_{\Delta t \rightarrow 0} \left\{ \frac{[\int_{VC} n_F dA]_{t_0 + \Delta t} - [\int_{VC} n_F dA]_{t_0}}{\Delta t} \right\} +$$

$$+ \lim_{\Delta t \rightarrow 0} \left\{ \frac{[\int_{III} n_F dA]_{t_0 + \Delta t}}{\Delta t} \right\} - \lim_{\Delta t \rightarrow 0} \left\{ \frac{[\int_I n_F dA]_{t_0 + \Delta t}}{\Delta t} \right\} \quad (2.3)$$

Cada um dos quatro termos da equação acima será analisado separadamente.

TERMO 1: É a definição de derivada, ou seja,

$$\lim_{\Delta t \rightarrow 0} \left\{ \frac{\left[ N_{sist} \right]_{t_0 + \Delta t} - \left[ N_{sist} \right]_{t_0}}{\Delta t} \right\} = \left. \frac{\partial N}{\partial t} \right|_{sist} \quad (2.4)$$

TERMO 2:

$$\lim_{\Delta t \rightarrow 0} \left\{ \frac{\left[ \int_{VC} n_P dV \right]_{t_0 + \Delta t} - \left[ \int_{VC} n_P dV \right]_{t_0}}{\Delta t} \right\} = - \frac{\partial}{\partial t} \int_{VC} n_P dV \quad (2.5)$$

TERMO 3:

$$\lim_{\Delta t \rightarrow 0} \left\{ \frac{\left[ \int_{III} n_P dV \right]_{t_0 + \Delta t}}{\Delta t} \right\} = \lim_{\Delta t \rightarrow 0} \frac{\left[ N_{III} \right]_{t_0 + \Delta t}}{\Delta t} \quad (2.6)$$

Após várias manipulações matemáticas e utilizando a Figura 2.2, obtém-se :

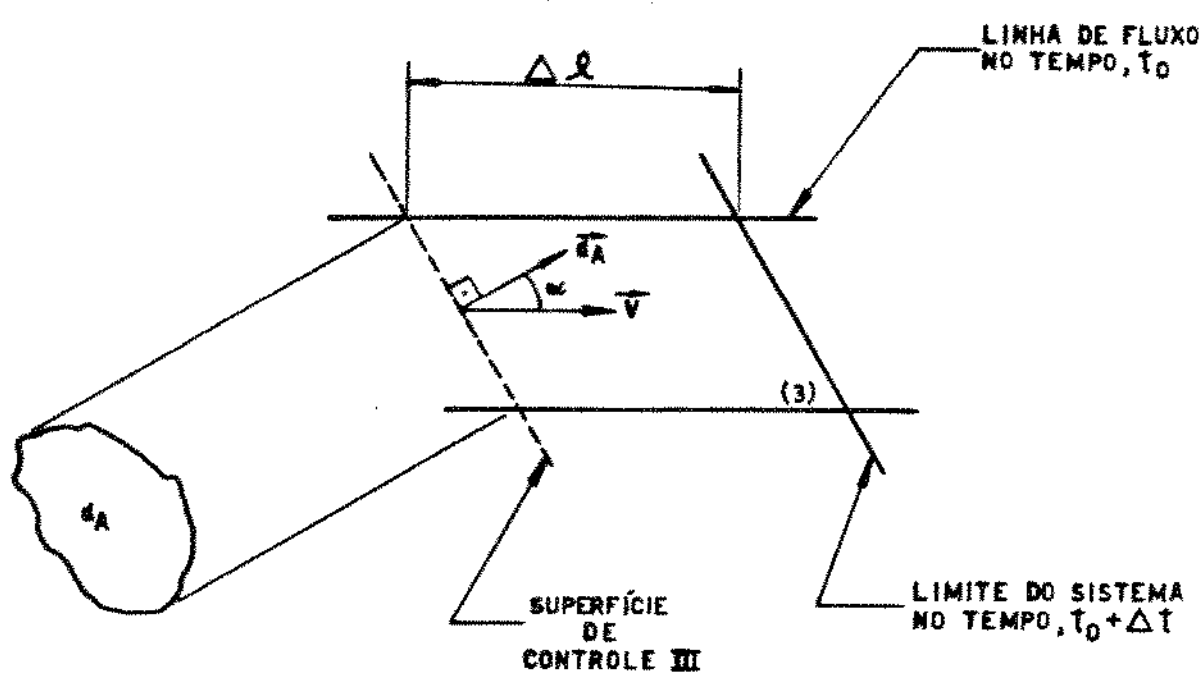


Figura 2.2 - Vista Ampliada da Sub-Região (3) da Fig. 2.1.

$$\lim_{\Delta t \rightarrow 0} \left\{ \frac{\left[ \int_{S_{C(I)}} n_F dA \right]_{t_0 + \Delta t}}{\Delta t} \right\} = \int_{S_{C(I)}} n_F |\vec{V}| \cos \alpha |\vec{dA}| \quad (E.7)$$

TERMO 4:

$$- \lim_{\Delta t \rightarrow 0} \left\{ \frac{\left[ \int_{I_1} n_F dA \right]_{t_0 + \Delta t}}{\Delta t} \right\} = - \lim_{\Delta t \rightarrow 0} \frac{[N_1]_{t_0 + \Delta t}}{\Delta t} \quad (E.8)$$

Para calcular  $[N_1]_{t_0 + \Delta t}$ , é preciso se fixar numa vista ampliada da sub-região típica da região I, como mostra-se na Figura E.3. Pode-se obter uma expressão final como:

$$- \lim_{\Delta t \rightarrow 0} \left\{ \frac{\left[ \int_{I_1} n_F dA \right]_{t_0 + \Delta t}}{\Delta t} \right\} = \int_{S_{C(I)}} n_F |\vec{V}| \cos \alpha |\vec{dA}| \quad (E.9)$$

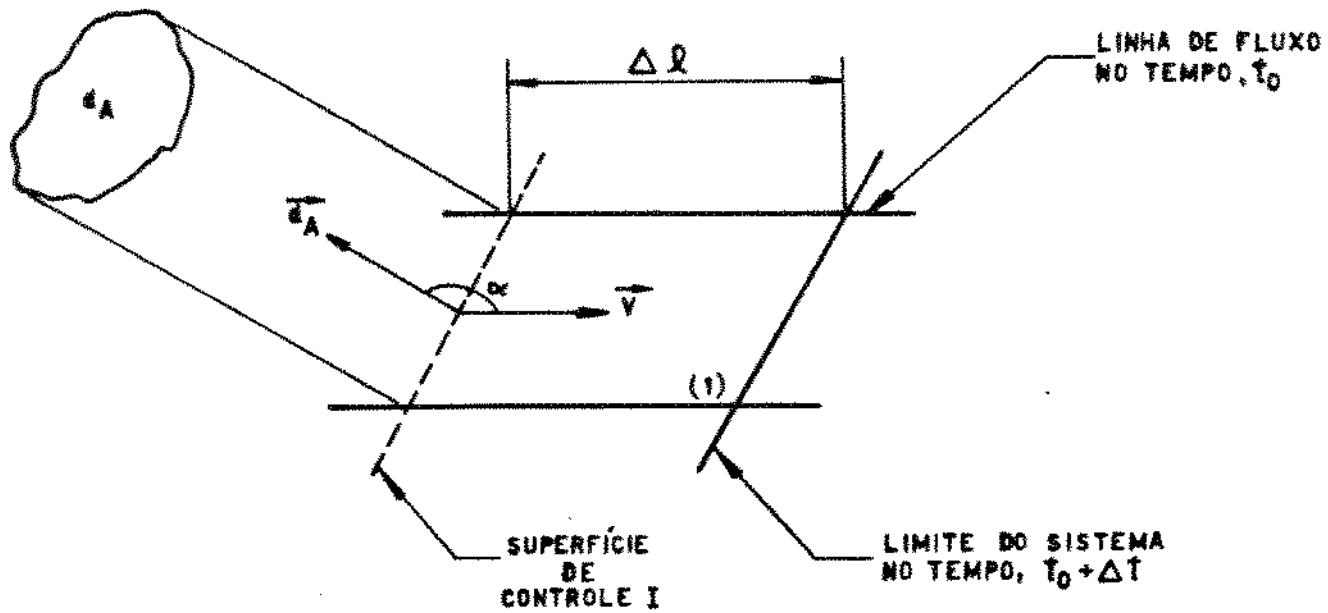


Figura E.3 - Vista Ampliada da Sub-Região (1) da Fig. (E.1).

Substituindo-se as equações (2.4), (2.5), (2.7) e (2.9) em (2.9), obtém-se :

$$\left. \frac{dN}{dt} \right|_{sistema} = \frac{\partial}{\partial t} \int_{V_C} n_P dV + \int_{S_C} n_P (\vec{V} | \cos \alpha) \vec{dA} + \int_{S_C} n_P (\vec{V} | \cos \alpha) \vec{dA} \quad (2.10)$$

ou finalmente

$$\left. \frac{dN}{dt} \right|_{sistema} = \frac{\partial}{\partial t} \int_{V_C} n_P dV + \int_{S_C} n_P \vec{V} \cdot \vec{dA} \quad (2.10)$$

É importante observar, através da equação (2.11), que a taxa de variação total de uma propriedade extensiva qualquer, N, do sistema é igual à taxa de variação em relação ao tempo da propriedade extensiva arbitrária, N, dentro do volume de controle mais à taxa resultante do efluxo de N, através da superfície de controle.

Além das considerações já expostas anteriormente é importante notar que para deduzirmos a equação (2.11) considerou-se que :

- O volume de controle é fixo em relação às coordenadas de referência x, y e z., (Figura 2.1)
- A velocidade  $\vec{V}$  foi medida em relação ao volume de controle fixo, ou seja, o campo de velocidades foi especificado em relação às coordenadas de referência.
- O sistema movimentou-se no campo de velocidades especificado, portanto a taxa de variação em relação ao tempo da propriedade extensiva arbitrária, N, no volume de controle foi avaliada por um observador fixo no volume de controle.

## III.2. DESENVOLVIMENTO DAS EQUAÇÕES DA CONTINUIDADE, QUANTIDADE DE MOVIMENTO E MOMENTO DA QUANTIDADE DE MOVIMENTO

### III.2.1. Equação da Continuidade

As equações da continuidade serão deduzidas a partir do princípio geral da conservação de massa, segundo o qual a massa de um sistema é constante com o tempo, isto é,

$$\left. \frac{dM}{dt} \right|_{\text{sistema}} = 0 \quad (2.12)$$

Utilizando-se a equação (2.11) com  $N$  sendo a massa do sistema, ou seja,  $N = M$  e  $n$  sendo a massa por unidade de massa ( $n=1$ ) obtém-se:

$$\left. \frac{dM}{dt} \right|_{\text{sistema}} = \frac{\partial}{\partial t} \int_{VC} P dV + \int_{SC} \vec{V} \cdot \vec{dA} \quad (2.13)$$

Das equações (2.12) e (2.13), tem-se que:

$$0 = \frac{\partial}{\partial t} \int_{VC} P dV + \int_{SC} P \vec{V} \cdot \vec{dA} \quad (2.14)$$

A expressão acima é a equação da continuidade para o volume de controle, na qual o primeiro termo representa a taxa de variação de massa no volume de controle e o segundo a taxa do efluxo de massa resultante através da superfície de controle.

Serão efetuadas duas simplificações na equação (2.14), considerando-se inicialmente um escoamento permanente e compressível e posteriormente um escoamento permanente e incompressível.

Por definição tem-se que para um escoamento permanente em relação a uma referência fixa no volume de controle, todas as propriedades fluidas, incluindo a densidade em qualquer posição fixa na referência, devem permanecer invariantes com o tempo.

Assim, tem-se para o escoamento permanente e compressível:

$$\int_{S_C} P \vec{V} \cdot \vec{dA} = 0 \quad (E.15)$$

E para o caso de escoamento em regime permanente e incompressível:

$$\int_{S_C} \vec{V} \cdot \vec{dA} = 0 \quad (E.16)$$

### 1.2.2. Equação da Quantidade de Movimento para um Volume de Controle Inercial

Para se deduzir a formulação da quantidade de movimento para um volume de controle inercial, primeiro utilizase a segunda lei de Newton para um sistema movimentando-se em relação a um sistema de coordenadas iniciais. Depois empregar-se a equação (E.11) para ir da formulação do sistema para a do volume de controle.

A segunda lei de Newton para este caso é definida como:

$$\vec{F}_{\text{sobre o sistema}} = \frac{d\vec{P}_{\text{sist}}}{dt} \quad (E.17)$$

onde

$\vec{P}_{\text{sist}}$  = quantidade de movimento linear do sistema é definido por:

$$\vec{P}_{\text{sist}} = \int_{\text{SISTEMA}} \vec{V}_P dA \quad (E.18)$$

$\vec{F}$  = é a força resultante, incluindo todas as forças de corpo e de superfície que atuam sobre o sistema, ou seja,

$$\vec{F} = \vec{F}_s + \vec{F}_B \quad (E.19)$$

Fazendo-se  $N$  corresponder a  $\vec{F}$ , tem-se  $\tau$ , igual à quantidade de movimento linear por unidade de massa. Portanto, comparando-se a expressão (2.18) com a (2.1), conclui-se que  $n$  corresponde a  $\vec{V}$ .

Substituindo-se estas correspondências na equação (2.11) obtém-se:

$$\frac{d\vec{\tau}}{dt} \Big|_{sist} = \frac{\partial}{\partial t} \int_{VC} \vec{V}_P dV + \int_{SC} \vec{V}_P \vec{V} \cdot d\vec{A} \quad (2.20)$$

É importante notar que a equação (2.11) foi deduzida considerando-se o sistema e o volume de controle coincidentes no tempo  $t_0$ . Logo:

$$\vec{\tau} \Big|_{sobre\ o\ sistema} = \vec{\tau} \Big|_{sobre\ o\ volume\ de\ controle}$$

Portanto a equação (2.20) transforma-se em

$$\vec{\tau} = \vec{\tau}_S + \vec{\tau}_B = \frac{d\vec{\tau}}{dt} = \frac{\partial}{\partial t} \int_{VC} \vec{V}_P dV + \int_{SC} \vec{V}_P \vec{V} \cdot d\vec{A} \quad (2.21)$$

Pela equação acima, notar-se que a soma de todos as forças (superfície e corpo) que atuam sobre um volume de controle não acelerado é igual à soma da taxa de variação da quantidade de movimento dentro do volume de controle e a taxa de fluxo da quantidade de movimento resultante através da superfície de controle.

### III.2.3. Equação do Momento da Quantidade de Movimento para um Volume de Controle Inercial.

Para este desenvolvimento utilizam-se as equações do momento da quantidade de movimento para um sistema, do torque aplicado a um sistema e da equação (2.11).

A equação do momento da quantidade de movimento para um sistema é definida como:

$$\vec{H} = \left. \frac{d \vec{R}}{dt} \right|_{\text{sist}} \quad (2.22)$$

onde

$$1) \vec{R}_{\text{sist}} = \int_{\text{Volume}} \vec{r} \times \vec{V}_P dV \quad (2.23)$$

$\vec{R}_{\text{sist}}$  = quantidade de movimento angular do sistema

$\vec{r}$  = vetor posição, o qual situa cada elemento de massa ou volume do sistema em relação ao sistema de coordenadas inertiais.

$$2) \vec{H} = \vec{r} \times \vec{T}_S + \vec{r} \times \vec{T}_B + \vec{T}_{\text{exc}} \quad (2.24)$$

$\vec{H}$  = torque total exercido sobre o sistema

$\vec{r} \times \vec{T}_S$  = torque devido às forças de superfície

$\vec{r} \times \vec{T}_B$  = torque devido às forças de corpo

$\vec{T}_{\text{exc}}$  = torque produzido através de eixos que atravessam os limites do sistema

Para este caso N corresponde a  $\vec{H}$ . Portanto comparando-se a equação (2.23) com a (2.1), obtém-se a correspondência entre  $\eta$  e  $\vec{r} \times \vec{V}$ . Com os valores acima na equação (2.11), tem-se

$$\left. \frac{d \vec{R}}{dt} \right|_{\text{sist}} = \frac{\partial}{\partial t} \int_{VC} \vec{r} \times \vec{V}_P dV + \int_{SC} \vec{r} \times \vec{V}_P \vec{V} \cdot dA \quad (2.25)$$

O sistema e o volume de controle coincidem no tempo  $t_0$ , portanto

$$\vec{T}_{\text{sistema}} = \vec{T}_{\text{volume de controle}}$$

Considerando-se as equações (2.22), (2.24) e (2.25) tem-se

$$\vec{T} \times \vec{T}_s + \vec{T} \times \vec{T}_B + \vec{T}_{\text{externo}} = \frac{\partial}{\partial t} \int_{VC} \vec{T} \times \vec{V}_P dA + \int_{SC} \vec{T} \times \vec{V}_P \vec{V} \cdot dA$$

ou finalmente

$$\begin{aligned} \vec{T} \times \vec{T}_s + \int_{VC} \vec{T} \times \vec{B}_P dA + \vec{T}_{\text{externo}} &= \frac{\partial}{\partial t} \int_{VC} \vec{T} \times \vec{V}_P dA \\ &+ \int_{SC} \vec{T} \times \vec{V}_P \vec{V} \cdot dA \end{aligned} \quad (2.26)$$

A equação acima é uma equação vetorial geral para o momento da quantidade de movimento para um volume de controle inercial. O primeiro membro da equação é uma expressão para todos os torques que agem sobre o volume de controle. O segundo membro consiste em termos que expressam a taxa de variação da quantidade de movimento angular centro do volume de controle e a taxa de efluxo da quantidade de movimento angular do volume de controle.

### III.2.3.1 Aplicações da Equação do Momento da Quantidade de Movimento à Turbomáquinas.

Para a análise de turbomáquinas, é conveniente escolher em geral um volume de controle fixo envolvendo o elemento rotativo. Torques devido às forças de superfície são ignorados como uma primeira aproximação. A contribuição da força de corpo é desprezada por simetria. Estas considerações são comentadas na ref. (11, 12 e 13).

Assim pode-se escrever

$$\vec{T}_{\text{externo}} = \frac{\partial}{\partial t} \int_{VC} \vec{T} \times \vec{V}_P dA + \int_{SC} \vec{T} \times \vec{V}_P \vec{V} \cdot dA \quad (2.27)$$

E para o escoamento permanente

$$\vec{T}_{\text{axial}} = \int_{\text{sc}} \vec{\tau} \times \vec{V} + \vec{V} \cdot \vec{\tau} \, dA \quad (2.28)$$

Ao se aplicar a equação acima, normalmente usará-se a forma escalar das componentes e o sistema de coordenadas escolhido é aquele no qual o eixo "z" fica alinhado com o eixo de rotação da turbomáquina. Uma forma útil de equação (2.28) é quando desenvolvida para os elementos do conversor de torque (Impulsor, Turbina e Estator).

O movimento do fluido através do rotor destes elementos pode ser subdividido em: movimento de transporte imposto ao fluido pelo giro do rotor e o movimento relativo do fluido em relação ao rotor. Considerando-se " $U$ " a velocidade tangencial ou linear do elemento, " $W$ " a velocidade relativa do fluido em relação ao rotor, tem-se a velocidade absoluta do fluido  $\vec{V} = \vec{U} + \vec{W}$ . As componentes meridional ou normal e tangencial da velocidade absoluta serão denominadas " $F$ " e " $S$ " respectivamente. O ângulo entre os vetores velocidade relativa e velocidade tangencial do rotor será " $\beta$ " e é função da curvatura das aletas. Na figura (2.4), contrair-se o diagrama de velocidade de uma partícula, que escoa através do rotor em qualquer ponto do percurso.

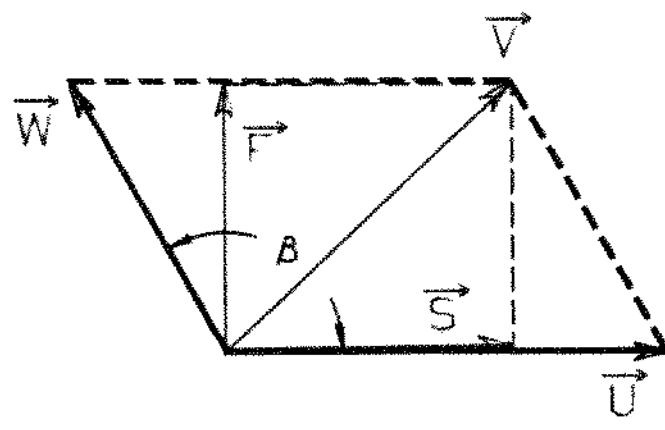


Figura 2.4 - Diagrama de Velocidade de uma Partícula Fluídica.

Para o desenvolvimento da equação (2.26), considere-se a figura 2.5, onde são mostrados o volume de controle, a superfície de controle, o sistema de coordenadas e o diagrama de velocidade na entrada e na saída do rotor de um impulso. Então poder-se escrever:

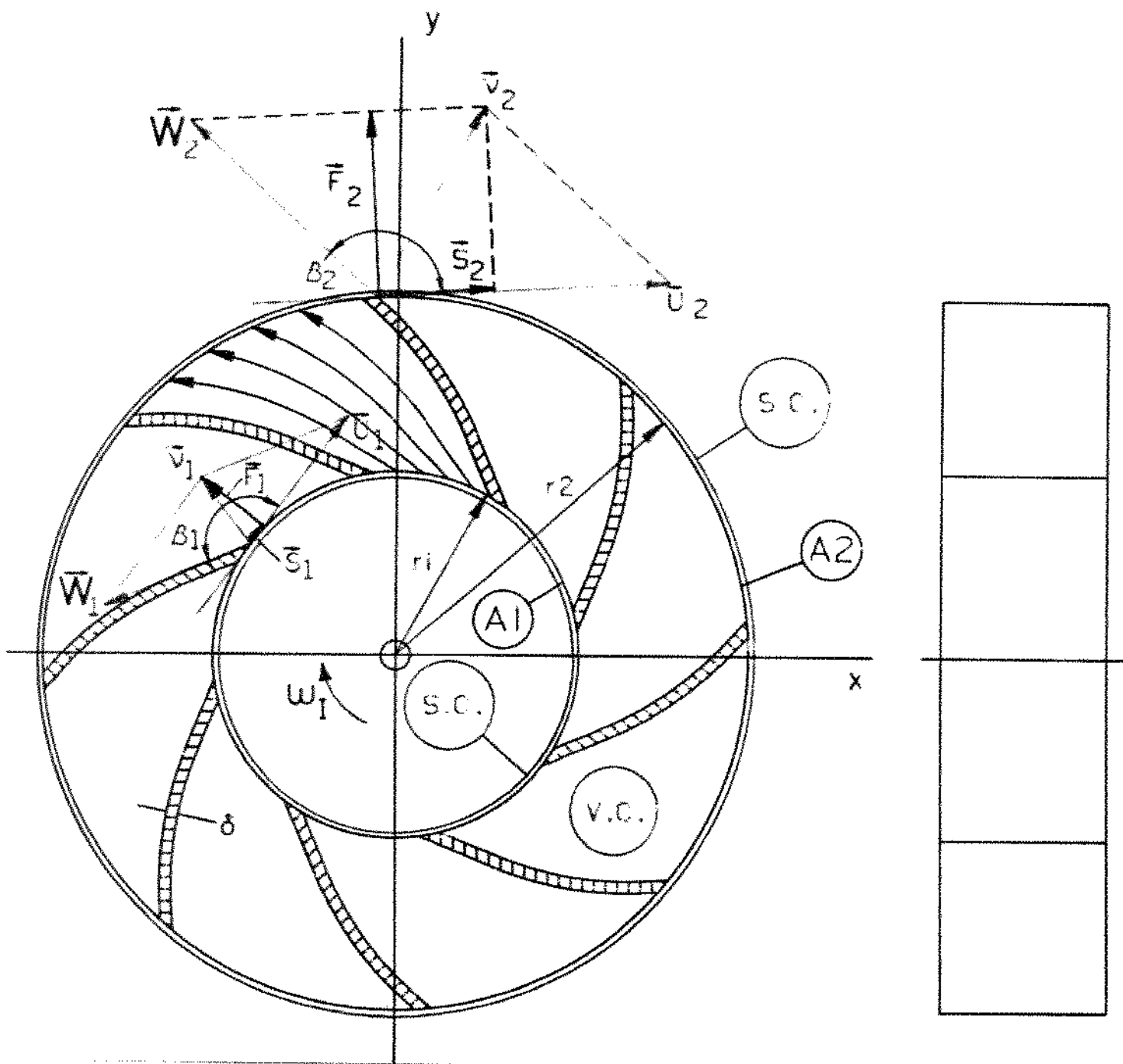


Figura 2.5 - Representação do Sistema de Coordenadas e das Superfícies de Controle no Rotor.

$$\vec{r}_{\text{exce}} = \int_{S_C} \vec{r} \times \vec{V} \cdot d\vec{A} + \int_{A_1} \vec{r}_1 \times \vec{V}_1 \cdot dA_1 + \int_{A_2} \vec{r}_2 \times \vec{V}_2 \cdot dA_2 \quad (2.25)$$

Onde:  $I_1 = \int_{A_1} \vec{r}_1 \times \vec{V}_1 \cdot dA_1$

e

$$I_2 = \int_{A_2} \vec{r}_2 \times \vec{V}_2 \cdot dA_2$$

Para a solução da integral  $I_1$  considere-se o sistema de velocidades, a área  $A_1$  e o vetor posição  $\vec{r}_1$ , como mostra a Figura 2.6.

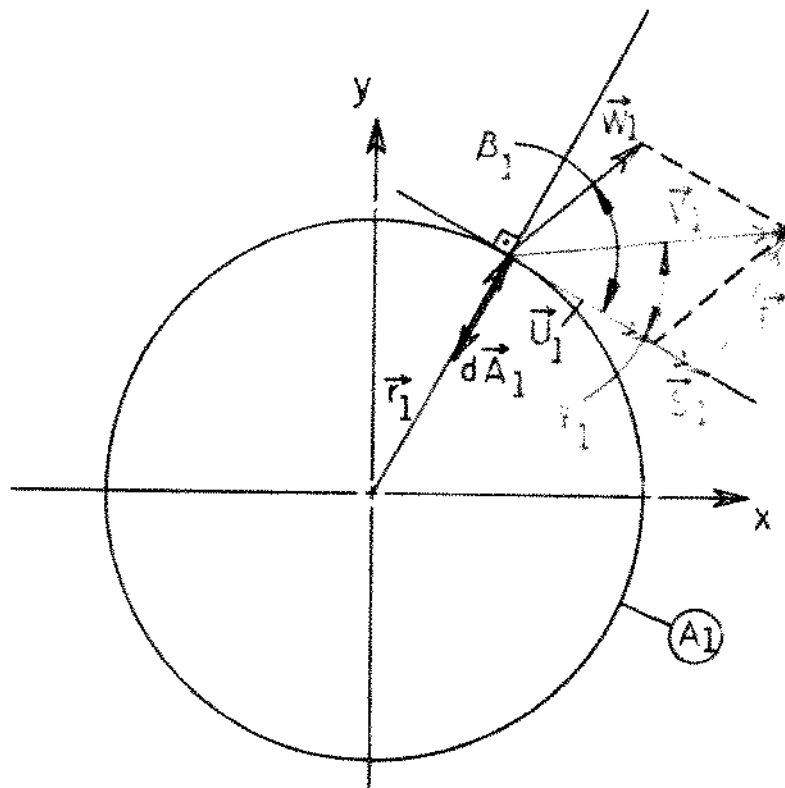


Figura 2.6 - Diagrama de Velocidade na Entrada do Rotor.

onde  $\vec{r}_1 \times \vec{V}_1 = r_1 V_1 \sin(90^\circ + \varphi_1) = r_1 V_1 \cos \varphi_1 = r_1 S_1$

e

$$\vec{V}_1 \cdot d\vec{A}_1 = V_1 dA_1 \cos(90^\circ + \varphi_1) = -V_1 dA_1 \sin \varphi_1 = -F_1 dA_1$$

Logo

$$I_1 = \int_{A_1} r_1 S_1 F_1 dA_1$$

Como  $r_1$ ,  $S_1$ ,  $\Gamma_1$  e  $P$  são constantes na entrada do rotor, segue que:

$$I_1 = -r_1 S_1 \Gamma_1 P A_1$$

$$\text{mas } \Gamma_1 P A_1 = \dot{m}_1 r_1 S_1$$

$$\text{Finalmente, tem-se: } I_1 = -\dot{m}_1 r_1 S_1 \quad (2.30)$$

Analogamente à integral  $I_1$ , através da Figura 2.7, pode-se chegar a:

$$I_2 = \dot{m}_2 r_2 S_2 \quad (2.31)$$

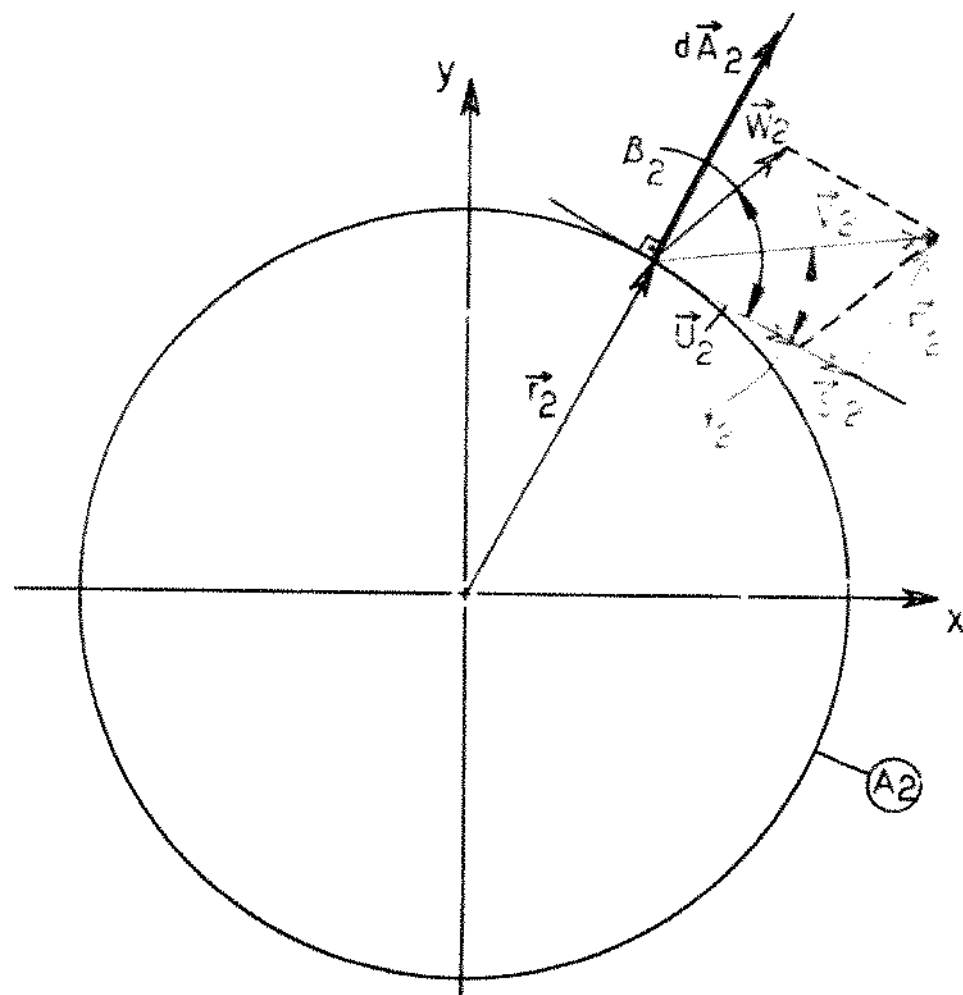


Figura 2.7 - Diagrama de Velocidade na Saída do Rotor.

Substituindo-se as equações (2.30) e (2.31) em (2.29),

$$T_{eixo} = \dot{m}_1 r_1 S_1 + \dot{m}_2 r_2 S_2$$

Pelo princípio geral da conservação de massa tem-se que  $\dot{m}_1 + \dot{m}_2 = \dot{m}$ ,

$$\text{Logo } T_{eixo} = \dot{m} (r_2 S_2 - r_1 S_1) \quad (2.32)$$

É importante ressaltar que a expressão acima é a relação básica entre torque e o momento da quantidade de movimento, podendo ser aplicada em todos os tipos de turbomáquinas e é a chamada equação de Euler para Turbomáquinas.

### III.3. PERDAS DE POTÊNCIA.

O fenômeno que envolve a circulação do fluido no interior dos conversores de torque é extremamente complexo, como pode ser observado na Foto 1.5. Consequentemente é necessário recorrer a métodos empíricos para se estimar as perdas de potência que ocorrem nos conversores. É conveniente separar estas perdas em três tipos.

1 - Perdas por choque, que ocorrem nas arestas de entrada de cada elemento do conversor. É preciso observar que estas perdas não se devem ao choque mecânico das moléculas do fluido com as arestas de entrada, mas sim às perturbações causadas no escoamento do fluido sob a forma de turbulência e deslocamento da camada limite.

Upton [6] sugere que a perda por choque seja calculada pela expressão:

$$P_C = K_C \frac{\dot{m}}{2} (S^* - S)^2$$

onde:

- $P_C$  = perda por choque
- $K_C$  = coeficiente de proporcionalidade que dependem da geometria das aletas.
- $\dot{m}$  = vazão massica.
- $(S' - S)$  = diferença entre as componentes tangenciais de velocidade absoluta na saída de um elemento ( $S'$ ) e entrada do seguinte ( $S$ ).

A mesma referência sugere como uma primeira aproximação  $K_C = 5$ . Assim:

$$P_C = \frac{\dot{m}}{\rho} (S' - S)^2 \quad (2.33)$$

B - Perdas devido ao atrito do fluido com as aletas. A referência [7] trata estas perdas de forma similar as que se apresentam em tubos não circulares.

$$P_A = \frac{\dot{m} f l w}{\rho d^4} \quad (2.34)$$

onde:

- $P_A$  = perdas por atrito,
- $f$  = coeficiente de atrito,
- $\dot{m}$  = vazão massica,
- $l$  = comprimento hidráulico,
- $w$  = velocidade relativa,
- $d$  = diâmetro hidráulico.

C - Perdas que ocorrem nos canais formados entre as aletas devido aos escoamentos secundários. Segundo Whitfield [7] estas perdas podem ser estimadas pela expressão:

$$P_S = \dot{m} K_S \frac{e}{\pi/2} \frac{F^2}{d} \quad (2.35)$$

onde:  $P_s$  = perdas por escoamento secundário,  
 $K_s$  = coeficiente empírico que depende da geometria do conversor de torque,  
 $\Theta$  = ângulo de deflexão da curva,  
 $T$  = componente meridional da velocidade absoluta.

## CAPÍTULO III

### III. MODELO MATEMÁTICO.

Este capítulo contém uma descrição detalhada do procedimento teórico para prever o desempenho dos conversores de torque com três elementos.

A análise teórica foi desenvolvida pela aplicação das equações do capítulo II para um tubo de corrente e integrada ao longo das secções de entrada e saída, como mostra a Figura 3.1.

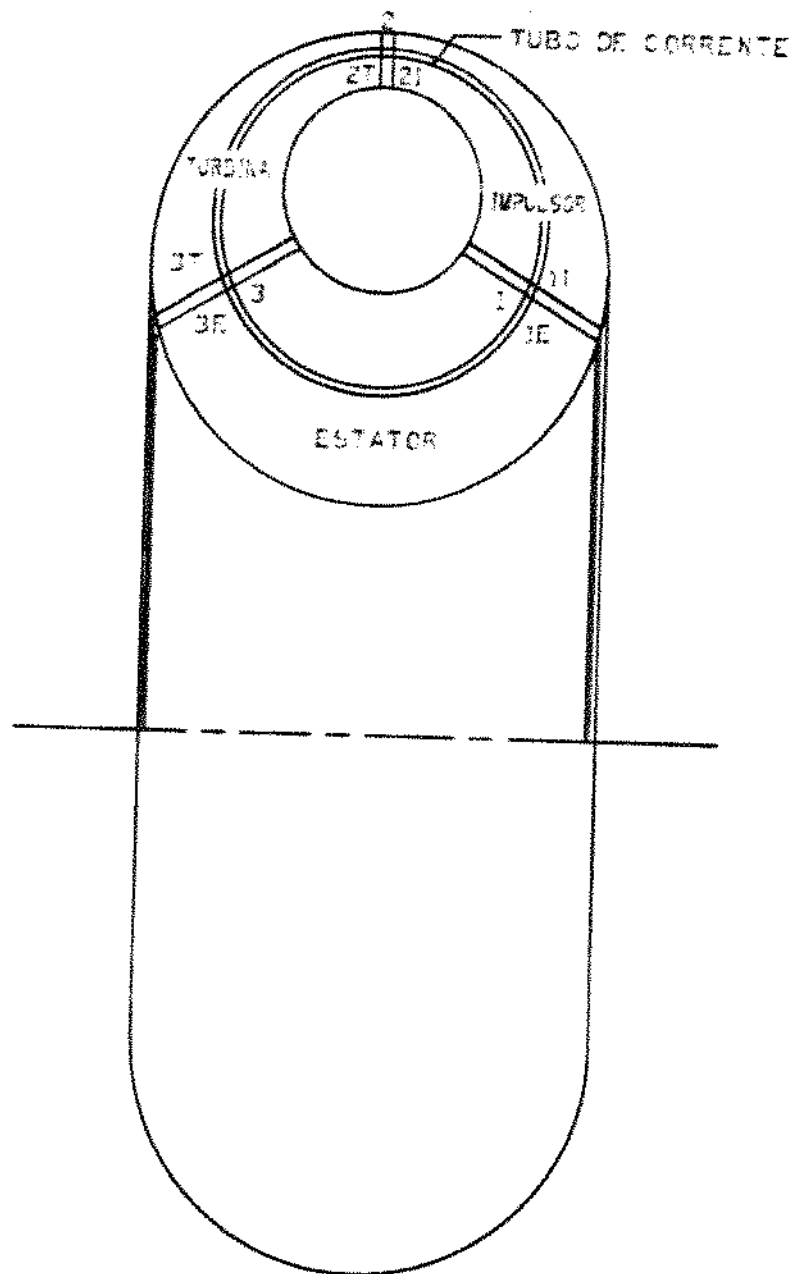


Figura 3.1 - Secção Transversal do Conversor de Torque Mostrando um Típico Tubo de Corrente.

O desenvolvimento teórico baseia-se nas seguintes hipóteses:

- 1 - o escoamento de fluido é considerado permanente, incompressível, turbulento e bidimensional, os autores em referências [3, 4, 5, 6, 7, 10, 18, 20, 21, 23, 24, 27 e 32].
- 2 - o movimento de circulação do fluido ocorre em um circuito fechado, como mostra a Figura 3.2, e é similar a um vórtice forçado, implicando em uma distribuição linear de velocidade, variando linearmente com a distância a partir do centro de rotação do vórtice forçado. Ou seja, partindo-se do raio médio ( $R_m$ ), como sugerem as referências [7]. Esta consideração pode ser melhor compreendida através da Figura 3.3.
- 3 - o rotor é imaginado com um número infinito de áreias de espessura zero. Portanto acontece o escoamento através do rotor na forma de tubos de corrente idênticos e com a trajetória do fluido coincidente com a curvatura das áreias. Assim o ângulo de fluxo ( $\beta_0$ ) é igual ao ângulo das áreias, ( $\beta$ ) conforme também referências [3, 5, 6, 7, 8, 9, 10, 23, 27 e 32]. A Figura 3.4 ilustra esta hipótese.
- 4 - o estator é fixo, sem velocidade angular. (Vide seção 1.2).

O desenvolvimento do modelo foi dividido em três etapas: a equacionamento do centro de rotação do vórtice forçado, a determinação dos torques desenvolvidos no impulsionador (torque de entrada) e turbinas (torque de saída) em função da velocidade angular do fluido circulante ( $\omega$ ), e a determinação desta velocidade angular ( $\omega$ ) por intermédio da equação das perdas de potência.

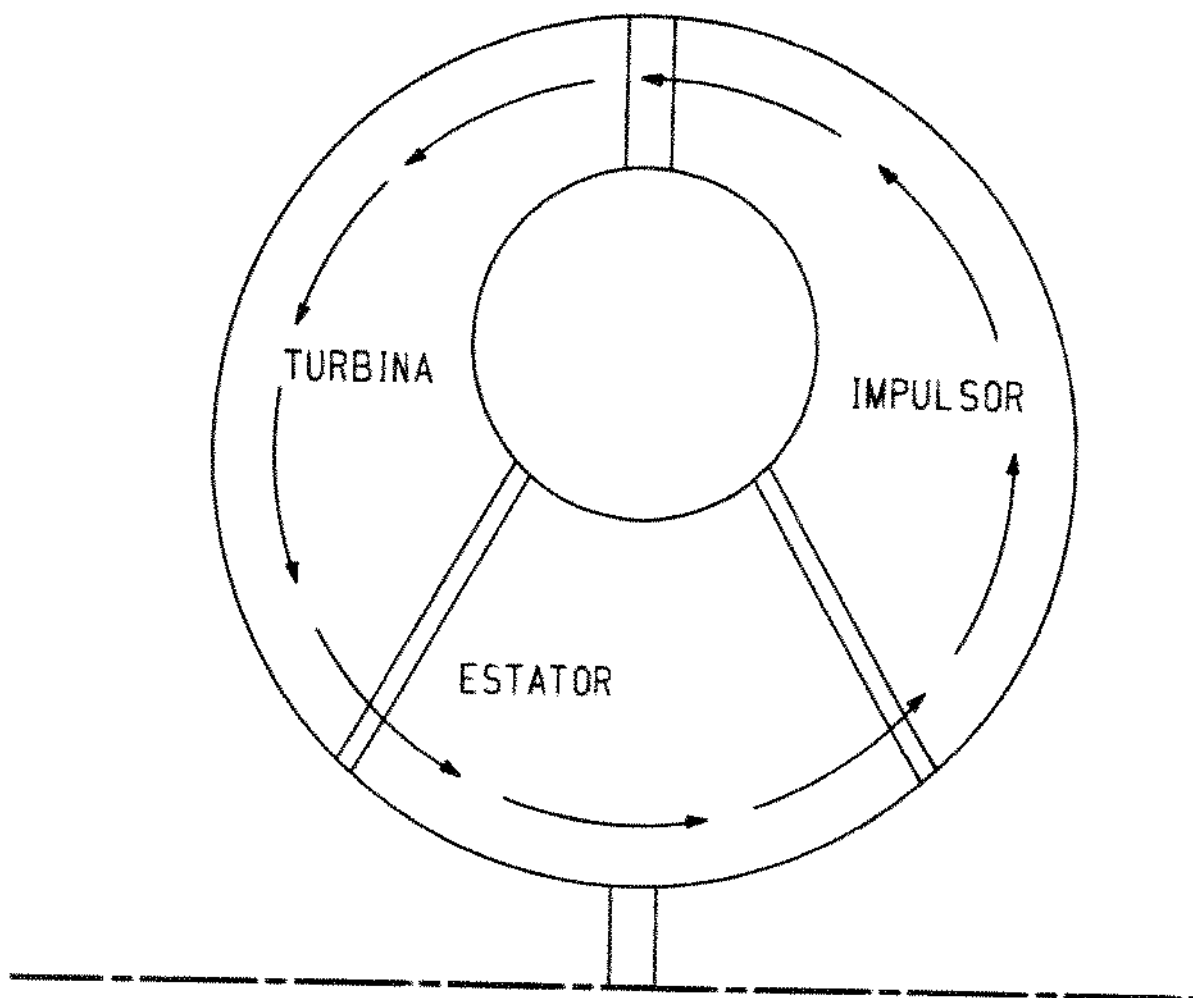


Figura 3.2 - Circuito Fechado.

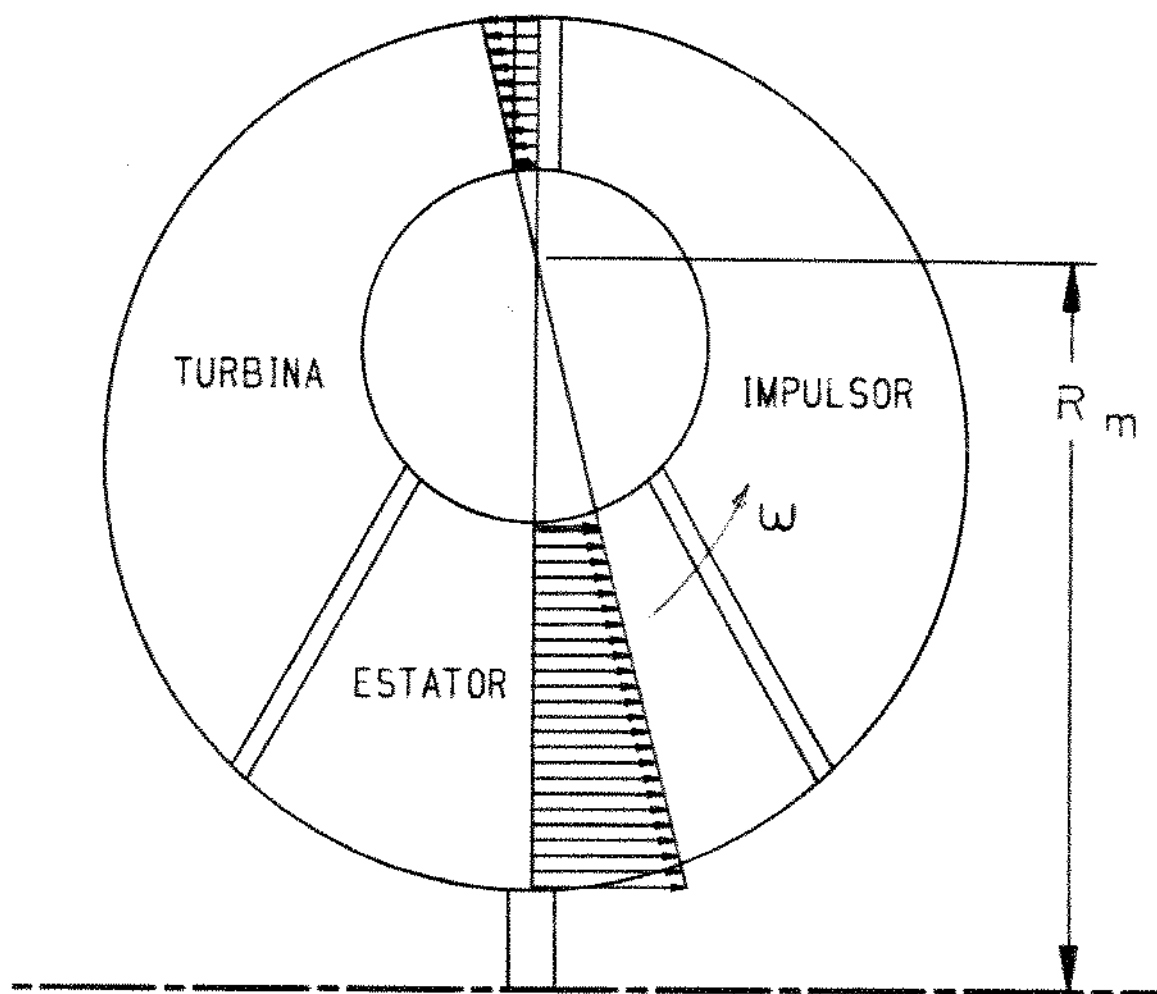


Figura 3.3 - Distribuição Linear de Velocidades a partir do Raio Médio ( $R_m$ ).

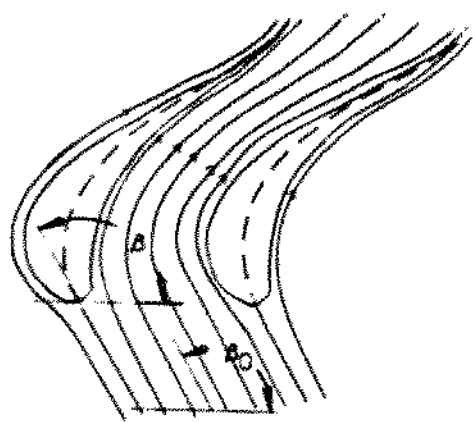


Figura 3.4 - Linhas de Corrente Coincidentes com a Curvatura das Aletas.

### 3.1.7. Equacionamento do Centro de Rotação do Vórtice Forçado.

Para o desenvolvimento matemático do raio médio ( $R_m$ ), sobre o qual considerou-se o vórtice forçado girando com velocidade angular ( $\omega$ ), utilizou-se a equação da continuidade para um escoamento permanente e incompressível (2.16), tomando-se um volume de controle conveniente com o caso estudado.

Na Figura 3.5, representar-se o volume de controle, a superfície de controle e a distribuição linear de velocidades.

Aplicando-se a equação (2.16) ao volume de controle considerado, nota-se que existem duas seções por onde a massa se escorre através da superfície de controle.

$$\int_{Sc} \vec{V} \cdot d\vec{A} = \int_{A_1} \vec{V} \cdot d\vec{A} + \int_{A_2} \vec{V} \cdot d\vec{A} = 0 \quad (3.1)$$

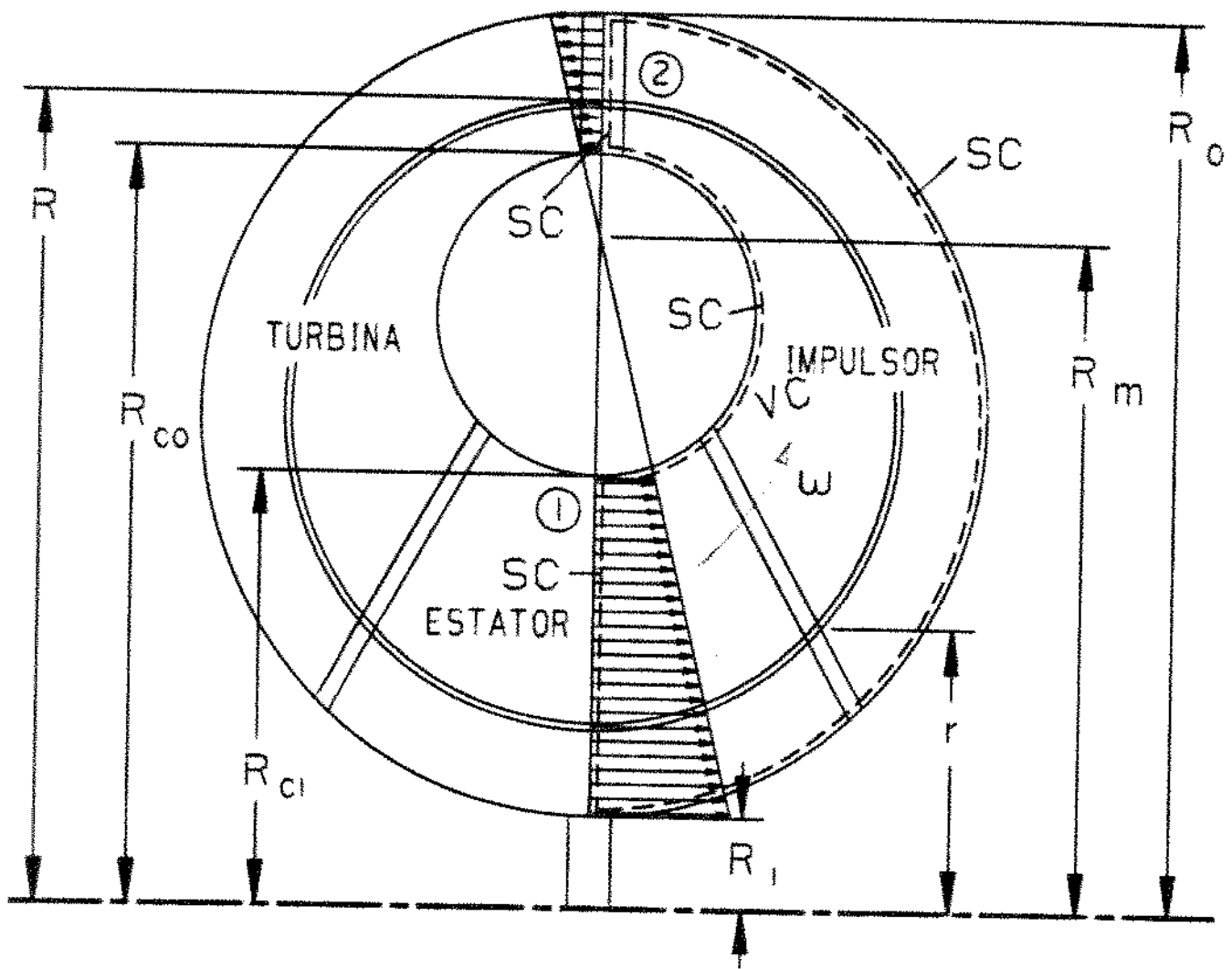


Figura 3.5 - Volume de Controle para a Determinação do Centro de Rotação do Vértice Forçado.

ONDE:  $A_1$  e  $A_2$  são, respectivamente, as áreas de entrada e saída.

Concentrando-se em cada uma das integrais, separadamente, tem-se

$$I_1 = \int_{A_1} \vec{V} \cdot d\vec{A}$$

O produto escalar acima foi discutido na seção III.2.3.1, logo

$$I_1 = - \int_{A_1} F \, dA$$

A componente meridional ( $F$ ) da velocidade absoluta é dada por:

$$F = \omega (R_m - r) \quad (3.2)$$

onde:  $r$  é um raio qualquer considerado na parte inferior da seção toroidal, como pode ser visto na Figura 3.5.

Então  $I_1 = - \int_{A_1} \omega (R_m - r) dA$

Para solução da integral  $I_1$  utilizare-se o sistema de coordenadas polares, o qual está ilustrado na Figura 3.6 para a área de entrada  $A_1$ .

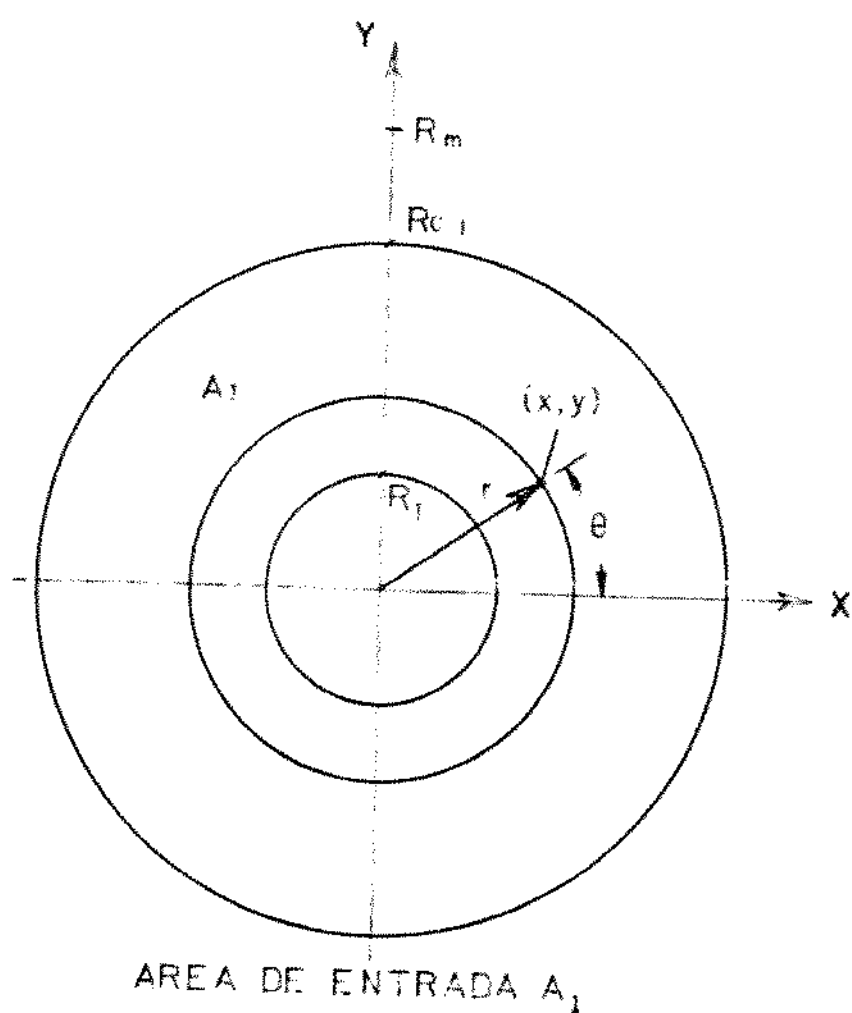


Figura 3.6 - Área  $A_1$ .

Transformando a integral  $I_1$  para o sistema de coordenadas polares onde  $x = r \cos \theta$ ,  $y = r \sin \theta$  e  $dx dy = r d\theta dr$ , obtém-se

$$I_1 = - \int_{A_1} \omega (R_m - r) (r d\theta dr)$$

Como  $r$  varia no intervalo  $R_x \leq r \leq R_{c1}$

e  $\theta$  no intervalo  $0 \leq \theta \leq 2\pi - \log \epsilon$ :

$$I_1 = - \int_{R_x}^{R_{c1}} \int_0^{2\pi} \omega r (R_m - r) d\theta dr$$

Efectuando a integração acima, finalmente chegam-se à

$$I_1 = -2\pi\omega \left[ R_m \left( \frac{R_{c1}^2 - R_1^2}{2} \right) + \left( \frac{\frac{R_{c1}^3}{3} - \frac{R_1^3}{3}}{2} \right) \right] \quad (3.3)$$

Resolvendo a integral  $I_2 = \int_{A_2} \vec{V} \cdot d\vec{A} = 0$ , analogamente à integral  $I_1$ , chegam-se à

$$I_2 = +2\pi\omega \left[ \left( \frac{\frac{R_0^3}{3} - \frac{R_{c2}^3}{3}}{2} \right) - R_m \left( \frac{\frac{R_0^2}{2} - \frac{R_{c2}^2}{2}}{2} \right) \right] \quad (3.4)$$

Substituindo as expressões (3.3) e (3.4) na expressão (3.1) e simplificando, obtém-se

$$R_m = + \frac{2(R_{c1}^3 - R_{c2}^3 + R_0^3 - R_{c1}^3)}{2(R_{c1}^2 - R_1^2 + R_0^2 - R_{c2}^2)} \quad (3.5)$$

### III.2 - DETERMINAÇÃO DOS TORQUES DESENVOLVIDOS NO IMPULSOR E TURBINA.

No formulário para o cálculo dos torques no impulso e turbina,

em função da velocidade angular do fluido, é utilizada a equação de Euler para turbomáquinas (2.32), que relaciona o torque com a variação do momento da quantidade de movimento. Esta pode ser escrita para cada elemento do conversor de torque como segue:

$$T_I = \dot{m} (S_{2I} R_2 - S_{1E} R_1) \quad (3.6)$$

$$T_T = \dot{m} (S_{3T} R_3 - S_{2I} R_2) \quad (3.7)$$

$$T_E = \dot{m} (S_{1E} R_1 - S_{3T} R_3) \quad (3.8)$$

onde

$T_I$ ,  $T_T$  e  $T_E$  = torques desenvolvidos no impulso, turbina e estator, respectivamente.

$\dot{m}$  = vazão massica

$S_{2I}$ ,  $S_{1E}$  e  $S_{3T}$  = componentes tangenciais, que podem ser vistos na Figura 3.7

$R_1$ ,  $R_2$  e  $R_3$  = raios, que estão representados na Figura 3.8.

A soma das equações (3.6), (3.7) e (3.8) será igual a zero, pois os torques atuantes estão em equilíbrio.

$$\sum T = T_I + T_T + T_E = 0$$

Logo, a alteração total de momento da quantidade de movimento do fluido, quando ele entra no impulso (ponto 1 - Figura 3.7), passa através da turbina (ponto 2), do estator (ponto 3), e retorna ao ponto 1 é igual a zero. Portanto, o aumento do momento da quantidade de movimento do fluido no impulso e estator é igual à redução do momento

da quantidade de movimento na turbina. Consequentemente, fazendo o equilíbrio das quantidades de movimento e sabendo que são cíclos relacionados aos torques, pode-se escrever que

$$T_t = T_I + T_E \quad (3.8)$$

### III.2.1 - Desenvolvimento da Equação do Torque no Impulsor.

Como mencionado anteriormente, para obter-se a equação do torque no impulsor, aplicar-se a equação de Euler para turbinas (2.32) a um elemento de fluido e utilizar-se a Figura 3.8 que mostra a localização geométrica de um tubo de corrente a partir do raio médio ( $R_m$ ). Vale ressaltar que o sistema de coordenadas adotado ( $x, y, z$ ), na Figura 3.8, é específico e não ortogonal.

Assim, pode-se escrever

$$\partial T_I = dm (S_{zI} R_z - S_{xE} R_x) \quad (3.9)$$

As componentes tangenciais  $S_{zI}$  e  $S_{xE}$  são obtidas através da Figura 3.7, onde apresenta-se esquematicamente os diagramas de velocidade para a entrada e saída de cada aleta dos elementos do conversor de torque.

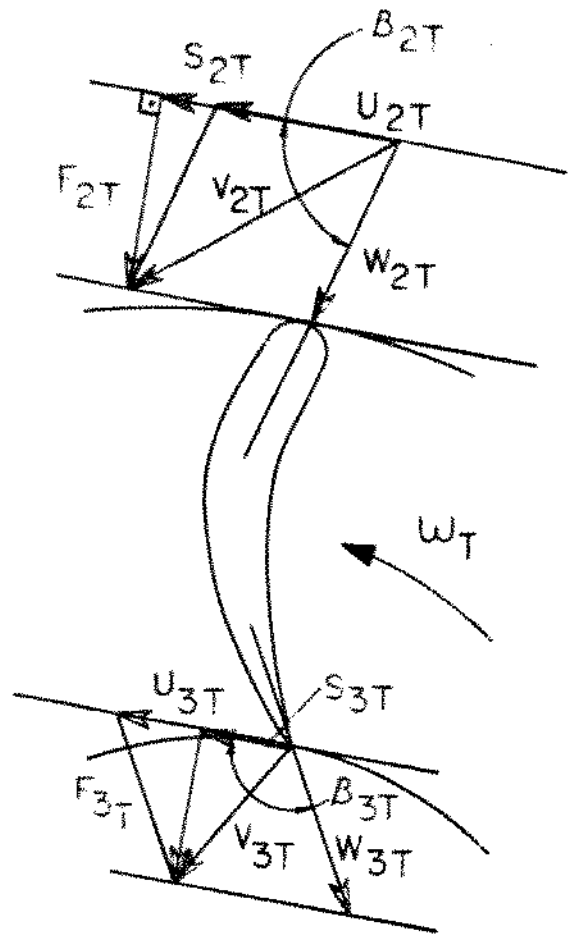
$$S_{zI} = U_{zI} = \frac{F_{zI}}{\operatorname{tg}(180^\circ - \beta_{zI})} \quad (3.11)$$

$$S_{xE} = \frac{F_{xE}}{\operatorname{tg} \beta_{xE}} \quad (3.12)$$

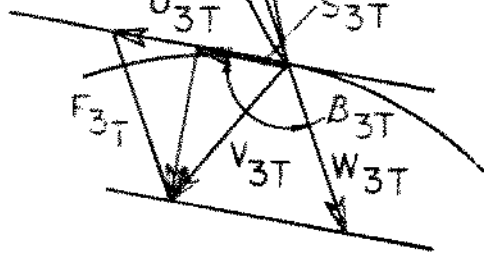
Tomando por base a Figura 3.8, as componentes meridianas ( $F_{zI}$  e  $F_{xE}$ ) e a velocidade tangencial do rotor ( $U_{zI}$ ), são assim definidas:

$$F_{zI} = w_y \quad (3.13)$$

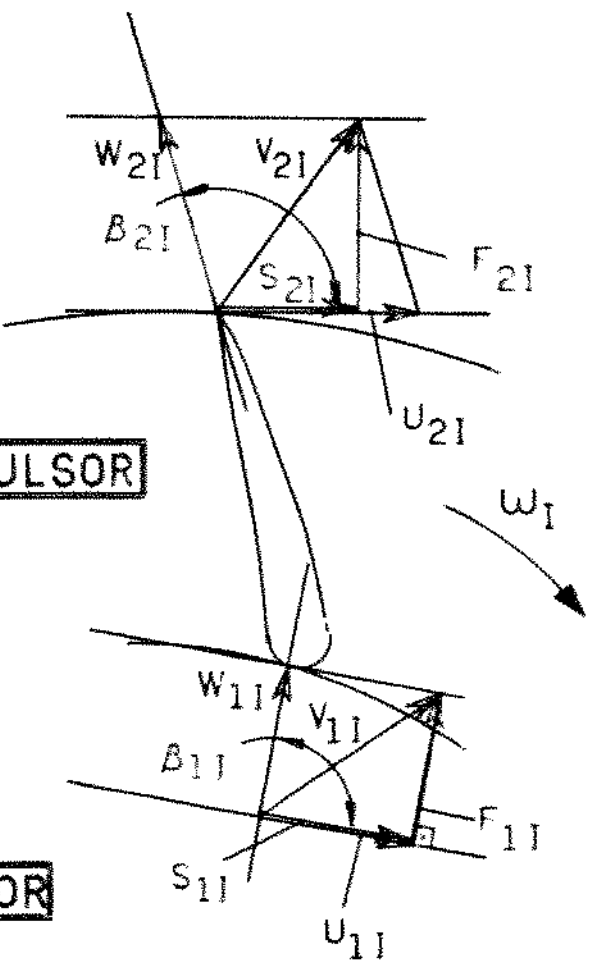
$$F_{xE} = w_x \quad (3.14)$$



**TURBINA**



**IMPULSOR**



**ESTATOR**

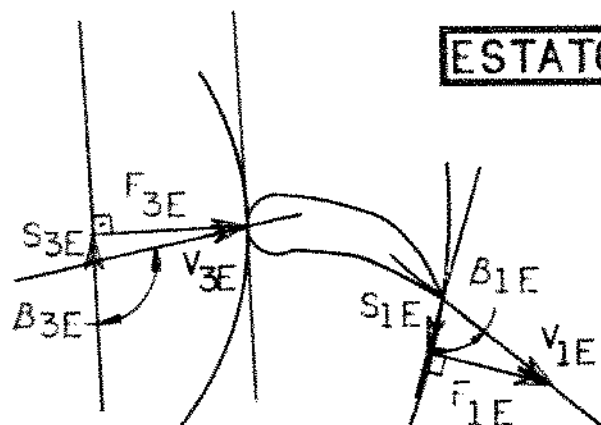


Figura 3.7 - Diagramas de Velocidades as Entrada e Saída das Aletas para os Elementos de Conversão de Torque.

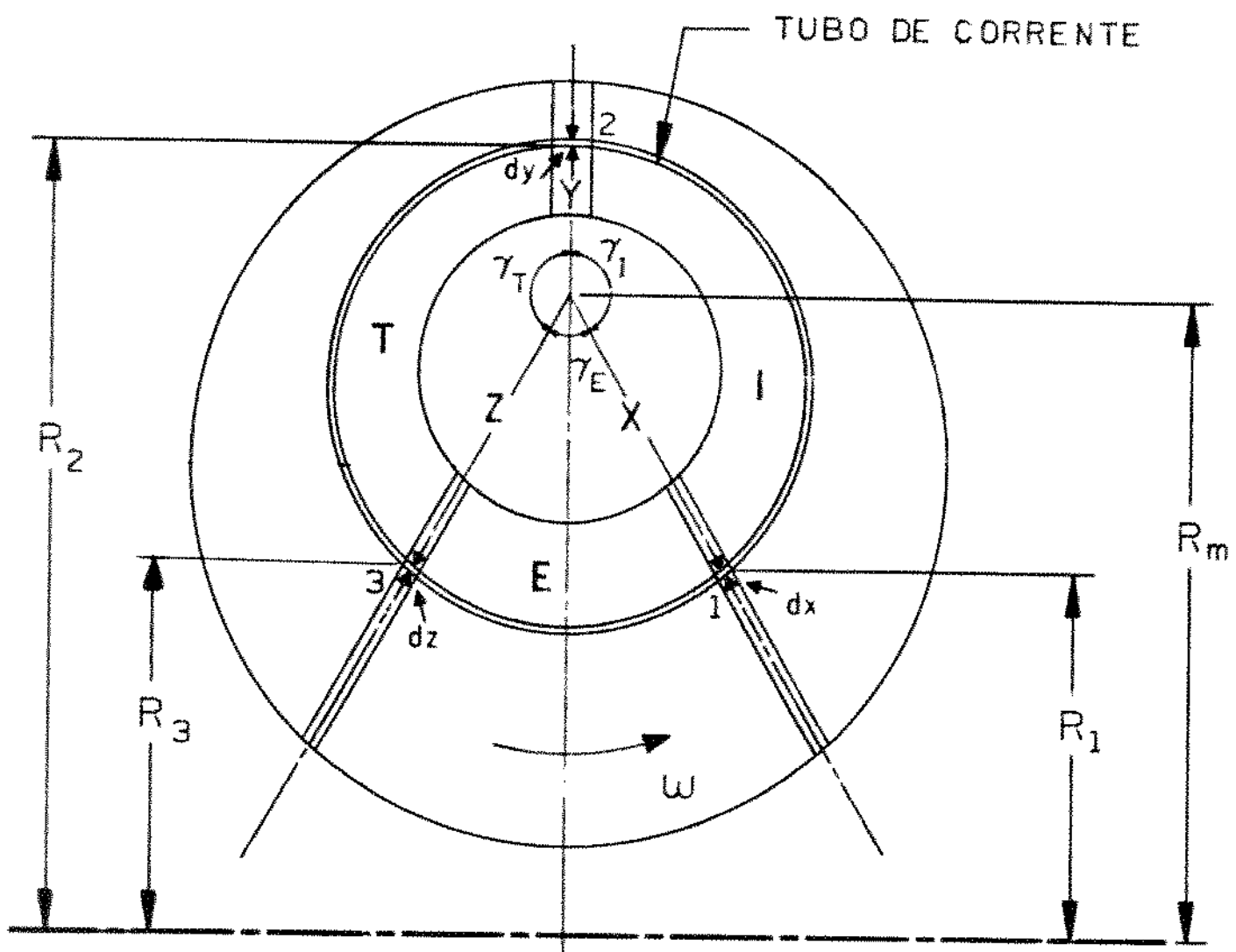


Figura 3.8 - Localização de um Tubo de Corrente a partir do Raio Médio  $R_m$ .

$$U_{21} = w_1 (R_m + y) \quad (3.15)$$

Substituindo-se as equações (3.13) e (3.15) em (3.11) e (3.14) em (3.12), chega-se a:

$$S_{21} = w_1 (R_m + y) + w y \operatorname{cota} \beta_{21} \quad (3.16)$$

$$S_{1E} = w x \operatorname{cota} \beta_{1E} \quad (3.17)$$

Da Figura 3.8:

$$R_2 = R_m + y \quad (3.18)$$

$$R_1 = R_m + x \cos (180^\circ - \gamma_1) = R_m + x \cos \gamma_1 \quad (3.19)$$

Com as equações (3.16), (3.17), (3.18) e (3.19) em (3.10), obtém-se:

$$\begin{aligned} \dot{m}_1 &= \dot{m} \left\{ \left[ w_1 (R_m + y) + w y \operatorname{cota} \beta_{21} \right] + \left( R_m + y \right) \right\} - \dot{m} \left[ \left( w x \operatorname{cota} \beta_{1E} \right) + \right. \\ &\quad \left. \left( R_m + x \cos \gamma_1 \right) \right] \end{aligned} \quad (3.20)$$

Pelo princípio da conservação de massa, tem-se que

$$\dot{m}_1 = \dot{m}_2 = \dot{m}_3 \quad (3.21)$$

onde:  $\dot{m}_1$  e  $\dot{m}_2$  são respectivamente, a vazão do elemento de massa para a entrada e saída do impulsionador.

Com a equação (3.21) em (3.20), tem-se

$$\begin{aligned} \dot{m}_1 &= \dot{m}_2 \left\{ \left[ w_1 (R_m + y) + w y \operatorname{cota} \beta_{21} \right] + \left( R_m + y \right) \right\} - \dot{m}_2 \left[ \left( w x \operatorname{cota} \beta_{1E} \right) + \right. \\ &\quad \left. \left( R_m + x \cos \gamma_1 \right) \right] \end{aligned} \quad (3.22)$$

A vazão do elemento de massa  $d\dot{m}_1$  é expressa por:

$$d\dot{m}_1 = \rho dA_1 F_{1E} \quad (3.23)$$

O elemento de área  $dA_1$  está mostrado na Figura 3.9, onde pode-se verificar o elemento de área lateral de um tronco de cone, citado na referência [10].

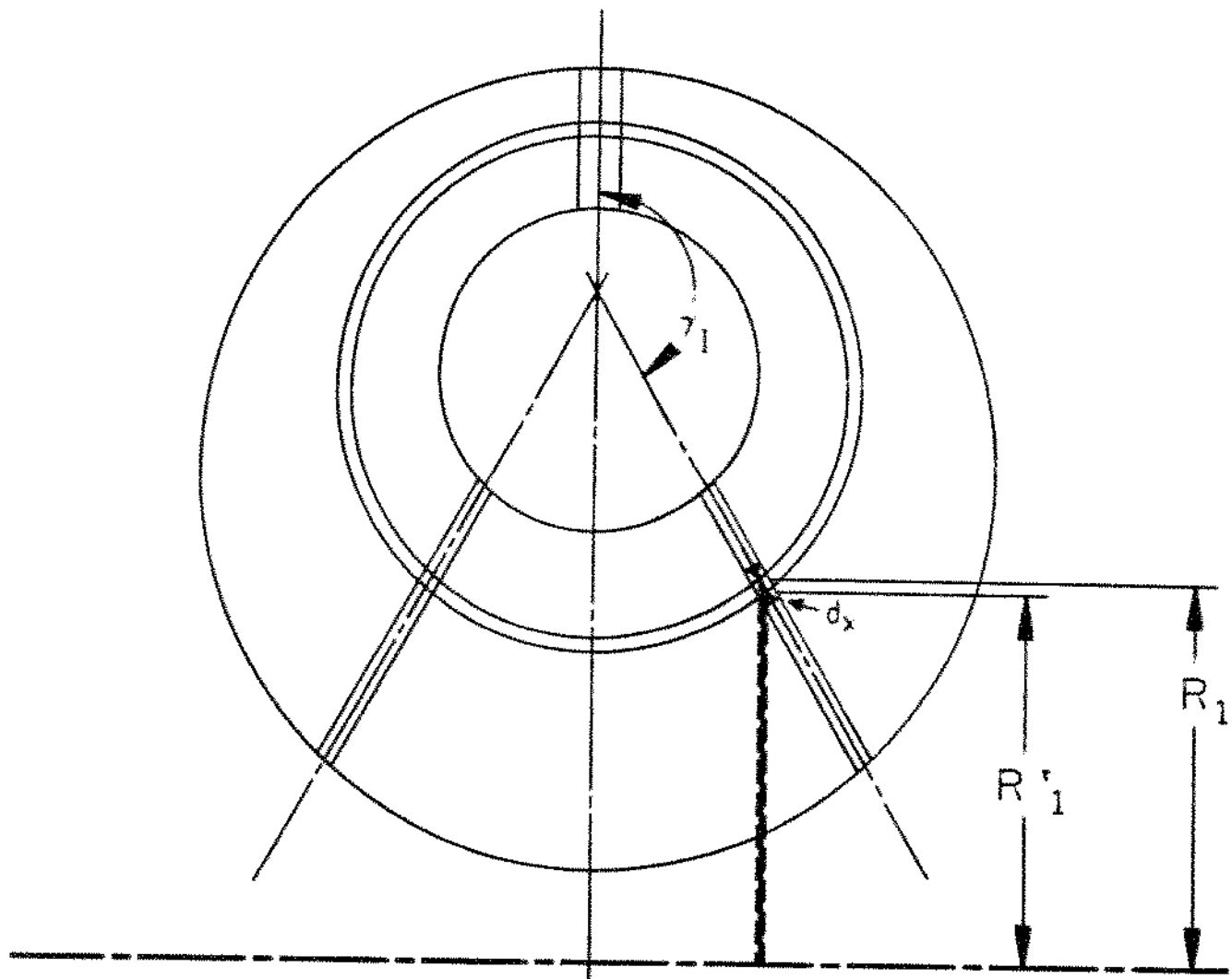


Figura 3.9 - Elemento de Área  $dA_1$

Assim, pode-se escrever:

$$dA_1 = \pi dx (R_1 + R'_1) \quad (3.24)$$

mas  $R'_1 = R_1 + dx \cos \gamma_1$  (3.25)

Substituindo (3.25) em (3.24) e simplificando, obtém-se:

$$dA_1 = 2\pi R_1 dx \quad (3.26)$$

com a equação (3.19) em (3.26), tem-se:

$$dA_1 = 2\pi (R_m + x \cos \gamma_1) dx \quad (3.27)$$

Das equações (3.14) e (3.27) em (3.23), chega-se a:

$$dm_1 = 2\pi \rho w x (R_m + x \cos \gamma_1) dx \quad (3.28)$$

Para o elemento de massa  $dm_2$ , tem-se que:

$$dm_2 = \rho dA_2 F_{21} \quad (3.29)$$

Através da Figura 3.10, que mostra o elemento de área de uma coroa circular ( $dA_2$ ), referência (10), pode-se escrever:

$$dA_2 = \pi (R_2 + dy)^2 - \pi R_2^2$$

Logo  $dA_2 = 2\pi R_2 dy$

mas  $R_2 = R_m + y$  (3.18)

Portanto  $dA_2 = 2\pi (R_m + y) dy$  (3.30)

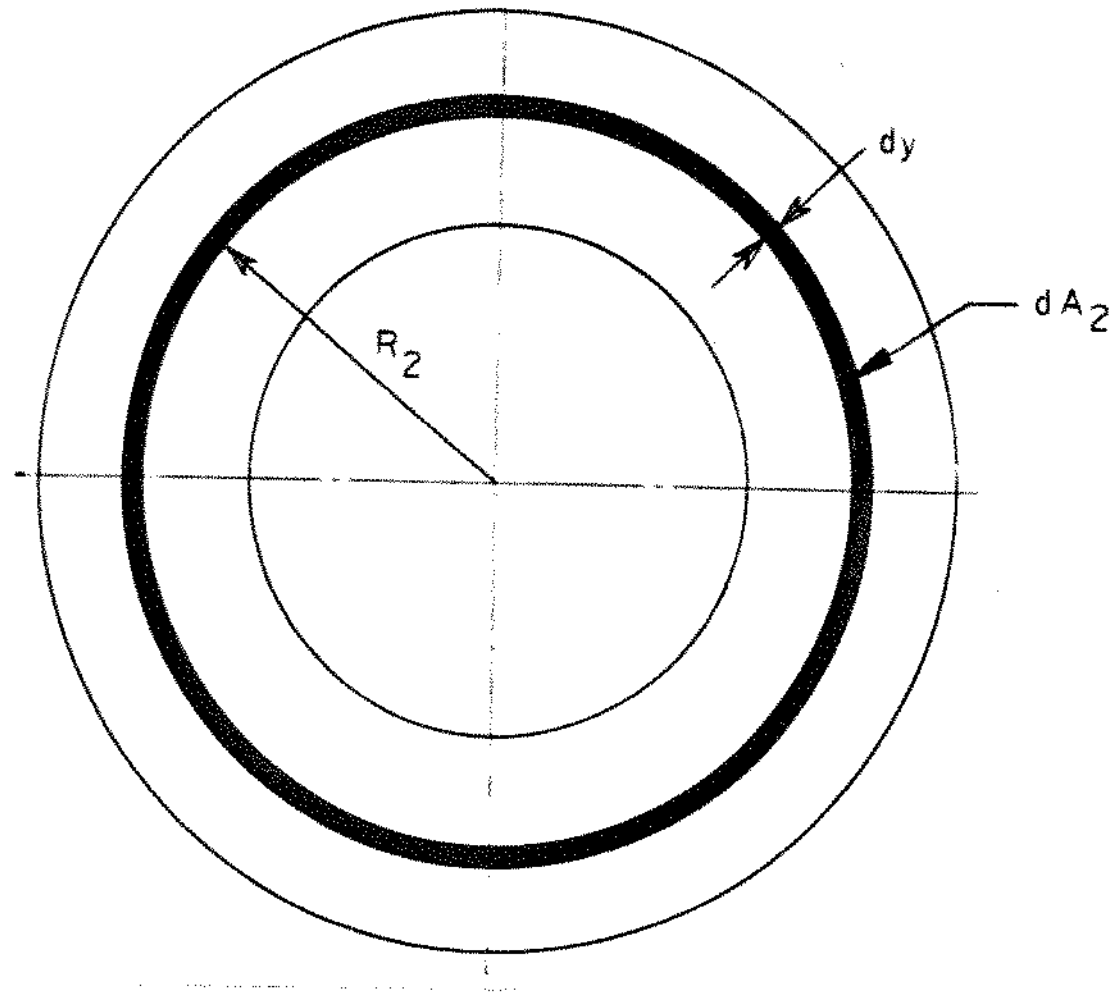


Figura 3.10 - Elemento de Área  $dA_2$

Com as equações (3.13) e (3.30) em (3.29), obtém-se :

$$dm_2 = 2\pi p w y (R_m + y) dy \quad (3.31)$$

Substituindo-se as expressões (3.28) e (3.31), em (3.22), tem-se:

$$\begin{aligned} dT_2 &= 2\pi p w y (R_m + y) dy \left\{ \left[ w_I (R_m + y) + w y \cotg \beta_{2I} \right] (R_m + y) \right\} - \\ &- 2\pi p w \lambda (R_m + x \cos \gamma_I) dx \left[ (wx \cotg \beta_{2E}) (R_m + x \cos \gamma_I) \right] \end{aligned} \quad (3.32)$$

Para integrarmos a expressão acima necessitaremos conhecer como o ângulo do fluxo, qual considerou-se igual ao ângulo das aletas através da hipótese 3 descrita no inicio deste capítulo, varia com a posição radial. As aletas dos conversores Clark são projetadas de acordo com Jandasek [6], que sugere que o ângulo da aleta  $\beta$ , para qualquer raio  $R$ , seja calculado pela expressão:

$$\frac{\cot \beta}{R} = \frac{\cot \beta_{ref}}{R_{ref}} \quad (3.33)$$

onde o ângulo  $\beta_{ref}$  é conhecido para um certo raio  $R_{ref}$ .

Desta forma, os ângulos  $\beta_{z1}$  e  $\beta_{1E}$ , poderão ser expressos da seguinte maneira:

$$\cot \beta_{z1} = R_z \frac{\cot \beta_{zIRref}}{R_{zIRref}} \quad (3.34)$$

$$\cot \beta_{1E} = R_1 \frac{\cot \beta_{1ERref}}{R_{1ERref}} \quad (3.35)$$

Substituindo as equações (3.18) e (3.19) em (3.34) e (3.35) respectivamente, obtém-se:

$$\cot \beta_{z1} = (R_m + y) \frac{\cot \beta_{zIRref}}{R_{zIRref}} \quad (3.36)$$

$$\cot \beta_{1E} = (R_m + x \cos \gamma_x) \frac{\cot \beta_{1ERref}}{R_{1ERref}} \quad (3.37)$$

Com as equações (3.36) e (3.37) em (3.32) tem-se então

$$dT_x = 2\pi P (R_m + y)^3 wy \left[ w_i + wy \left[ \frac{\cot \beta_{zIRref}}{R_{zIRref}} \right] \right] dy +$$

$$= 2\pi \rho (R_m + x \cos \gamma_1)^2 w^2 x^2 \left[ \frac{\cot \beta_{1ERef}}{R_{1ERef}} \right] dx \quad (3.38)$$

Pode-se agora integrar a equação acima para os valores de  $x$  variando no intervalo  $x_{1IC} \leq x \leq x_{1IS}$  e  $y$  no intervalo  $y_{2IC} \leq y \leq y_{2IS}$ .

Portanto

$$T_1 = I_1 + I_2 \quad (3.39)$$

onde:

$$I_1 = \int_{y_{2IC}}^{y_{2IS}} 2\pi \rho (R_m + y)^2 w y \left[ w_1 + w y \left( \frac{\cot \beta_{2ICref}}{R_{2ICref}} \right) \right] dy$$

$$I_2 = - \int_{x_{1IC}}^{x_{1IS}} 2\pi \rho w^2 x^2 (R_m + x \cos \gamma_1)^2 \left[ \frac{\cot \beta_{1ERef}}{R_{1ERef}} \right] dx$$

Resolvendo-se as integrais  $I_1$  e  $I_2$ , obtém-se:

$$\begin{aligned} I_1 &= 2\pi \rho w \left\{ w_1 \left[ -\frac{R_m^3}{2} \left( y_{2IS}^2 - y_{2IC}^2 \right) + R_m^2 \left( y_{2IS}^3 - y_{2IC}^3 \right) + \right. \right. \\ &\quad \left. \left. + \frac{3}{5} R_m \left( y_{2IS}^4 - y_{2IC}^4 \right) + \frac{1}{5} \left( y_{2IS}^5 - y_{2IC}^5 \right) \right] + \left( \frac{w \cot \beta_{2ICref}}{R_{2ICref}} \right) \right. \\ &\quad \left[ \frac{R_m^3}{3} \left( y_{2IS}^3 - y_{2IC}^3 \right) + \frac{3}{5} R_m^2 \left( y_{2IS}^4 - y_{2IC}^4 \right) + \frac{3}{5} R_m \left( y_{2IS}^5 - y_{2IC}^5 \right) + \right. \\ &\quad \left. \left. + \frac{1}{6} \left( y_{2IS}^6 - y_{2IC}^6 \right) \right] \right\} \end{aligned} \quad (3.40)$$

$$I_2 = -2\pi p w^2 \frac{\cot \beta_{1ERef}}{R_{1ERef}} \left[ -\frac{R_m^3}{3} \left( x_{1IS}^3 - x_{1IC}^3 \right) + \left( \frac{3}{4} R_m^2 \right) \right. \\ \left. + \left( x_{1IS}^4 - x_{1IC}^4 \right) \cos \gamma_I + \frac{3}{5} R_m \cos^2 \gamma_I \left( x_{1IS}^5 - x_{1IC}^5 \right) + \right. \\ \left. + \frac{\cos^3 \gamma_I}{6} \left( x_{1IS}^6 - x_{1IC}^6 \right) \right] \quad (3.41)$$

Finalmente, substituindo-se as integrais  $I_1$  e  $I_2$  na equação (3.39), obtém-se o torque desenvolvido no impulsionador em função da velocidade angular do fluido  $w$ .

$$T_I = C_1 w_I w + C_2 w^2 \quad (3.42)$$

onde  $C_1$  e  $C_2$  são constantes, definidas abaixo, que dependem das características geométricas dos elementos do conversor de torque, envolvidos no estudo.

$$C_1 = 2\pi p \left[ \frac{R_m^3}{3} \left( y_{2IS}^2 - y_{2IC}^2 \right) + R_m^2 \left( y_{2IS}^3 - y_{2IC}^3 \right) + \frac{3}{4} R_m \left( y_{2IS}^4 - y_{2IC}^4 \right) + \right. \\ \left. + \frac{1}{5} R_m \left( y_{2IS}^5 - y_{2IC}^5 \right) \right]$$

$$C_2 = 2\pi p \left\{ \frac{\cot \beta_{2IRef}}{R_{2IRef}} \left[ -\frac{R_m^3}{3} \left( y_{2IS}^3 - y_{2IC}^3 \right) + \frac{3}{4} R_m^2 \left( y_{2IS}^4 - y_{2IC}^4 \right) \right. \right. \\ \left. + \frac{3}{5} R_m \left( y_{2IS}^5 - y_{2IC}^5 \right) + \frac{1}{6} \left( y_{2IS}^6 - y_{2IC}^6 \right) \right] - \left( \frac{\cot \beta_{1ERef}}{R_{1ERef}} \right) \cdot \\ \cdot \left. \left[ -\frac{R_m^3}{3} \left( x_{1IS}^3 - x_{1IC}^3 \right) + \frac{3}{4} R_m^2 \left( x_{1IS}^4 - x_{1IC}^4 \right) \cos \gamma_I + \frac{3}{5} R_m \cos^2 \gamma_I \left( x_{1IS}^5 - x_{1IC}^5 \right) \right. \right. \\ \left. \left. + \frac{\cos^3 \gamma_I}{6} \left( x_{1IS}^6 - x_{1IC}^6 \right) \right] \right\}$$

### III.2.2. Desenvolvimento da Equação do Torque na Turbina

Adotando-se o mesmo procedimento de cálculo utilizado para a determinação do torque no impulso, chega-se à seguinte expressão para o torque na turbina:

$$T_T = C_3 w_T w + C_4 w^2 \quad (3.42)$$

onde  $C_3$  e  $C_4$  são constantes, descritas abaixo, e somente dependem das características geométricas do impulso e da turbina.

$$\begin{aligned} C_3 &= 2\pi p \left\{ \frac{\pi}{w_T} \left[ \frac{R_m^3}{5} \left( \zeta_{STS}^2 - \zeta_{STC}^2 \right) + R_m^2 \cos \gamma_T \left( \zeta_{STS}^2 - \zeta_{STC}^2 \right) \right. \right. \\ &\quad \left. + \frac{3}{5} R_m \cos^2 \gamma_T \left( \zeta_{STS}^4 - \zeta_{STC}^4 \right) + \frac{\cos^2 \gamma_T}{5} \left( \zeta_{STS}^5 - \zeta_{STC}^5 \right) \right] \\ &\quad - \left[ \frac{R_m^3}{5} \left( \gamma_{2IS}^2 - \gamma_{2IC}^2 \right) + R_m^2 \left( \gamma_{2IS}^3 - \gamma_{2IC}^3 \right) + \frac{3}{5} R_m \left( \gamma_{2IS}^4 - \gamma_{2IC}^4 \right) \right. \\ &\quad \left. + \frac{1}{5} \left( \gamma_{2IS}^5 - \gamma_{2IC}^5 \right) \right] \right\} \end{aligned}$$

$$\begin{aligned} C_4 &= 2\pi p \left\{ \frac{\cot \beta_{STS\sigma}}{R_{STS\sigma}} \left[ \frac{R_m^3}{5} \left( \zeta_{STS}^2 - \zeta_{STC}^2 \right) + \frac{3}{5} R_m^2 \cos \gamma_T \left( \zeta_{STS}^4 - \zeta_{STC}^4 \right) \right. \right. \\ &\quad \left. + \frac{3}{5} R_m \cos^2 \gamma_T \left( \zeta_{STS}^5 - \zeta_{STC}^5 \right) + \frac{\cos^2 \gamma_T}{5} \left( \zeta_{STS}^6 - \zeta_{STC}^6 \right) \right] - \frac{\cot \beta_{2IR\sigma}}{R_{2IR\sigma}} \\ &\quad \left[ \frac{R_m^3}{5} \left( \gamma_{2IS}^2 - \gamma_{2IC}^2 \right) + \frac{3}{5} R_m^2 \left( \gamma_{2IS}^4 - \gamma_{2IC}^4 \right) + \frac{3}{5} R_m \left( \gamma_{2IS}^5 - \gamma_{2IC}^5 \right) + \right. \\ &\quad \left. \left. + \frac{1}{5} \left( \gamma_{2IS}^6 - \gamma_{2IC}^6 \right) \right] \right\} \end{aligned}$$

### 3.7.3. DETERMINAÇÃO DA VELOCIDADE ANGULAR DO FLUIDO CIRCULANTE (ω) ATRAVÉS DO CONVERSOR

Antes de aplicarmos as equações (3.42) e (3.43) para calcular os torques no impulsionador e turbina, a velocidade angular ( $\omega$ ), deve ser determinada. Ela é obtida pela aplicação das equações das perdas descritas na seção 3.3. A potência total dissipada no conversor de torque é a diferença entre a potência de entrada e a potência de saída, isto é :

$$P_{\text{TOT}} = P_I - P_T = T_I \omega_I - T_T \omega_T \quad (3.44)$$

Com as equações (3.42) e (3.43) em (3.44), tem-se:

$$P_{\text{TOT}} = (C_1 + C_2 - \frac{C_3}{\omega_I}) \omega_I^2 \omega + (C_2 + C_4 - \frac{C_3}{\omega_I}) \omega_I \omega^2 \quad (3.45)$$

Como foi discutido no capítulo 3, as principais perdas de potência nos elementos do conversor ocorridas por choque, por atrito e por escoamento secundário.

Assim, pode-se escrever :

$$P_{\text{TOT}} = P_C + P_A + P_S \quad (3.46)$$

onde  $P_C$  = perdas por choque

$P_A$  = perdas por atrito

$P_S$  = perdas por escoamento secundário

Igualando-se as expressões (3.45) e (3.46), tem-se :

$$P_C + P_A + P_S = (C_1 + C_2 - \frac{C_3}{\omega_I}) \omega_I^2 \omega + (C_2 + C_4 - \frac{C_3}{\omega_I}) \omega_I \omega^2 \quad (3.47)$$

Necessitam-se agora, calcular estas perdas em função da velocidade angular ( $\omega$ ).

### 3.1.3.1. Perdas por Choque.

Para o equacionamento das perdas por choque no impulsionador e estator, aplicar-se a expressão (2.39) a um tubo de corrente que tem a integração ao longo dum seu eixo. O resultado é facilmente desenvolvido nos Figuras 3.7 e 3.8.

#### 3.1.3.1.1. Perdas por Choque no Impulsionador.

Considerando-se um elemento de fluido na entrada do impulsionador, a perda de potência para este elemento é dada por:

$$\delta P_{ci} = \frac{d\dot{m}}{dA} (S_{ie} - S_{ii})^2 \quad (3.43)$$

Pela Figura 3.7, pode-se efectuar a decomposição das velocidades  $S_{ii}$ :

$$S_{ii} = U_{ii} = \frac{E_{ii}}{\operatorname{tg}(180^\circ - \beta_{ii})} \quad (3.44)$$

Pela Figura 3.8, tem-se que:

$$U_{ii} = \omega_i (R_m + x \cos \gamma_i) \quad (3.45)$$

$$E_{ii} = \omega x \quad (3.46)$$

Com as equações (3.50) e (3.51) em (3.45), chega-se a:

$$S_{ii} = \omega_i (R_m + x \cos \gamma_i) + \omega x \operatorname{cotg} \beta_{ii} \quad (3.47)$$

Substituindo-se as equações (3.17), (3.28) e (3.47) em (3.43), obtém-se:

$$c P_{st} = \pi p \omega x (R_m + x \cos \gamma_i) \times (\omega x \operatorname{cota} \beta_{IE} + \operatorname{cota} \beta_{II})$$

$$\omega_i (R_m + x \cos \gamma_i)^2 \quad (3.53)$$

Utilizando-se a equação (3.33), podemos expressar o ângulo  $\beta_{II}$  como:

$$\operatorname{cota} \beta_{II} = R_{II} \frac{\operatorname{cota} \beta_{IERef}}{R_{IERef}} \quad (3.54)$$

De acordo com E.W. Upton (8), considera-se que:

$$R_{IE} = R_{II} = R_i$$

onde:  $R_{IE}$  = raio de saída do escáter (ângulo IE - figura 3.7)

$R_{II}$  = raio de entrada do impulsor (ponto II - Figura 3.7)

$R_i$  = raio no ponto I (Figura 3.7)

Logo a equação (3.53), transforma-se em:

$$\operatorname{cota} \beta_{II} = R_i \frac{\operatorname{cota} \beta_{IERef}}{R_{IERef}}$$

$$\text{mas } R_i = R_m + x \cos \gamma_i \quad (3.55)$$

Então temos:

$$\operatorname{cota} \beta_{II} = (R_m + x \cos \gamma_i) \frac{\operatorname{cota} \beta_{IERef}}{R_{IERef}} \quad (3.56)$$

Substituindo-se as equações (3.37) e (3.56) em (3.53), temos:

$$c P_{st} = \pi p \omega x (R_m + x \cos \gamma_i) \times \left[ \omega x (R_m + x \cos \gamma_i) \right] \left( \frac{\operatorname{cota} \beta_{IERef} - \operatorname{cota} \beta_{IERef}}{R_{IERef}} \right)^2 \quad (3.57)$$

DECOMPOSIÇÃO DA ACCELERAÇÃO (3.56), VELAS, 1980.

$$\delta F_{z_1} = \pi p \cdot (R_m + x \cos \gamma_1)^3 \omega^2 \cdot x^2 \left\{ \frac{\cotg \beta_{1ERef} - \cotg \beta_{1IREf}}{R_{1ERef}} \right\}^2 dx$$

$$+ \pi p \cdot \omega_1^2 \cdot (R_m + x \cos \gamma_1)^3 \omega^2 \cdot x^2 \left\{ \frac{\cotg \beta_{1ERef} - \cotg \beta_{1IREf}}{R_{1ERef}} \right\} dx$$

$$+ \pi p \cdot \omega_1^2 \cdot (R_m + x \cos \gamma_1)^3 \omega^2 \cdot x^2 \quad \text{(3.57)}$$

Integrando-se a equação (3.57) para os valores de  $x$  válidos no intervalo  $x_{1IC} \leq x \leq x_{1IS}$  obtem-se:

$$F_{C1} = l_1 + l_2 + l_3 \quad \text{(3.58)}$$

onde:

$$l_1 = \int_{x_{1IC}}^{x_{1IS}} \omega^2 \cdot x^2 \pi p \cdot (R_m + x \cos \gamma_1)^3 \left\{ \frac{\cotg \beta_{1ERef} - \cotg \beta_{1IREf}}{R_{1ERef}} \right\}^2 dx$$

$$l_2 = \int_{x_{1IC}}^{x_{1IS}} 2\omega^2 \cdot x^2 \omega_1 \pi p \cdot (R_m + x \cos \gamma_1)^3 \left\{ \frac{\cotg \beta_{1ERef} - \cotg \beta_{1IREf}}{R_{1ERef}} \right\} dx$$

$$l_3 = \int_{x_{1IC}}^{x_{1IS}} \pi p \cdot \omega x \omega_1^2 \cdot (R_m + x \cos \gamma_1)^3 dx$$

A resolução das integrais resulta em:

$$\begin{aligned}
P_1 &= \omega^3 n_F \left( \frac{\cos \beta_{1ERef} - \cos \beta_{1IREf}}{R_{1ERef}} \right)^2 \left[ \frac{\frac{R_m}{c}}{c} (x_{1IS}^2 - x_{1IC}^2) + \right. \\
&+ \frac{\frac{R_m}{c} R_m^2 \cos \gamma_1 (x_{1IS}^2 - x_{1IC}^2)}{c} + \frac{\frac{R_m}{c}}{c} \cos^2 \gamma_1 (x_{1IS}^2 - x_{1IC}^2) + \\
&\left. + \frac{\cos^2 \gamma_1}{c} (x_{1IS}^2 - x_{1IC}^2) \right] \quad (3.58)
\end{aligned}$$

$$\begin{aligned}
P_2 &= E \omega^2 \omega_1 n_F \left( \frac{\cos \beta_{1ERef} - \cos \beta_{1IREf}}{R_{1ERef}} \right)^2 \left[ \frac{\frac{R_m}{c}}{c} (x_{1IS}^2 - x_{1IC}^2) + \right. \\
&+ \frac{\frac{R_m}{c} R_m^2 \cos \gamma_1 (x_{1IS}^2 - x_{1IC}^2)}{c} + \frac{\frac{R_m}{c}}{c} \cos^2 \gamma_1 (x_{1IS}^2 - x_{1IC}^2) + \\
&\left. + \frac{\cos^2 \gamma_1}{c} (x_{1IS}^2 - x_{1IC}^2) \right] \quad (3.59)
\end{aligned}$$

$$\begin{aligned}
P_3 &= n_F \omega \omega_1^2 \left[ \frac{\frac{R_m}{c}}{c} (x_{1IS}^2 - x_{1IC}^2) + R_m^2 \cos \gamma_1 (x_{1IS}^2 - x_{1IC}^2) + \right. \\
&+ \left. \frac{\frac{R_m}{c}}{c} R_m^2 \cos^2 \gamma_1 (x_{1IS}^2 - x_{1IC}^2) + \frac{\cos^2 \gamma_1}{c} (x_{1IS}^2 - x_{1IC}^2) \right] \quad (3.60)
\end{aligned}$$

Com as equações (3.59), (3.60) e (3.61) em (3.58), finalmente chega-se à equação da perda de potência gerada no estator do impulsor, em função da velocidade angular do impulsor ( $\omega$ ):

$$P_{St} = C_{C1} \omega_1^2 \omega + C_{C2} \omega_1 \omega^2 + C_{C3} \omega^3 \quad (3.62)$$

onde  $C_{G1}$ ,  $C_{G2}$  e  $C_{G3}$  são constantes, definidas abaixo, que dependem das características geométricas dos elementos do conversor de torque envolvidos no fluxo.

$$C_{G1} = n_p \left[ \frac{R_m^3}{2} \left( x_{1IS}^2 - x_{1IC}^2 \right) + R_m^2 \cos \gamma_1 \left( x_{1IS}^3 - x_{1IC}^3 \right) + \right. \\ \left. + \frac{\partial}{\partial \beta} R_m \cos^2 \gamma_1 \left( x_{1IS}^4 - x_{1IC}^4 \right) + \frac{\cos^3 \gamma_1}{6} \left( x_{1IS}^5 - x_{1IC}^5 \right) \right]$$

$$C_{G2} = 2 n_p \left[ \frac{\cot \beta_{1ERef} - \cot \beta_{1IRref}}{R_{1ERef}} \right] \left[ \frac{R_m^3}{2} \left( x_{1IS}^2 - x_{1IC}^2 \right) + \right. \\ \left. + \frac{\partial}{\partial \beta} R_m^2 \cos \gamma_1 \left( x_{1IS}^4 - x_{1IC}^4 \right) + \frac{\partial}{\partial \beta} R_m \cos^2 \gamma_1 \left( x_{1IS}^5 - x_{1IC}^5 \right) + \right. \\ \left. + \frac{\cos^3 \gamma_1}{6} \left( x_{1IS}^6 - x_{1IC}^6 \right) \right]$$

$$C_{G3} = n_p \left[ \frac{\cot \beta_{1ERef} - \cot \beta_{1IRref}}{R_{1ERef}} \right]^2 \left[ \frac{R_m^3}{2} \left( x_{1IS}^2 - x_{1IC}^2 \right) + \right. \\ \left. + \frac{\partial}{\partial \beta} R_m^2 \cos \gamma_1 \left( x_{1IS}^5 - x_{1IC}^5 \right) + \frac{R_m^3}{2} \cos^2 \gamma_1 \left( x_{1IS}^6 - x_{1IC}^6 \right) + \right. \\ \left. + \frac{\cos^3 \gamma_1}{6} \left( x_{1IS}^7 - x_{1IC}^7 \right) \right]$$

### III.3.3.2. Perca por Choque na Turbina

Procedendo-se da mesma maneira como foi feita o desenvolvimento do equacionamento da perca por choque no impulso, obtém-se a seguinte equação para a perca de potência no caso de choque na turbina:

$$P_{C2} = C_{C4} (\omega_1 - \omega_T)^2 \omega + C_{C5} (\omega_1 - \omega_T) \omega^2 + C_{C6} \omega^3 \quad (3.63)$$

onde  $C_{C4}$ ,  $C_{C5}$  e  $C_{C6}$  são constantes.

$$C_{C4} = \pi F \left[ \frac{R_m^3}{\sigma} \left( \gamma_{2IS}^2 - \gamma_{2IC}^2 \right) + \frac{R_m^2}{\sigma} \left( \gamma_{2IS}^3 - \gamma_{2IC}^3 \right) + \right. \\ \left. + \frac{\sigma}{\sigma} R_m \left( \gamma_{2IS}^4 - \gamma_{2IC}^4 \right) + \frac{(\gamma_{2IS}^5 - \gamma_{2IC}^5)}{\sigma} \right]$$

$$C_{C5} = 2\pi F \left( \frac{\cot \beta_{ZIREf} - \cot \beta_{2TRef}}{\eta_{ZIREf}} \right) \left[ \frac{R_m^3}{\sigma} \left( \gamma_{2IS}^2 - \gamma_{2IC}^2 \right) + \right. \\ \left. + \frac{\sigma}{\sigma} R_m^2 \left( \gamma_{2IS}^4 - \gamma_{2IC}^4 \right) + \frac{\sigma}{\sigma} R_m \left( \gamma_{2IS}^5 - \gamma_{2IC}^5 \right) + \right. \\ \left. + \frac{\sigma}{\sigma} \left( \gamma_{2IS}^6 - \gamma_{2IC}^6 \right) \right]$$

$$C_{C6} = \pi F \left( \frac{\cot \beta_{ZIREf} - \cot \beta_{2TRef}}{\eta_{ZIREf}} \right)^2 \left[ \frac{R_m^3}{\sigma} \left( \gamma_{2IS}^2 - \gamma_{2IC}^2 \right) + \right. \\ \left. + \frac{\sigma}{\sigma} R_m^2 \left( \gamma_{2IS}^4 - \gamma_{2IC}^4 \right) + \frac{\sigma}{\sigma} R_m \left( \gamma_{2IS}^5 - \gamma_{2IC}^5 \right) + \left( \frac{\gamma_{2IS}^7 - \gamma_{2IC}^7}{\sigma} \right) \right]$$

### III.3.1.3. Perdas por Bloque no Estator

De modo similar a secção III.3.1.2, tem-se que a perda de potência por choque na entrada do estator é dada por:

$$P_{CS} = C_{CT} \omega_T^2 \psi + C_{CB} \omega_T^2 \psi^2 + C_{CP} \psi^3 \quad (3.3.4)$$

onde  $C_{CT}$ ,  $C_{CB}$  e  $C_{CP}$  são constantes.

$$\begin{aligned} C_{CT} &= \pi p \left[ \frac{\rho_m}{m} \left( z_{STS}^4 - z_{STC}^4 \right) + \frac{\rho_m^2}{m} \cos^2 r_T \left( z_{STS}^6 - z_{STC}^6 \right) + \right. \\ &\quad \left. + \frac{3}{\pi} B_m \cos^2 r_T \left( z_{STS}^4 - z_{STC}^4 \right) + \frac{C_{CS}^3}{\pi} \left( z_{STS}^5 - z_{STC}^5 \right) \right] \end{aligned}$$

$$\begin{aligned} C_{CB} &= 2\pi p \left[ \frac{\cot \beta_{3TRef} + \cot \beta_{SERef}}{B_{3TRef}} \right] \left[ \frac{\rho_m^2}{m} \left( z_{STS}^4 - z_{STC}^4 \right) + \right. \\ &\quad \left. + \frac{3}{\pi} B_m^2 \cos^2 r_T \left( z_{STS}^4 - z_{STC}^4 \right) + \frac{3}{\pi} B_m \cos^2 r_T \left( z_{STS}^5 - z_{STC}^5 \right) + \right. \\ &\quad \left. + \frac{\cos^3 r_T}{\pi} \left( z_{STS}^6 - z_{STC}^6 \right) \right] \end{aligned}$$

$$\begin{aligned} C_{CP} &= \pi p \left[ \frac{\cot \beta_{3TRef} + \cot \beta_{SERef}}{B_{3TRef}} \right]^2 \left[ \frac{\rho_m^2}{m} \left( z_{STS}^4 - z_{STC}^4 \right) + \right. \\ &\quad \left. + \frac{3}{\pi} B_m^2 \cos^2 r_T \left( z_{STS}^5 - z_{STC}^5 \right) + \frac{B_m}{\pi} \cos^2 r_T \left( z_{STS}^6 - z_{STC}^6 \right) \right. \\ &\quad \left. + \frac{\cos^3 r_T}{\pi} \left( z_{STS}^7 - z_{STC}^7 \right) \right] \end{aligned}$$

Somando-se as expressões (3.62), (3.63) e (3.64), chega-se a:

$$\begin{aligned} P_C &= [C_{C1} \omega_1^2 + C_{C4} (\omega_1 - \omega_T)^2 + C_{C7} \omega_T^2] \omega + [C_{C2} \omega_1 \\ &\quad + C_{C5} (\omega_1 - \omega_T) - C_{C8} \omega_1] \omega^2 + (C_{C3} + C_{C6} + C_{C9}) \omega^3 \end{aligned} \quad (3.65)$$

onde  $P_C$  é a perda total por choque.

É importante observar que a expressão (3.65) relaciona a perda total de potência atribuída ao choque com a velocidade angular do fluido circulante ( $\omega$ ).

### III.3.2. PERDAS POR ATRITO.

A fim de desenvolver a formulação para o cálculo das perdas de potência atribuída ao atrito, em função da velocidade angular ( $\omega$ ), aplica-se a equação (2.39) a um tubo de corrente integrando-o ao longo da linha média dos canais formados entre as aletas. Isto é, ao longo das linhas, para os ângulos  $\gamma_1/2$ ,  $\gamma_T/2$  e  $\gamma_E/2$ , mostradas juntamente com o sistema de coordenadas utilizada neste desenvolvimento nas Figuras 3.11, 3.12 e 3.14 respectivamente.

Vale ressaltar que os tubos de corrente são contados com as superfícies do núcleo e da casca, apresentam uma superfície mórbida maior do que os tubos de corrente internos. Portanto, serão ecacionados separadamente, como propõe a referência (7).

#### III.3.2.1. Perdas por Atrito no Impulsor

Como mencionado anteriormente, o dimensionamento destas perdas será separado nas três etapas, descritas a seguir:

## TUBOS DE CORRENTE INTERNA.

A potência dissipada devido ao atrito em um elemento do tubo de corrente interna é expressa por:

$$dE_A = (\dot{m}_{mi}) \frac{\gamma l_{mi} w_{mi}^2}{2 g_{mi}} \quad (3.66)$$

onde:  $\dot{m}_{mi}$  = vazão do elemento de massa.

$\gamma$  = coeficiente de atrito.

$l_{mi}$  = comprimento hidráulico de um tubo de corrente interna.

$w_{mi}$  = velocidade relativa do tubo de corrente na linha média do tubo.

$g_{mi}$  = círculo hidráulico para um tubo de corrente interno.

Se  $\beta_{mi}$  é o ângulo da elipse no ponto médio do canal, considera-se que o mesmo permanece constante durante a integração.

através da Figura 3.7, observa-se que a velocidade relativa do fluido ( $w$ ) é dada por:

$$w = \frac{F}{\sin(180^\circ - \beta)}$$

Assim, pode-se escrever que a velocidade relativa do tubo de corrente na linha média do tubo, Figura 3.11, será:

$$w_{mi} = \frac{F_{mi}}{\sin(180^\circ - \beta_{mi})}$$

mas  $F_{mi} = \omega \times_{mi}$

$$\text{logo } w_{mi} = \frac{\omega \times_{mi}}{\sin(180^\circ - \beta_{mi})} \quad (3.67)$$

Da Figura 3.11 conclui-se que o comprimento hidráulico ( $l_{mi}$ ) pode ser expresso por:

$$l_{mi} = \frac{A_{mi}}{\operatorname{sen} \beta_{mi}} \quad (3.68)$$

O diâmetro hidráulico para canais não circulares, que é o nosso caso, é definido pela equação abaixo, referência (35):

$$c = \frac{q A}{P}$$

onde:  $c$  : diâmetro hidráulico

$A$  : área da seção transversal

$P$  : perímetro molhado

Portanto, podemos escrever

$$c_{mi} = \frac{q A_{mi}}{P_{mi}} \quad (3.69)$$

onde  $A_{mi}$  é um elemento de área lateral de um tronco de cone, como mostrado na figura 3.12, e  $P_{mi}$  é o perímetro molhado de um elemento de tubo de corrente interna para o impulso.

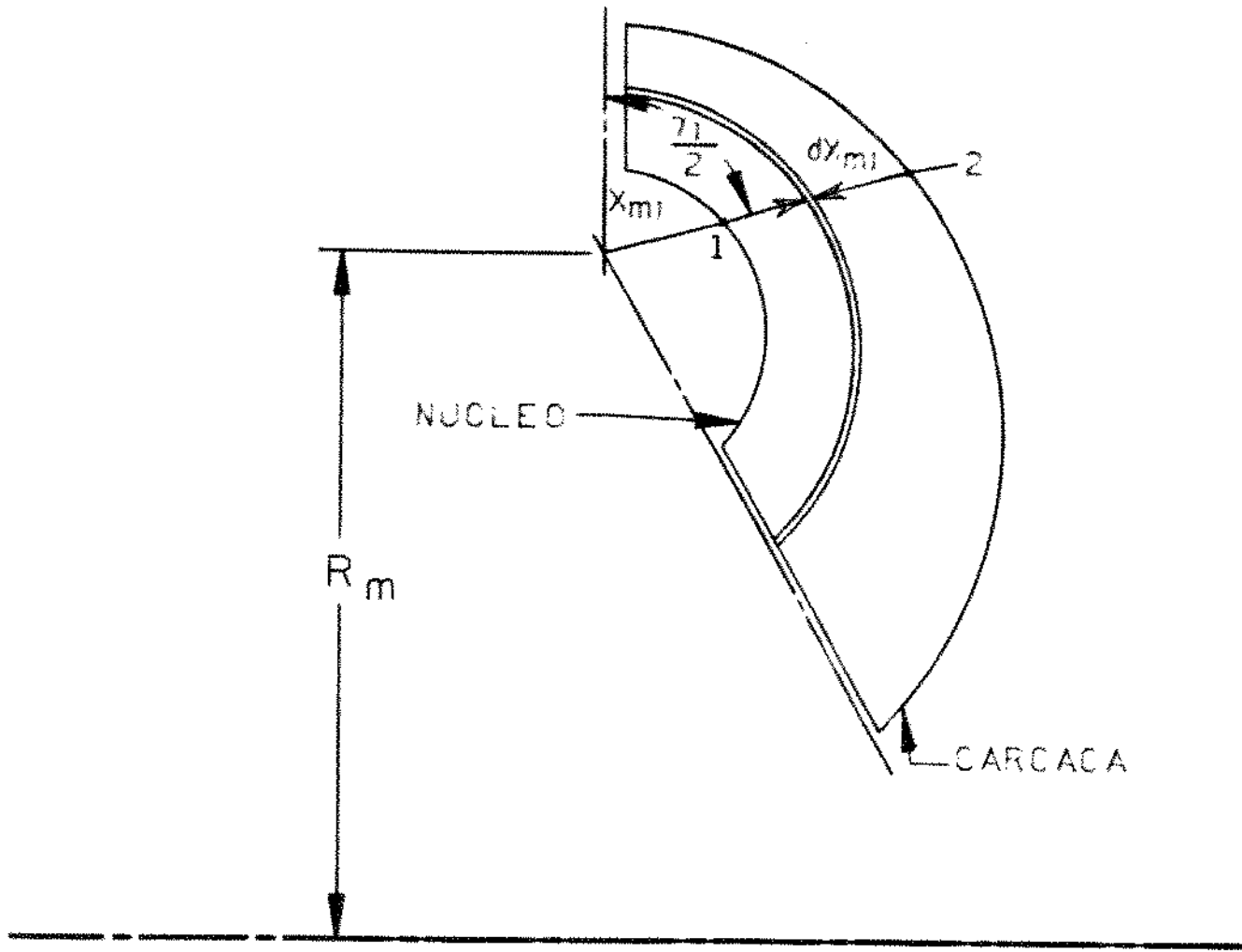


Figura 3.16 - Sistema de Coordenadas para a Posição Núcleo do Impulsor.

Da Figura 3.16, tem-se que:

$$A_{mi} = \pi \cdot dX_{mi} \cdot (R_m + R_o) \quad (3.71)$$

mas

$$R_o = R_m + X_{mi} \cos(\varphi_1/2) \quad (3.72)$$

$$R_o = (R_m + X_{mi} \cos(\varphi_1/2)) + dX_{mi} \cos(\varphi_1/2) \quad (3.73)$$

com as equações (3.71) e (3.72) em (3.73), obtém-se:

$$A_{mi} = 2\pi \cdot dX_{mi} \cdot (R_m + X_{mi} \cos(\varphi_1/2)) \quad (3.74)$$

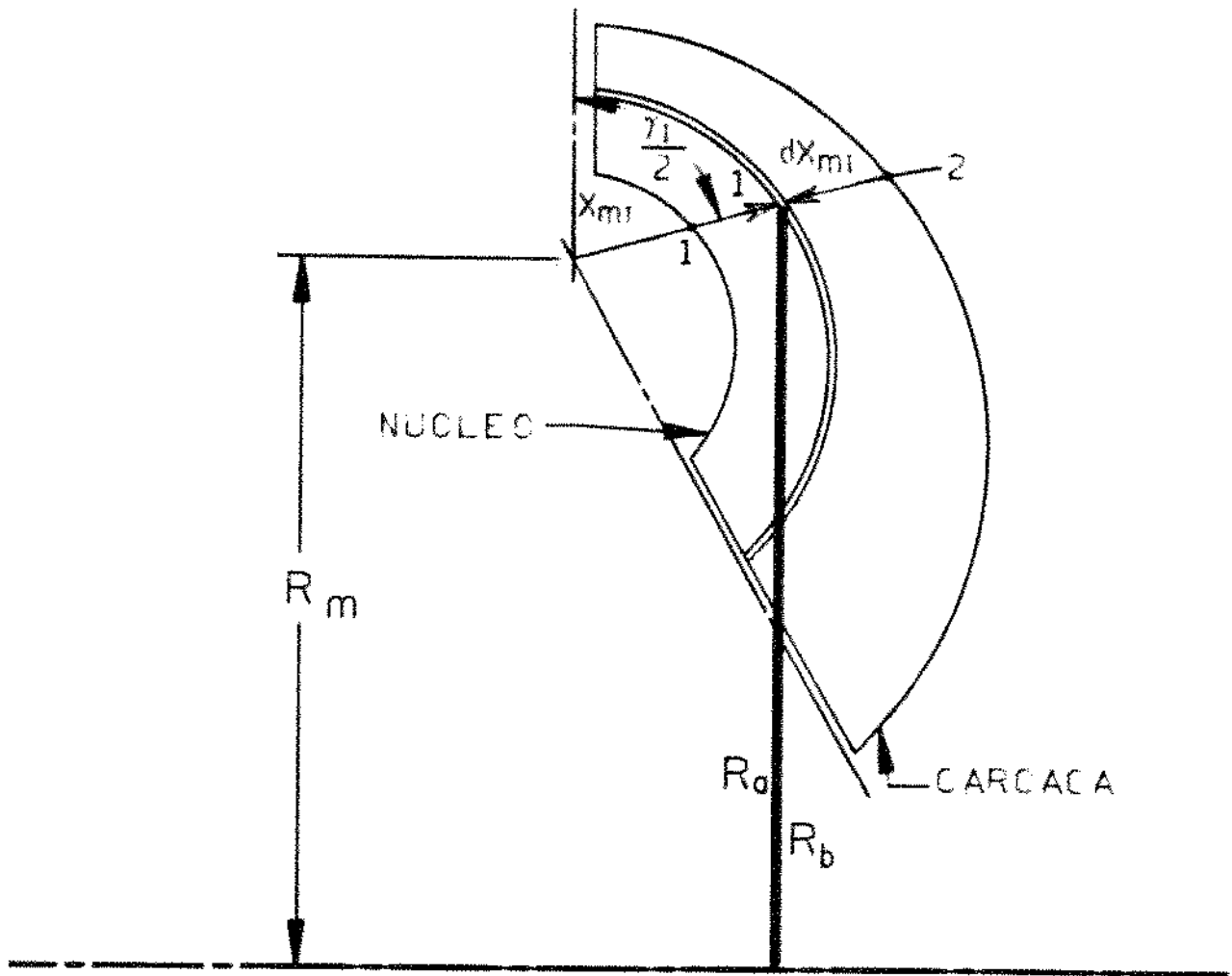


Figura 3.12 - Elemento de Área Lateral de um Tronco de Cone na Linha Média do Canal.

Tomando por base a Figura 3.11, o perímetro unitário para um elemento de tipo de corrente interior ( $P_{mi}$ ) é obtido da seguinte forma:

$$P_{mi} = 2 + z_1 \frac{dX_{mi}}{\sin \beta_{mi}} \quad (3.74)$$

onde  $z_1$  é o número de alíbatas.

Substituindo-se as equações (3.73) e (3.74) em (3.59), conclui-se que:

$$c_{mi} = \frac{4\pi (R_m + X_{mi} \cos(r_i/2))}{z_1} \cdot \operatorname{sen} \beta_{mi} \quad (3.75)$$

A vazão do elemento de massa  $\dot{m}_{mi}$  pode ser expressa de modo análogo à equação (3.28).

$$GK_{mi} = \frac{E\epsilon + G_{mi}}{\epsilon_m + K_{mi}} \left( \frac{\epsilon_m}{\epsilon_m + K_{mi}} \right) \frac{L_{mi} \cos(\beta_{mi}) / L}{\epsilon_m + K_{mi}} \quad (3.76)$$

Com as equações (3.67), (3.68), (3.75) e (3.76) em (3.67), tem-se:

$$\text{CP}_{Ami} = \frac{\frac{s}{\epsilon} + \beta_{mi} + f + \beta_1 + \frac{4}{\epsilon_m + K_{mi}} \cdot G_{mi}}{s \cdot \sin^4 \beta_{mi}} \quad (3.77)$$

Integrando-se a equação (3.71) para os valores de  $K_{mi}$  válidos no intervalo  $K_{mli} < K_{mi} < K_{mi2}$ , ou seja, pontos 1 e 2 (figura 3.11), obtém-se:

$$\text{CP}_{Ami} = \frac{f \cdot \beta_1 + R \cdot \beta_1}{2s \cdot \sin^4 \beta_{mi2}} \left( \frac{s}{K_{mi2}} + \frac{s}{K_{mli}} + s \right) \quad (3.78)$$

## 2. TUBOS DE CORRENTE EM CONTATO COM A SUPERFÍCIE DO NÚCLEO.

Procedendo-se da mesma maneira como foi desenvolvida a Etapa 1, é possível obter para um elemento de tubo de corrente em contato com o núcleo o caso por:

$$\text{CP}_{Amii} = \left( GK_{mi} \right)_i \cdot \frac{f L_{mi} \cdot W_{mi}^2}{\epsilon \cdot G_{mi}} \quad (3.79)$$

Da figura 3.11, tem-se que:

$$W_{mi2} = \frac{W_{mi1}}{\sin \beta_{mi}} \quad (3.80)$$

$$L_{mi2} = \frac{\beta_{mi1} \cdot f_1}{\sin \beta_{mi}} \quad (3.81)$$

O diâmetro hidráulico é obtido da equação:

$$c_{ml} = \frac{4 A_{ml}}{\rho_{ml}} \quad (3.82)$$

Utilizando-se a equação (3.70) pôde-se escrever,

$$A_{ml} = \pi R_m + x_{ml} \cos(\gamma_1/2) \cdot c_{ml} \quad (3.83)$$

Através de Figura 3.11, o perímetro molhado para um tubo de concreto em contato com a superfície do guincho é definido pela seguinte expressão:

$$P_{ml} = \frac{2\pi (R_m + x_{ml} \cos(\gamma_1/2))}{\operatorname{sen} \beta_{ml}} \quad (3.84)$$

Com as equações (3.83) e (3.84) em (3.82), tem-se:

$$c_{ml} = \pi \operatorname{sen} \beta_{ml} \cdot x_{ml} \quad (3.85)$$

Por intermédio da equação (3.29) pôde-se escrever

$$\dot{x}_{ml} = 2\pi \rho c_x (R_m + x_{ml} \cos(\gamma_1/2)) \omega \cdot x_{ml} \quad (3.86)$$

Substituindo-se (3.80), (3.81), (3.85), (3.86) em (3.79), obtém-se

$$P_{ml} = \frac{\pi \rho f (R_m + x_{ml} \cos(\gamma_1/2)) \omega^2 \cdot x_{ml}^4 \cdot \gamma_1}{\zeta \cdot \operatorname{sen}^4 \beta_{ml}} \quad (3.87)$$

### 3 - TUBO DE CORRENTE EM CONTACTO COM A SUPERFÍCIE DA CARCAÇA.

De modo análogo à Etapa 2, chegar-se-á a:

$$P_{Amix} = \frac{\pi p f (R_m + x_{m12} \cos(\gamma_1/2)) \omega^3 x_{mix}^4}{4 \operatorname{sen}^4 \beta_{mi}} \quad (3.88)$$

Somando-se as equações (3.78), (3.87) e (3.88), finalmente chegar-se-á à perda de potência devida ao atrito no impulsionador:

$$P_AI = P_{Am1} + P_{Am12} + P_{Am12}$$

portanto

$$P_{AI} = (C_{1A} + C_{2A}) \omega^3 \quad (3.89)$$

onde  $C_{1A}$  e  $C_{2A}$  são constantes que separam as características geométricas do impulsor.

$$C_{1A} = \frac{f_1 + Z_1 + \rho \gamma_1 (\frac{s}{x_{m12}} - \frac{s}{x_{m11}})}{8G \operatorname{sen}^4 \beta_{mi}}$$

e

$$C_{2A} = \frac{\pi p f \gamma_1}{4 \operatorname{sen}^4 \beta_{mi}} \left[ (R_m + x_{m12} \cos(\gamma_1/2)) x_{m11}^4 + \right. \\ \left. + (R_m + x_{m12} \cos(\gamma_1/2)) x_{m12}^4 \right]$$

### III.3.2.2. Perda por Atrito na Turbina.

Utilizando-se a Figura 3.13 e adotando-se o mesmo procedimento de cálculo da seção III.3.2.1, obtém-se a seguinte expressão para esta perda:

$$F_{AT} = C_{SA} + C_{4A} \frac{\theta}{R_m} \quad (3.81)$$

onde

$$C_{SA} = \frac{f \frac{Z_T}{2} \rho r_T}{2C \operatorname{sen}^4 \alpha_{mT}} \left( \frac{x_{mT4}}{x_{mT3}} - \frac{x_{mT2}}{x_{mT3}} \right) \quad (3.82)$$

$$C_{4A} = \frac{\pi R_m f \frac{Z_T}{2}}{4 \cdot 5 \cdot 6 \cdot 1 \cdot \frac{C}{\rho}} \left[ \left( R_m + x_{mT4} \cos(\alpha_T / 2) \right) x_{mT4}^4 + \left( R_m + x_{mT3} - \cos(\alpha_T / 2) \right) x_{mT3}^4 \right] \quad (3.83)$$

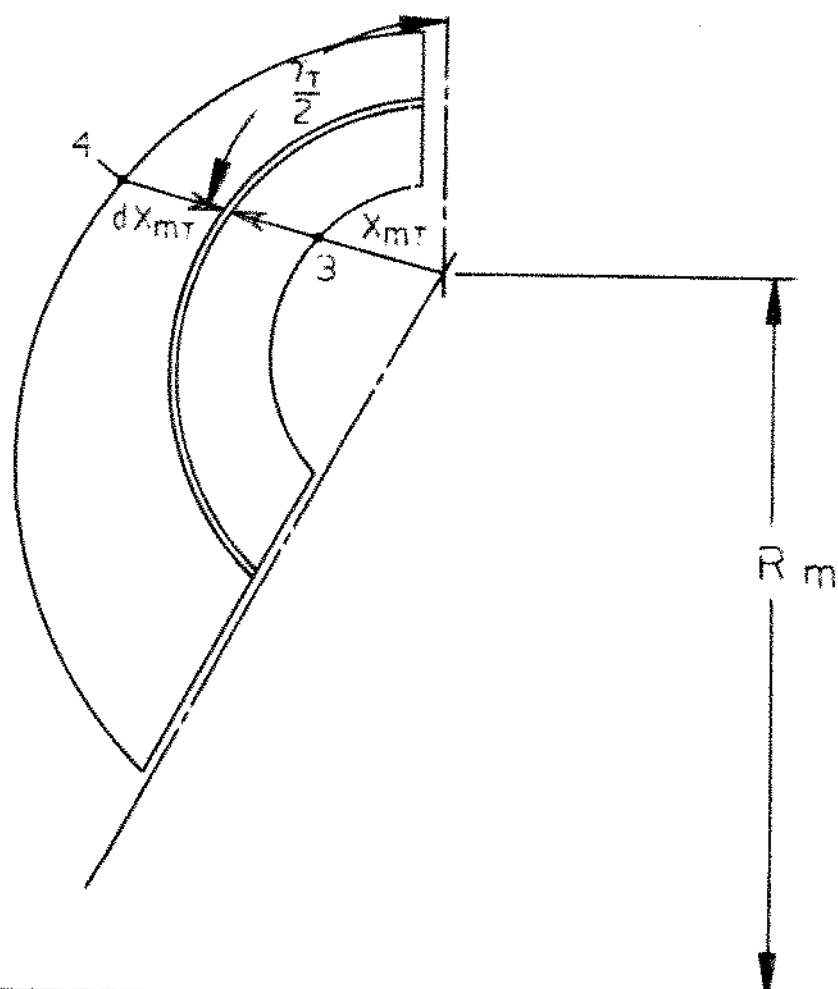


Figura 3.13 - Sistema de Coordenadas Adotado para a Perda de Atrito na Turbina

### III.3.2. Perdas por Atrito no Estator.

Estas perdas podem ser formuladas conforme a seção III.2.2.1 e com a Figura 3.16.

$$P_{AE} = (C_{SA} + C_{OA}) \omega^3 \quad (3.87)$$

onde

$$C_{SA} = \frac{Z_E P Y_E}{20 \operatorname{sen}^4 \beta_{mE}} (x_{mEO}^5 - x_{mES}^5)$$

$$\begin{aligned} C_{OA} = & \frac{\pi p f_i i_E}{4 \operatorname{sen}^4 \beta_{mE}} \left\{ \left[ R_m + x_{mEO} \cos(Y_E/2) + Y_I \right] x_{mES}^4 + \right. \\ & \left. + \left[ R_m + x_{mEO} \cos(Y_E/2) + Y_I \right] x_{mEO}^4 \right\} \end{aligned}$$

Após o equacionamento destas perdas, para cada elemento do conversor de torque, conclui-se que a perda total devido ao atrito pode ser expressa por

$$P_A = P_{AI} + P_{AT} + P_{AE} \quad (3.88)$$

Substituindo-se as equações (3.85), (3.86) e (3.87) em (3.88), chega-se a

$$P_A = C_A \omega^3 \quad (3.89)$$

onde  $C_A$  é uma constante, que só depende das características geométricas dos elementos do conversor de torque,

$$C_A = C_{IA} + C_{ZA} + C_{SA} + C_{AA} + C_{mA} + C_{mA} + C_{SA}$$

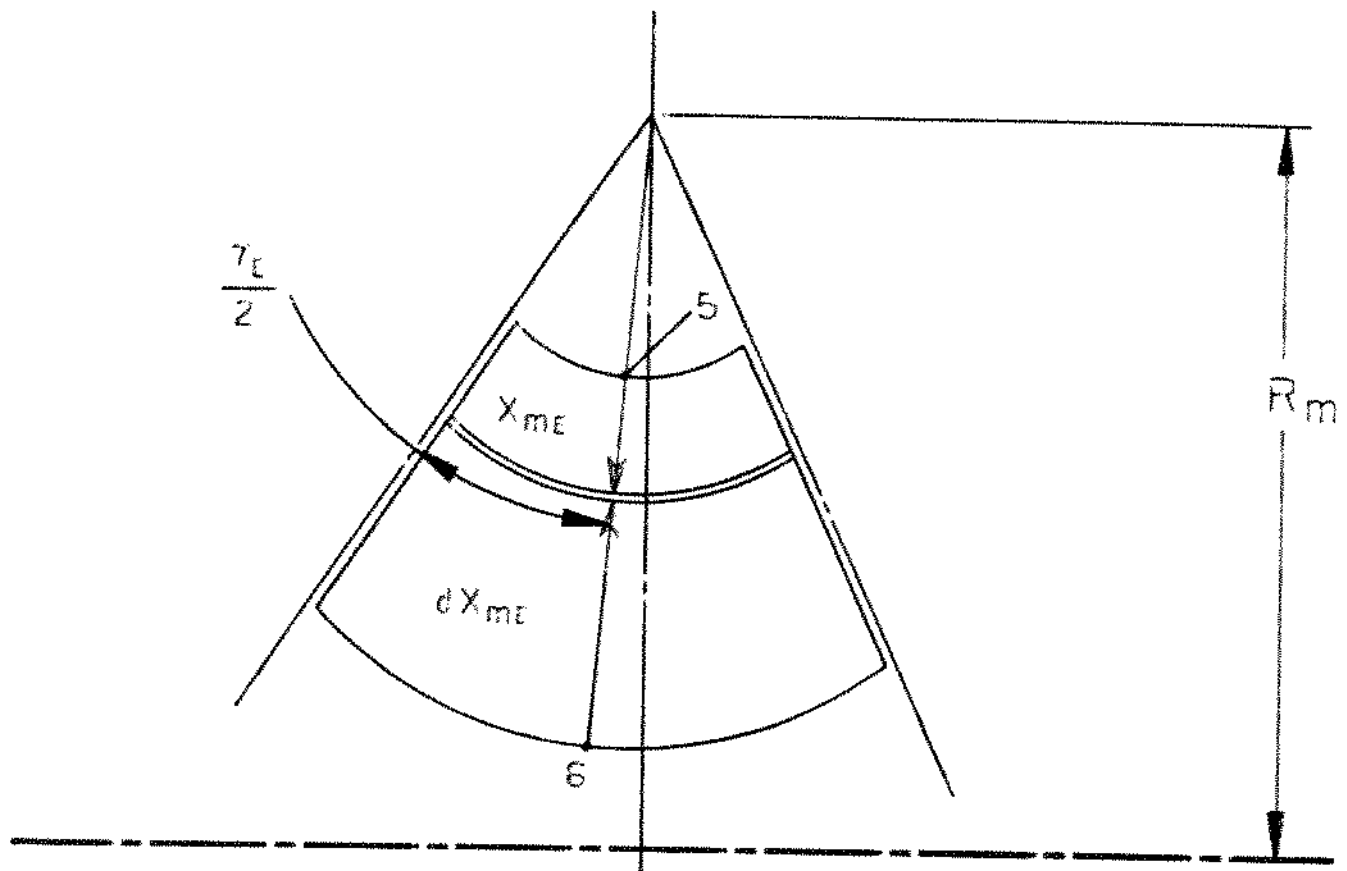


Figura 3.14 - Sistema de Coordenadas Acotado para a Posição Medida do Estator.

### III.3.3. PERDAS PÓS ESCOAMENTO SECUNDÁRIO.

Com o objetivo de equacionar as perdas de potência atribuídas ao escoamento secundário para cada elemento do conversor de torque, aplicar-se a equação (2.35) a um tubo de corrente integradora de modo similar ao apresentado na secção III.3.2.

#### III.3.3.1. Perdas por Escoamento Secundário no Impulsor.

Considerando-se à figura 3.11, pode-se expressar a potência dissipada em um tubo de corrente como sendo

$$\delta P_{SI} = \dot{m}_{mi} \left( \frac{V_I^2}{\pi/2} + K_s \frac{\omega_{mi}^2}{2} \right) \quad (3.84)$$

onde, neste caso,  $V_I$  corresponde ao ângulo de deflexão da curva ( $\theta_I$ ), como foi visto na secção III.3, e  $K_s$  é um coeficiente empírico que depende da geometria do conversor de torque.

mas

$$\dot{m}_{mi} = \rho \omega x_{mi}$$

e

$$\dot{m}_{mi} = \rho \pi p_0 A_{mi} (R_m + x_{mi} \cos(\theta_I/\pi)) \omega x_{mi} \quad (3.85)$$

Assim, pode-se escrever:

$$\delta P_{SI} = \rho \pi p_0 \omega^2 x_{mi}^3 + \frac{V_I^2}{\pi} \cdot K_s (R_m + x_{mi} \cos(\theta_I/\pi)) A_{mi} \quad (3.86)$$

Integrando-se a equação (3.86) para  $x_{mi}$  variando no intervalo  $x_{mi1} \leq x_{mi} \leq x_{mi2}$ , obtém-se

$$P_{SI} = C_{IS} \omega^3 \quad (3.87)$$

onde  $C_{1S}$  é uma constante que só depende das características geométricas do impulso.

$$C_{1S} = E \cdot P \cdot Y_1 \cdot K \left[ \frac{R_m}{4} \left( x_{m12}^4 - x_{m11}^4 \right) + \frac{\cos(\varphi_T / 2)}{5} \left( x_{m12}^5 - x_{m11}^5 \right) \right]$$

### III.3.3.2. Perdas por Escoamento Secundário no Túnel.

Formulando-se estas perdas de maneira similar à desenvolvida na secção III.3.3.1, e utilizando-se da Figura B.18, chega-se a

$$P_{ST} = C_{2S} \omega^3 \quad (3.95)$$

onde

$$C_{2S} = E \cdot P \cdot Y_1 \cdot K \left[ \frac{R_m}{4} \left( x_{mT4}^4 - x_{mT3}^4 \right) + \frac{\cos(\varphi_T / 2)}{5} \left( x_{mT4}^5 - x_{mT3}^5 \right) \right]$$

### III.3.3.3. Perdas por Escoamento Secundário no Estator.

Por intermédio da Figura B.19, e do desenvolvimento da secção III.3.3.1, obtém-se a seguinte expressão para a potência dissipada devido ao escoamento secundário no estator:

$$P_{SE} = C_{3S} \omega^3 \quad (3.96)$$

onde

$$C_{3S} = E \cdot P \cdot Y_E \cdot K \left[ \frac{R_m}{4} \left( x_{mEO}^4 - x_{mES}^4 \right) + \frac{\cos[(\varphi_E / 2) + \varphi_T]}{5} \left( x_{mEO}^5 - x_{mES}^5 \right) \right]$$

Somando-se as equações (3.95), (3.97) e (3.98), obtém-se a perda total por escoamento secundário:

$$P_S = P_{SI} + P_{ST} + P_{SE}$$

portanto

$$P_S = C_S \omega^3 \quad (3.98)$$

onde

$$C_S = C_{1S} + C_{2S} + C_{3S}$$

Após o desenvolvimento da formulação para se estimar as perdas que ocorrem no conversor de torque, posse-se então, para a velocidade angular do fluido circulante ( $\omega$ ),

Assim, substituindo-se as expressões (3.65), (3.93) e (3.99) em (3.46), tem-se que:

$$P_{TOT} = C_S \omega + C_\phi \omega^2 + C_T \omega^3 \quad (3.100)$$

onde

$$C_S = C_{1S} \omega_I^2 + C_{4S} (\omega_I - \omega_T)^2 + C_{5S} \omega_T^2$$

$$C_\phi = -(C_{2S} \omega_I - C_{5S} (\omega_I - \omega_T) - C_{6S} \omega_T)$$

$$C_T = C_{3S} + C_{6T} + C_{9S} + C_A + C_S$$

Com a equação (3.100) em (3.47), tem-se

$$C_T \omega^3 + \left[ \left( C_2 - C_4 - \frac{\omega_T}{\omega_I} \right) \omega_I - C_\phi \right] \omega^2 + \left[ \left( C_2 - C_4 - \frac{\omega_T}{\omega_I} \right) \omega_I^2 - C_S \right] \omega = 0$$

Considerando-se

$$\mu = \left[ \left( C_2 - C_4 - \frac{\omega_T}{\omega_I} \right) \omega_I - C_\phi \right]$$

$$0 = \left[ \left( C_1 + C_2 - \frac{\omega_T}{\omega_1} \right) \omega_1^2 + C_3 \right]$$

$$\text{Logo } C_2 \omega^2 + A \omega^2 + B \omega = 0$$

Colocando-se o em evidencia tem-se:

$$\omega (C_2 \omega^2 + A \omega + B) = 0 \quad (3.101)$$

Resolvendo a equação (3.101) e desprezando-se as soluções nula e negativa, que não interessam nesse estudo, facilmente chegará à expressão (3.102) com a qual poderá calcular a velocidade angular ( $\omega$ ).

$$\omega = \frac{A + \sqrt{A^2 + 4 C_2 B}}{2 C_2} \quad (3.102)$$

## CAPÍTULO IV

## IV. PARTE EXPERIMENTAL

### IV.1. INTRODUÇÃO

A parte experimental desta tese foi realizada no "Clark Laboratory Services" - GLS, na cidade de Buchanan, estado de Michigan, Estados Unidos. Ali, durante três semanas, foram acompanhados os testes que são executados para avaliação de um conversor de torque.

Como um laboratório de serviços, o GLS presta serviços extensos, que sobretudo atende a Engenharia de Projeto e às Fábricas da Clark espalhadas pelo mundo, atendendo nas seguintes áreas:

- 1 - Estruturas e Testes de Campo;
- 2 - Engenharia de Análise;
- 3 - Metalúrgica e Química;
- 4 - Optoelétrônica e
- 5 - Instrumentação e Hidráulica.

As fotos 4.1, 4.2 e 4.3 mostram algumas áreas do GLS.

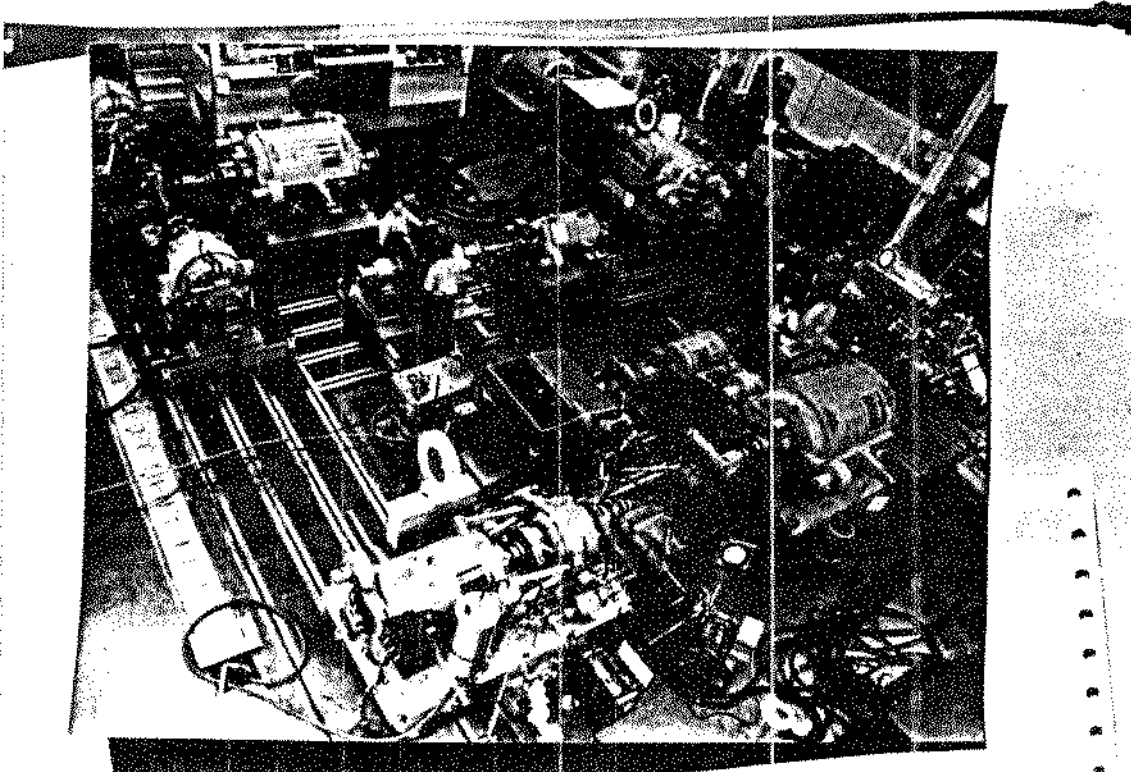


Foto 4.1 - Vista Superior da Área de Ensaio de Óptica e Óptico - Observação no Conversor de Torque sendo Preparado para o Ensaio.

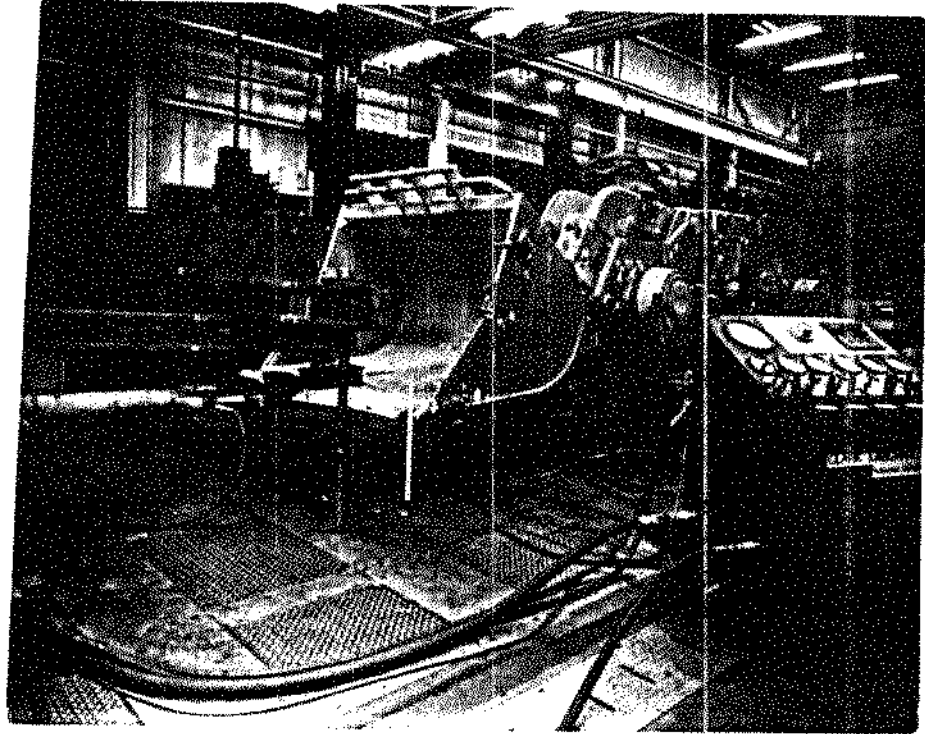


Foto 4.2 - Da Carregadeira Instrumentada para a Realização de Testes Estruturais.

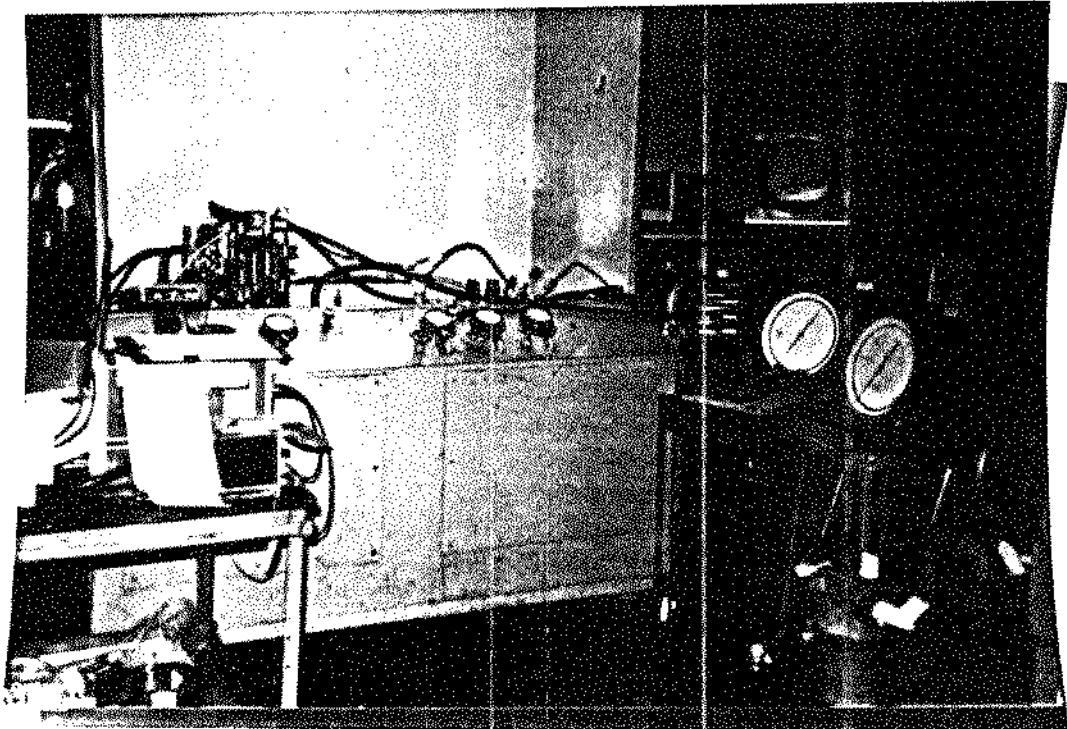


Foto 23 - Vista lateral da Subunidade de Hidráulica.

No parte da Estruturação e Testes de Componentes, o GLB desenvolveu um teste experimental de tensão, testes de fadiga e durabilidade, método de medição de deformação e constância, programação da indução de peso, testes antecedenis de durabilidade, sincronização de operações, avaliação do desempenho e teste para avaliação da confiabilidade do produto.

As atividades da Engenharia de Análise envolvem: dragão-fuso e gancho de vibração e ruído, teste de vibração, análise modal, análise pelo método dos elementos finitos, desenvolvimento de "software", estudo para montagem dinâmica, além de cálculos educativos.

Na Metatecnologia e Química, o GLB realiza avaliação de materiais térmicos; determinação de propriedades física, química e mecânica, determinação da composição de materiais, bem como pesquisa e

desenvolvimento para aplicação de materiais alternativos.

Na área Dinamométrica são feitos: testes de desempenho e durabilidade em transmissões, eixos, conversores de torque, sistemas de frenagem e motores elétricos; estudos em sistemas de resfriamento; simulação das características de operação; estudo do ciclo de vida e simulação Inercial.

Em Instrumentação e Hidráulica, o CLS atua com projeto e construção de células de carga; projeto e construção de instrumentação específica; consultoria e treinamento em instrumentação; testes de desempenho e durabilidade em válvulas hidráulicas pneumáticas; avaliação em sistemas hidráulicos e testes em cilindros, filtros, pistões e outros componentes.

Os equipamentos existentes no CLS encontram-se relacionados na referência [16].

#### IV.2. EQUIPAMENTOS E INSTRUMENTOS

Para a realização dos ensaios o CLS mantém os seguintes equipamentos e instrumentos.

1 - Motor e gerador com velocidades variáveis capazes de atingir velocidades de 3000 rpm e potência mínima de 300 Hp. As fotos 4.4 e 4.5 mostram as curvas características dos dezoito motores e geradores existentes no CLS.

2 - Um sistema independente de fornecimento de óleo capaz de operar nas seguintes condições:

2.1 - Vazão variando entre 5 e 50 lpm.

2.2 - Pressões de até 60 pse

2.3 - Temperaturas variando entre 80 e 110° C.

As fotos 4.6, 4.7, 4.8 e 4.9 ilustram este sistema de carga.

3 - Instrumentação para medição da temperatura, pressão e vazão de óleo, de entrada e saída, dos conversores de torque.

**CLARK**

## DYNAMOMETER MOTORING CHARACTERISTICS

CORPORATE ENGINEERING TEST LABORATORY  
CLARK EQUIPMENT COMPANY - BUCHANAN, MICHIGAN

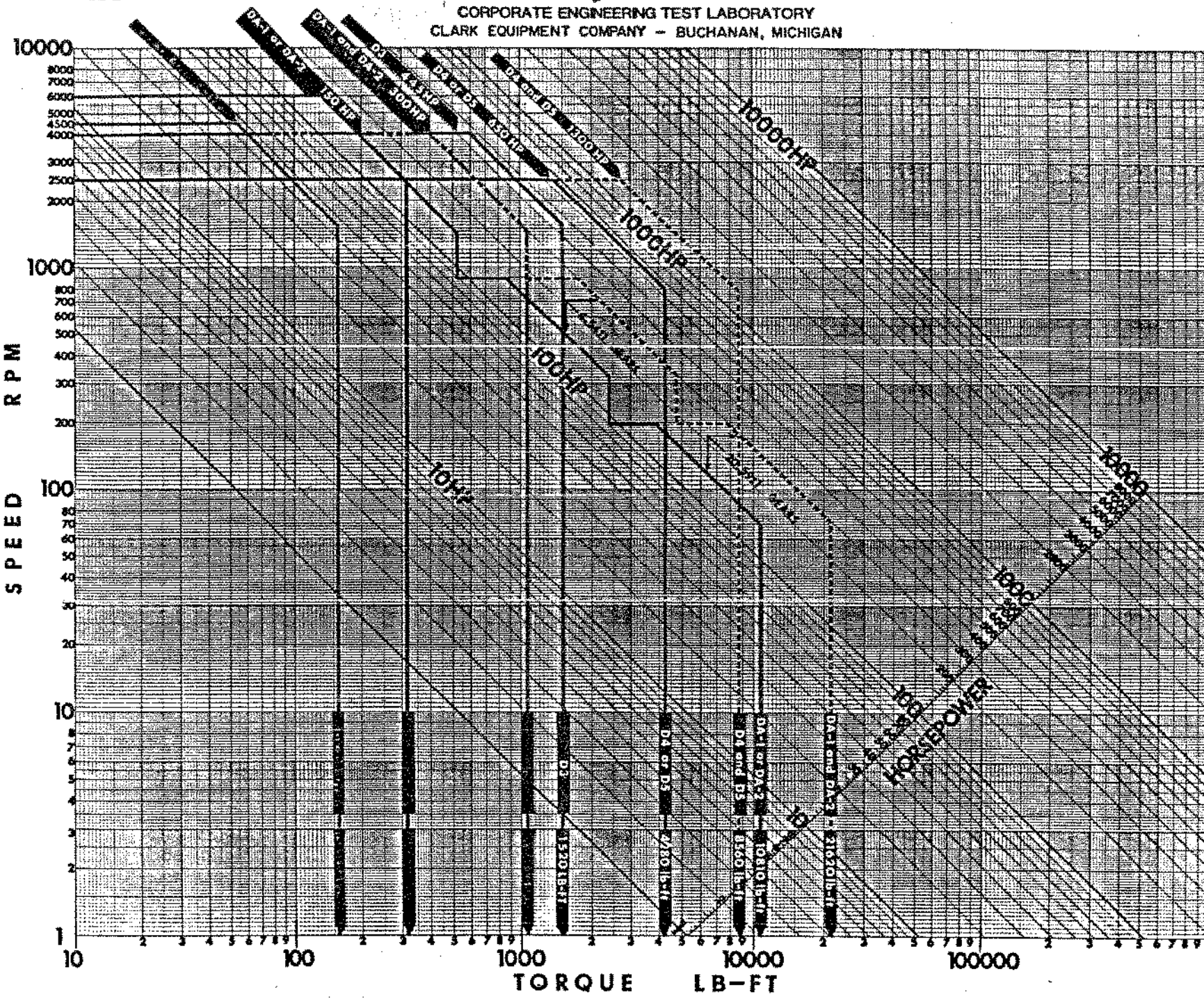


Foto 4.4 - Curva Característica dos Motores.

**CLARK**

## DYNAMOMETER

## ■ CHARACTERISTICS

CORPORATE ENGINEERING TEST LABORATORY  
CLARK EQUIPMENT COMPANY - BUCHANAN, MICHIGAN

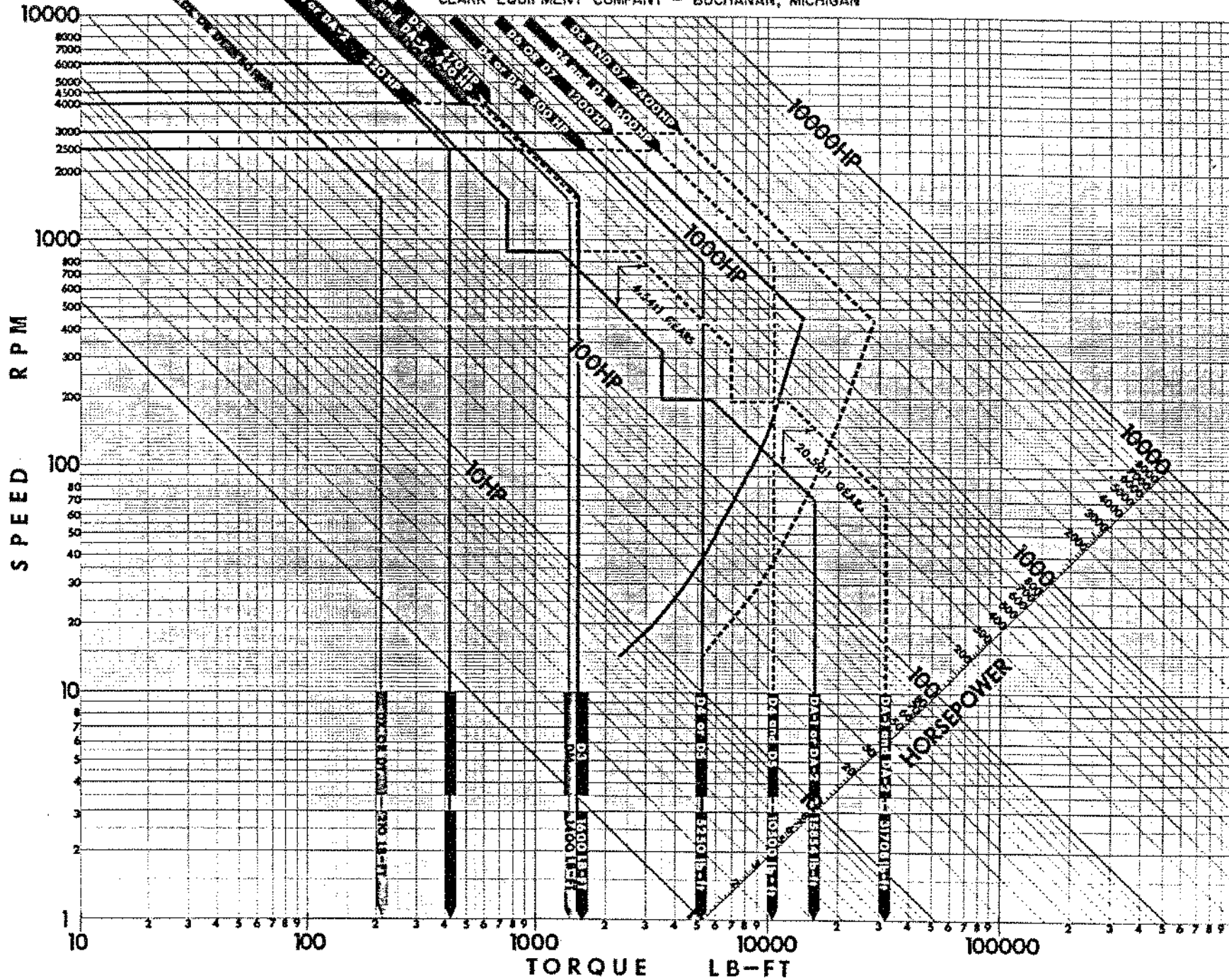


Foto 4.5 - Curva Característica dos Geradores.

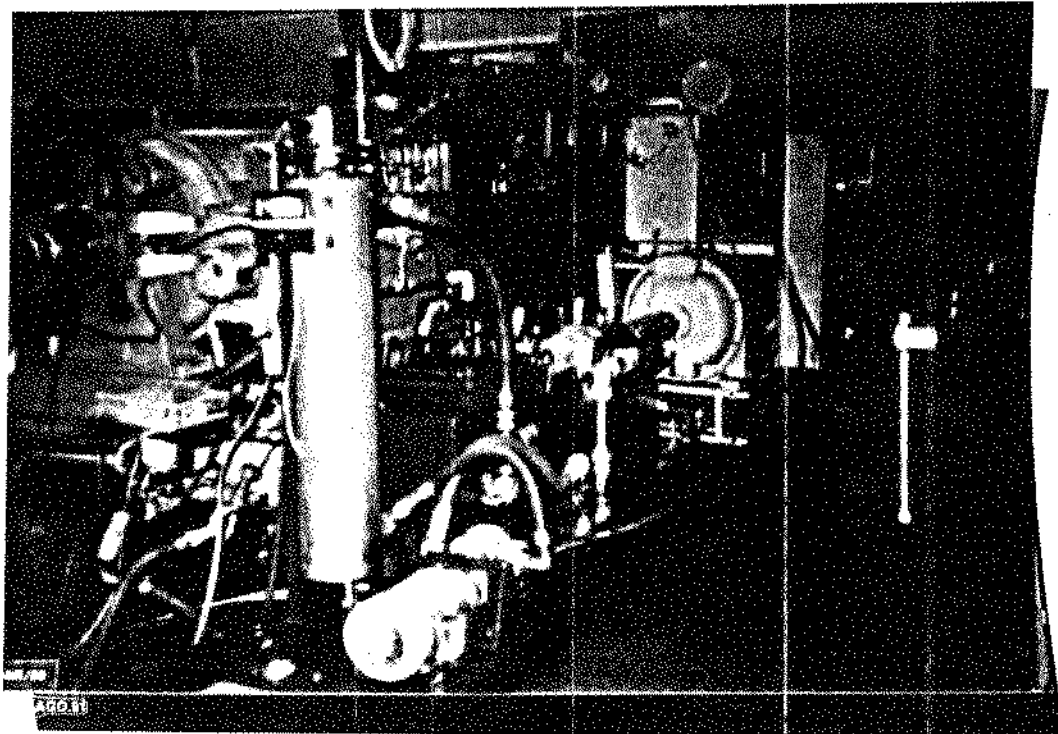


Foto 4.6 Vista Parcial do Sistema de Carga.

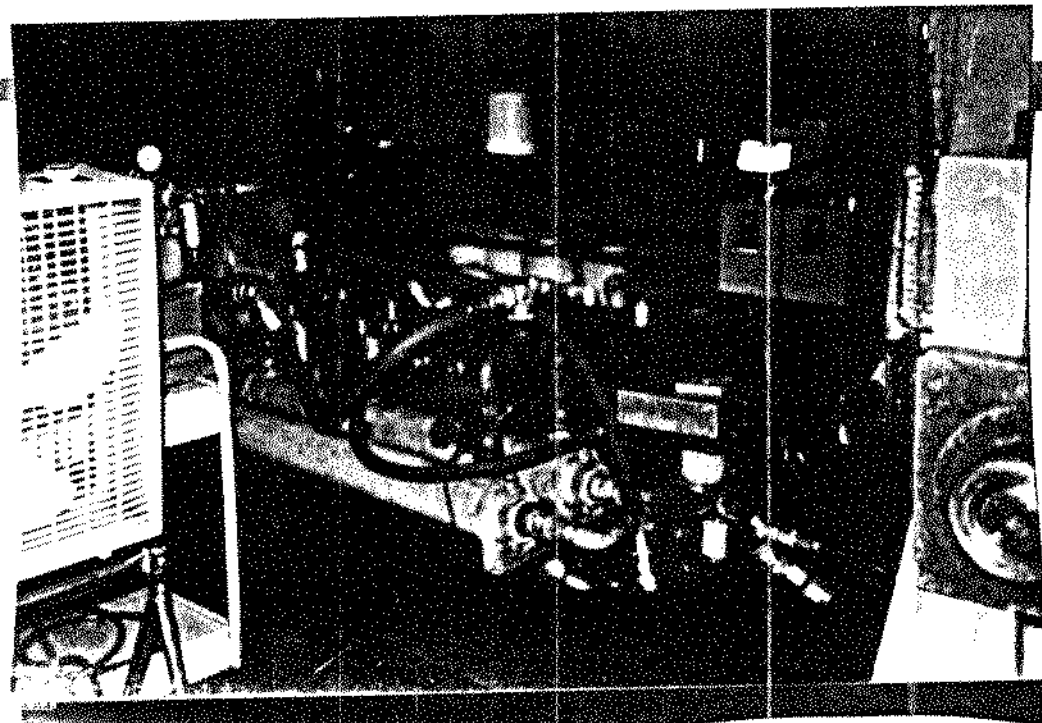


Foto 4.7 Detalhe dos Encadadores da Galeria.

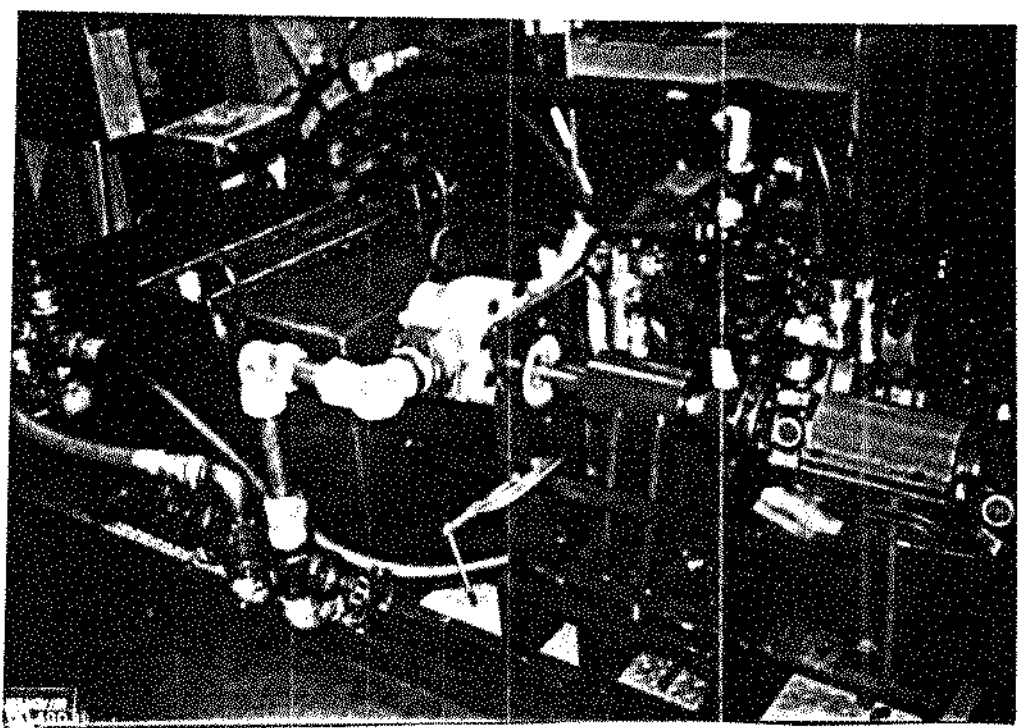


Foto 4.8 - Detalhe da Bomba de Alimentação e Reservatório.

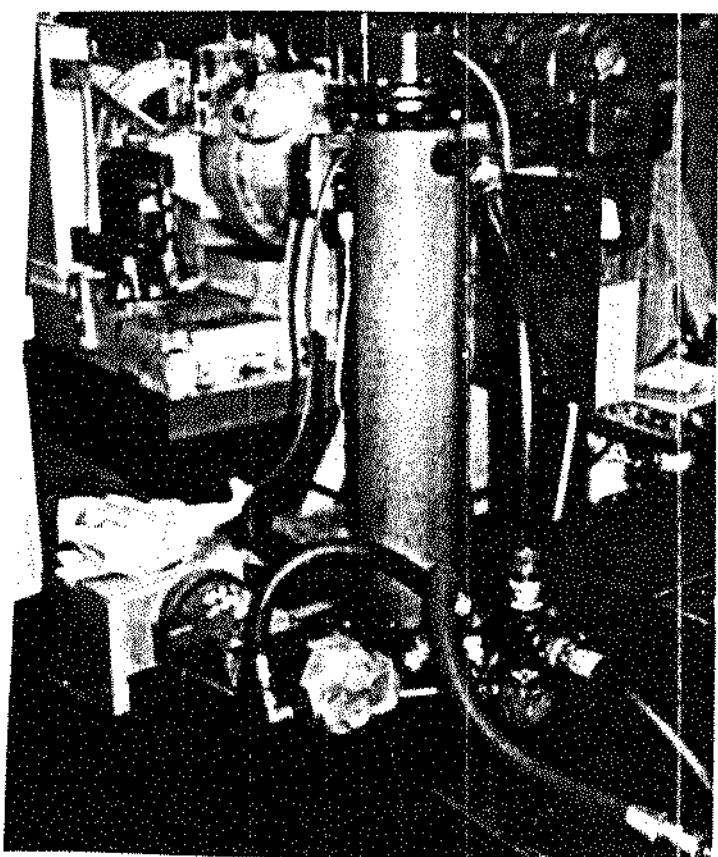


Foto 4.9 - Detalhe do Aquecedor.

Para efetuar as medições o GES utiliza os seguintes instrumentos:

- 3.1 Temperaturas - Termopares e indicadores digitais capazes de operar na faixa entre 10 a 160°C e com precisão de  $\pm 1^\circ\text{C}$ .
  - 3.2 Pressões - Medidores de pressão que trabalham entre 0 e 200 PSI e com precisão de  $\pm 1.0$  PSI.
  - 3.3 Vazões - Medidores de vazão tipo turbina e indicadores que operam entre 5 a 50 gpm e com precisão de  $\pm 2\%$ .
- 4 Instrumentação para medição de torque e rotação de entrada e saída, com precisão de  $\pm 0,5\%$  do fundo de escala em sistema de aquisição dos dados.

Em nosso ensaio foram utilizadas torquimetros e células fotoelétricas que podem ser observadas nas fotos 4.10 e foto 4.11.

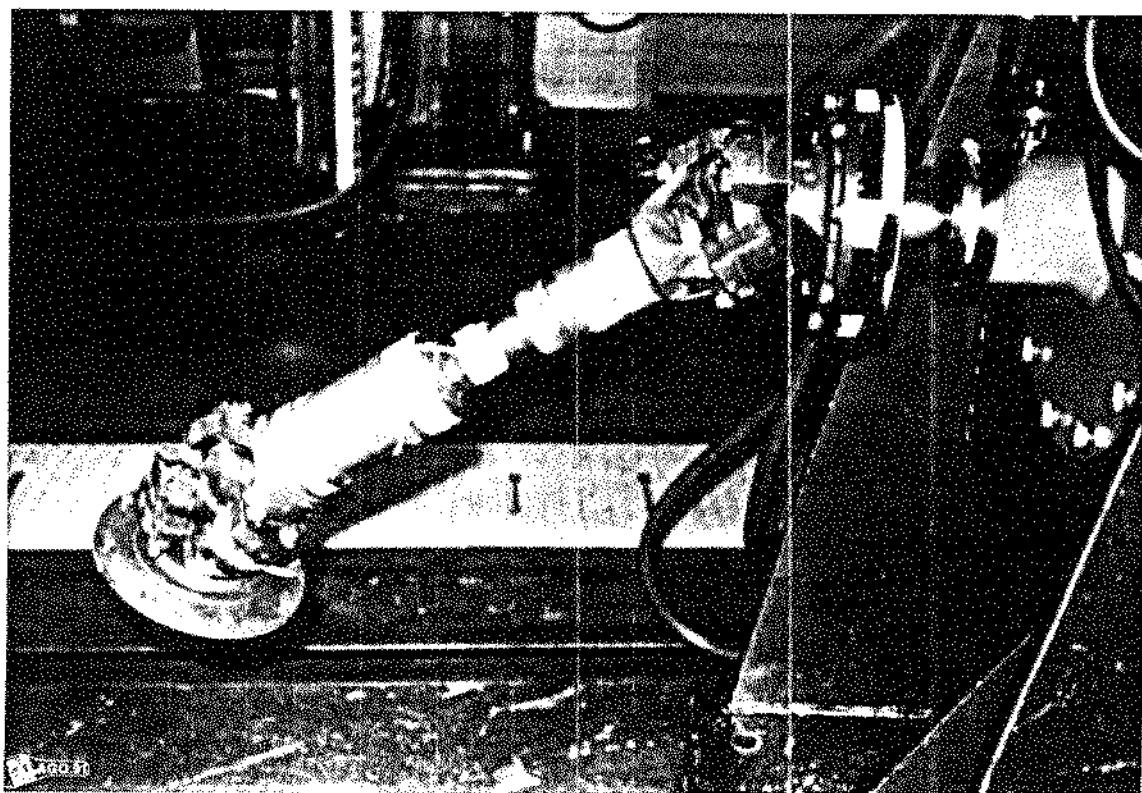


Foto 4.10 - Vista Lateral do Torquimetro.

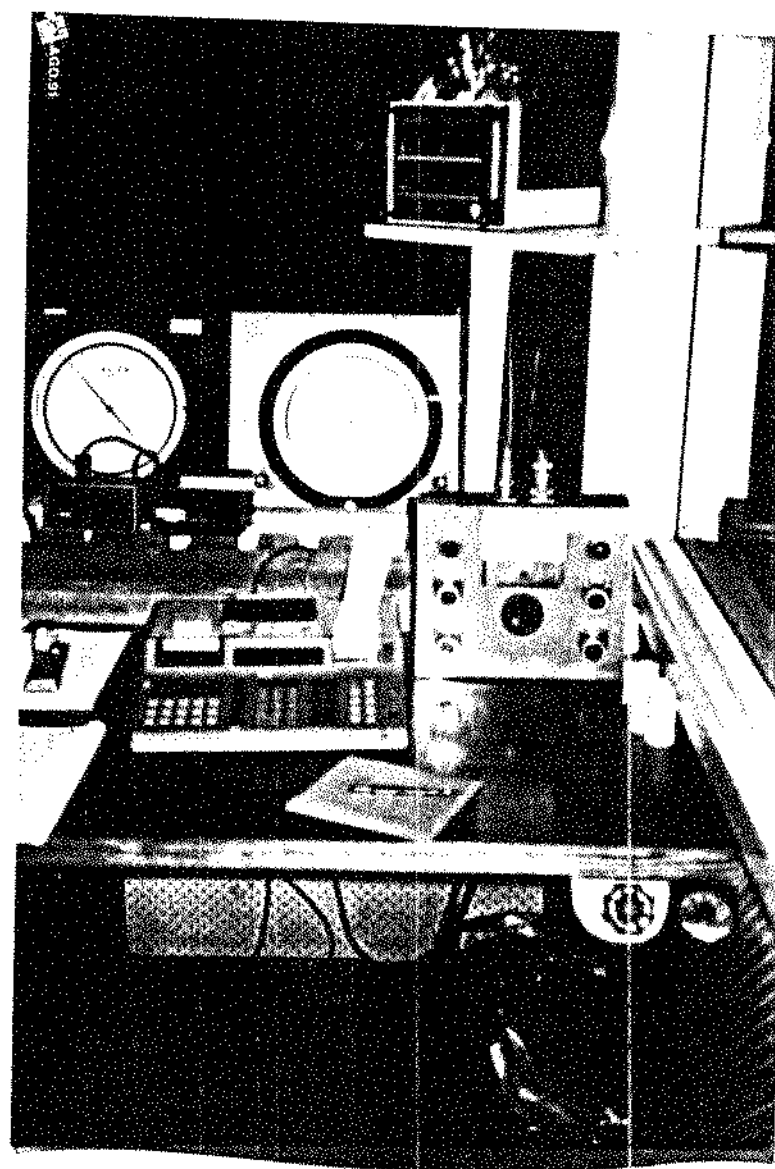


Foto 4.111 - Detalhe do Sistema de Aquisição dos Dados.

5 - Acessórios: adaptadores, mangueiras, flanges e outros, ver foto 4.12.

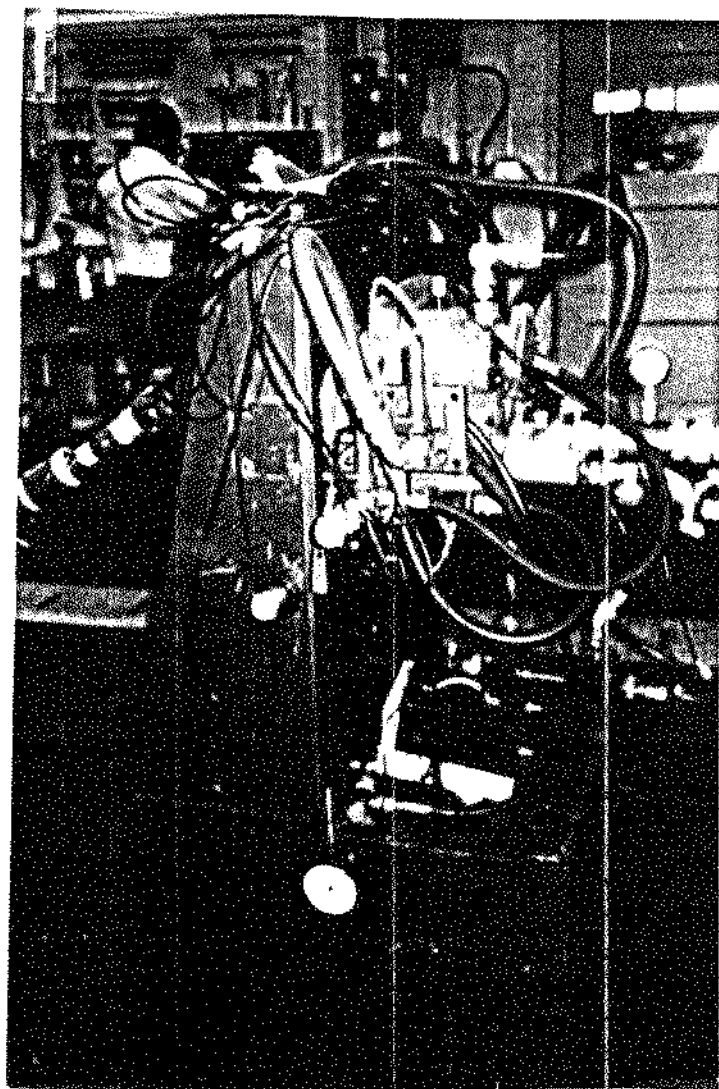


Foto 4.12 - Vista Lateral da Preparação de um Conversor de Torque

#### IV.3. DESCRIÇÃO DOS TESTES EFETUADOS

Como foi comprovado, há uma grande variedade de testes que podem ser realizados com os conversores de torque - Vide ref. [17]. Mas aqui serão abordados os testes padrão para avaliação de desempenho executados durante a fase de experimento no CLS , envolvendo o conversor CLARK 12.2 , cujos resultados foram utilizados nesta tese . Todos os ensaios foram desenvolvidos com equipamentos e instrumentos da seção IV.2 mantendo-se a temperatura do óleo em  $95^{\circ}\text{C}$   $\pm 5^{\circ}\text{C}$ ; a pressão de saída do conversor em 50 PSI  $\pm 2$  PSI e a vazão de entrada em 12,5 gpm  $\pm 0,2$  gpm.

##### IV.3.1 Teste para Avaliação do Desempenho em Condições Normais de Operação.

Estes testes foram executados com a velocidade de entrada constante e correspondente a 2400 rpm e com a velocidade de saída variando de 0 até a velocidade na qual o torque de saída é nulo, com incrementos de 240 rpm.

##### IV.3.2. Teste para Avaliação do Desempenho com a Velocidade de Saída Nula.

Este teste foi realizado com a velocidade de entrada variando de 2600 até 400 rpm, com decrementos de 200 rpm, e o eixo de saída bloqueado.

##### IV.3.3. Testes para Avaliação do Desempenho com o Torque de Saída Nulo

A velocidade de entrada variou de 2600 até 400 rpm, com decrementos de 200 rpm, enquanto a velocidade de saída variou para obter o torque de saída nulo.

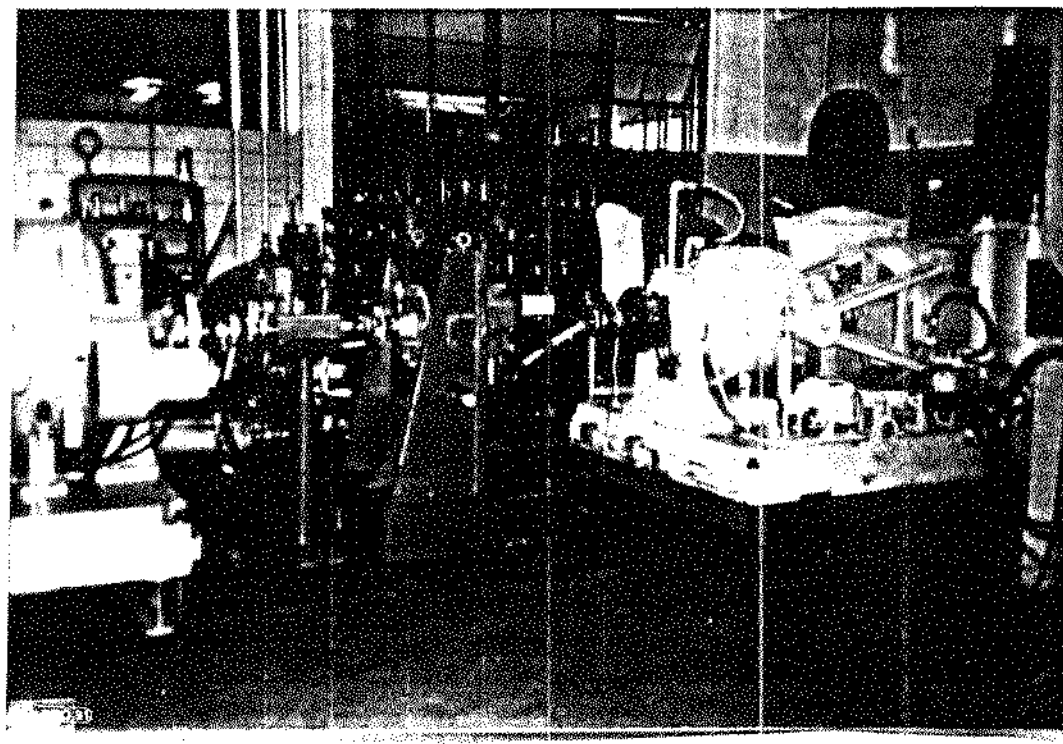


Foto 9.13 - Vista Lateral do Conversor Montado entre o Gerador e o Motor.

#### IV.4. RESULTADOS OBTIDOS

Por serem de uso unicamente interno, os dados resultantes das curvas (Tabela IV.1) não apresentados aqui de forma restrita, limitando-se às necessidades deste estudo.

TABELA IV.1 - DADOS EXPERIMENTAIS PARA CONVERSOR - CLARK 12.2

RELAÇÃO DE VELOCIDADE $(\omega_T / \omega_I)$	RELAÇÃO DE VELOCIDADE $(T_T / T_I)$	EFICIÊNCIA
.000	2.862	0
.100	2.572	26.7
.200	2.271	45.4
.300	2.007	60.2
.400	1.770	70.8
.500	1.556	77.8
.600	1.374	82.4
.650	1.289	83.8
.700	1.206	84.4
.750	1.120	84.0
.800	1.024	81.9
.850	.912	77.5
.900	.791	71.2
.950	.660	62.7
1.000	0	0

## C A P I T U L O V

## V. SIMULAÇÃO E DISCUSSÃO DOS RESULTADOS

### V.1. SIMULAÇÃO

O sistema desenvolvido para simular o desempenho do conversor de torque tem como objetivo básico manipular os dados de entrada, que são as diversas variáveis presentes nas equações (3.5, 3.42, 3.43, 3.65, 3.93, 3.99, 3.102) do Capítulo III, e oferecer os valores de relação de torque e eficiência para as diversas relações de velocidade e as perdas de potência. Todos os resultados dessa simulação estão mostrados nas Figuras 5.2, 5.3, 5.4 e 5.5.

A linguagem de programação utilizada foi a Turbo Pascal, por ser uma linguagem capaz de ser aplicada igualmente a problemas simples e avançados.

Abaixo, seguem as expressões analíticas para as coordenadas dos diagramas comparativos apresentados neste capítulo.

$$\text{Relação de velocidade} = \frac{\omega_T}{\omega_I}$$

$$\text{Relação de torque} = \frac{T_T}{T_I}$$

$$\text{Eficiência} = \frac{T_T \omega_T}{T_I \omega_I}$$

### V.2. DISCUSSÃO DOS RESULTADOS

A seguir, são apresentados os resultados obtidos por este modelo denominado "Clark-Brasil", pelo modelo da engenharia de projeto da "Clark-USA" e compara-se os resultados destes modelos teóricos com a medição experimental realizada nos Estados Unidos.

Vale ressaltar que os dados obtidos do modelo "Clark-USA" são originários de um programa de computador para avaliação de desempenho (Ref. [27 e 32]), desenvolvido a partir do modelo de Upton [7]. Este considera a velocidade do fluido constante ao longo da linha média de

corrente e desenvolve todo o equacionamento nesta linha média, como pode ser observado na Figura 5.1.

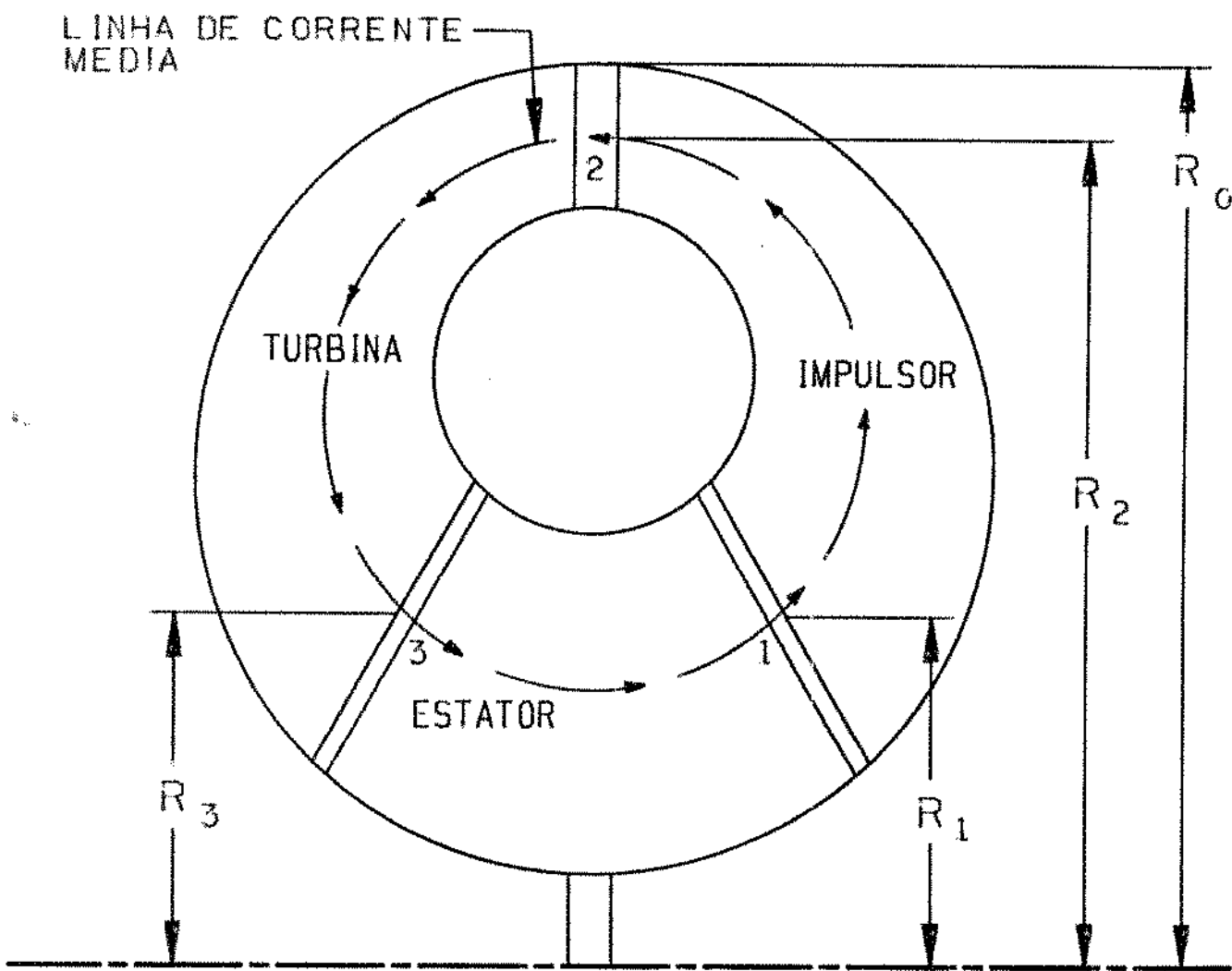


Figura 5.1 - Secção Tóroidal Mostrando uma Linha de Corrente Média

A avaliação das perdas em função da relação de velocidade computada pelo modelo "Clark-Brasil" é mostrada nas Figuras 5.2 e 5.3. Nestas, no eixo horizontal são plotadas as relações de velocidade e no eixo vertical mostra-se em termos percentuais a contribuição de cada perda. Considera-se a condição de perda total quando o eixo de saída ficar bloqueado, isto é, cem por cento das perdas ocorrendo para a relação de velocidade igual a 0.

Da Figura 5.2 podemos notar que a soma das perdas é mínima na faixa de projeto dos conversores de torque, isto é, para as relações de velocidade de 0,6 à 0,8. Para as faixas de relação de velocidade mais alta e mais baixa as perdas aumentam, principalmente devido a contribuição das perdas por choque. Isto pode ser explicado pela não coincidência da direção da velocidade relativa com o ângulo das aletas ( $\beta$ ) nas secções de entrada do impulsor, turbina e estator. O que acaba provocando portanto perdas por choque hidrodinâmico que resultam em altas perdas de potência. Uma solução para minimizar esta perda seria utilizar aletas móveis, onde fosse possível variar a sua inclinação em função das relações de velocidade. Entretanto, isto pode não ser justificável em função da pouca utilização dos conversores fora da sua faixa de projeto. As perdas por atrito também variam, mas em menor grau. Pode-se notar que estas perdas são altas nas faixas de relação de velocidade baixa. Pelo fato que neste regime existe alta turbulência, provocando maiores vorticidades que absorvem mais energia. Este fenômeno é bastante reduzido no caso de alta relação de velocidade, pela redução substancial destas vorticidades. As perdas por escoamento secundário são de modo geral bastante pequenas e podem ser desprezadas numa primeira aproximação sem afetar os resultados finais.

Na Figura 5.3 observamos de forma gráfica a variação contínua das perdas em função das relações de velocidade, onde pode-se notar de forma clara os efeitos discutidos na Figura 5.2. Infelizmente, não são disponíveis os resultados sobre as perdas para o modelo "Clark-USA".

A Figura 5.4 mostra uma comparação das eficiências obtidas a partir dos modelos "Clark-Brasil" e "Clark-USA" e das medidas experimentais. Como se pode verificar, os dois modelos numéricos têm um comportamento geral similar, mostrando as mesmas tendências com os resultados experimentais. Nota-se também que o modelo "Clark-USA"

prevê perdas menores, resultando em um comportamento superior às medidas experimentais para todas as relações de velocidade, incluindo, obviamente a faixa de projeto. O modelo "Clark-Brasil" mostra um comportamento tecnicamente superior ao modelo "Clark-USA", especialmente na faixa de projeto entre as relações de velocidade de 0,5 à 0,8. É que aí as curvas deste modelo coincidem com a experimental, indicando que a sua previsão para esta faixa é extremamente correta. Isto também indica que os modelos hidrodinâmicos propostos para a avaliação das perdas são adequadas. Para relações de velocidade abaixo de 0,5 as perdas previstas pelo modelo "Clark-Brasil" são maiores do que são as medidas experimentais. De um modo geral, isto é bom porque as previsões terão uma margem de segurança, o que aumenta o nível de confiabilidade do conversor de torque. A previsão de altas perdas para esta faixa abaixo de 0,5, é causada pelo aumento excessivo das perdas por choque, baseado-se no fato de que este modelo adota um perfil linear de velocidade, enquanto que o perfil real não é linear e portanto as perdas reais são menores do que as previstas por este modelo. Esta situação pode ser resolvida fazendo-se medições experimentais específicas e ajustando-se o modelo das perdas até coincidir com os resultados de testes para esta faixa de relação de velocidade. Para a faixa de relação de velocidade acima de 0,8 o modelo "Clark-Brasil" mostra eficiências maiores e portanto perdas menores que as medidas experimentais. Isto significa que este necessita de um ajuste experimental e analítico em relação às perdas por atrito, pois a contribuição destas é um pouco menor do que o esperado. É importante observar que este ajuste no modelo das perdas por atrito deve ser feito de forma cuidadosa, usando-se modelagem correta para os efeitos da camada limite e avaliação experimental dos fatores de atrito interno.

A Figura 5.5 mostra um gráfico comparativo da relação de torque em função da relação de velocidade para os modelos "Clark-Brasil" e "Clark-USA" e as medidas experimentais. Como pode ser verificado os modelos se comportam de modo geral, de maneira similar às medidas experimentais. Entretanto, o modelo "Clark-USA" apresenta resultados maiores para a relação de torque do que as medidas experimentais. Isto caracteriza um modelamento inadequado das perdas hidrodinâmicas nesse caso. Os resultados do modelo "Clark-Brasil" coincidem com as medidas

experimentais na faixa de 0,5 a 0,9. Isto indica que os modelos das perdas são adequados para o comportamento hidrodinâmico real do conversor de torque dentro da faixa de projeto. Para as relações de velocidade, de 0 até 0,5, as relações dos torques por este modelo são menores do que as medidas experimentais. Isto, de um modo, é bom aumentando a confiança do conversor. Tecnicamente esta diferença pode ser reduzida adotando modificações nos modelos das perdas baseada em medida experimentais e uma modelagem mais real para o escoamento e a formação da camada limite. Como se pode notar, este fato não deve alterar o desempenho do conversor na faixa de operação para o qual o mesmo é projetado e onde a concordância é excelente.

## CAPÍTULO VI

## VI. CONCLUSÃO

A conclusão mais importante deste estudo analítico experimental é que o modelo "Clark-Brasil" é adequado para uma previsão segura do conversor de torque, estimando perdas um pouco maiores do que as medidas experimentais, enquanto o modelo "Clark-USA" prevê sempre perdas menores que as medidas experimentais.

Vale ressaltar, que o modelo desenvolvido neste estudo permite ao projetista do conversor, realizar uma profunda investigação teórica da influência das características geométricas, tanto da seção téroïdal como das aletas, no desempenho dos conversores de torque. Isto não é possível com o modelo "Clark-USA".

Acreditamos que, deverão ser investigados pela "Equipamentos Clark Ltda", com o objetivo de refinar ainda mais o modelo apresentado em nosso estudo, os efeitos que causam as distorções fora da faixa de projeto.

## TABELA DOS RESULTADOS

RELACAO DE VELOCIDADES	X PC	X PA
0	8.01E+01	1.89E+01
0.1	5.93E+01	1.81E+01
0.2	4.18E+01	1.79E+01
0.3	2.78E+01	1.64E+01
0.4	1.74E+01	1.46E+01
0.5	1.06E+01	1.25E+01
0.6	7.40E+00	1.04E+01
0.65	7.12E+00	8.28E+00
0.7	7.70E+00	8.10E+00
0.75	9.15E+00	8.84E+00
0.8	1.15E+01	5.75E+00
0.85	1.48E+01	4.56E+00
0.9	1.92E+01	3.35E+00
0.95	2.52E+01	2.09E+00
1.0	3.71E+01	4.80E-01

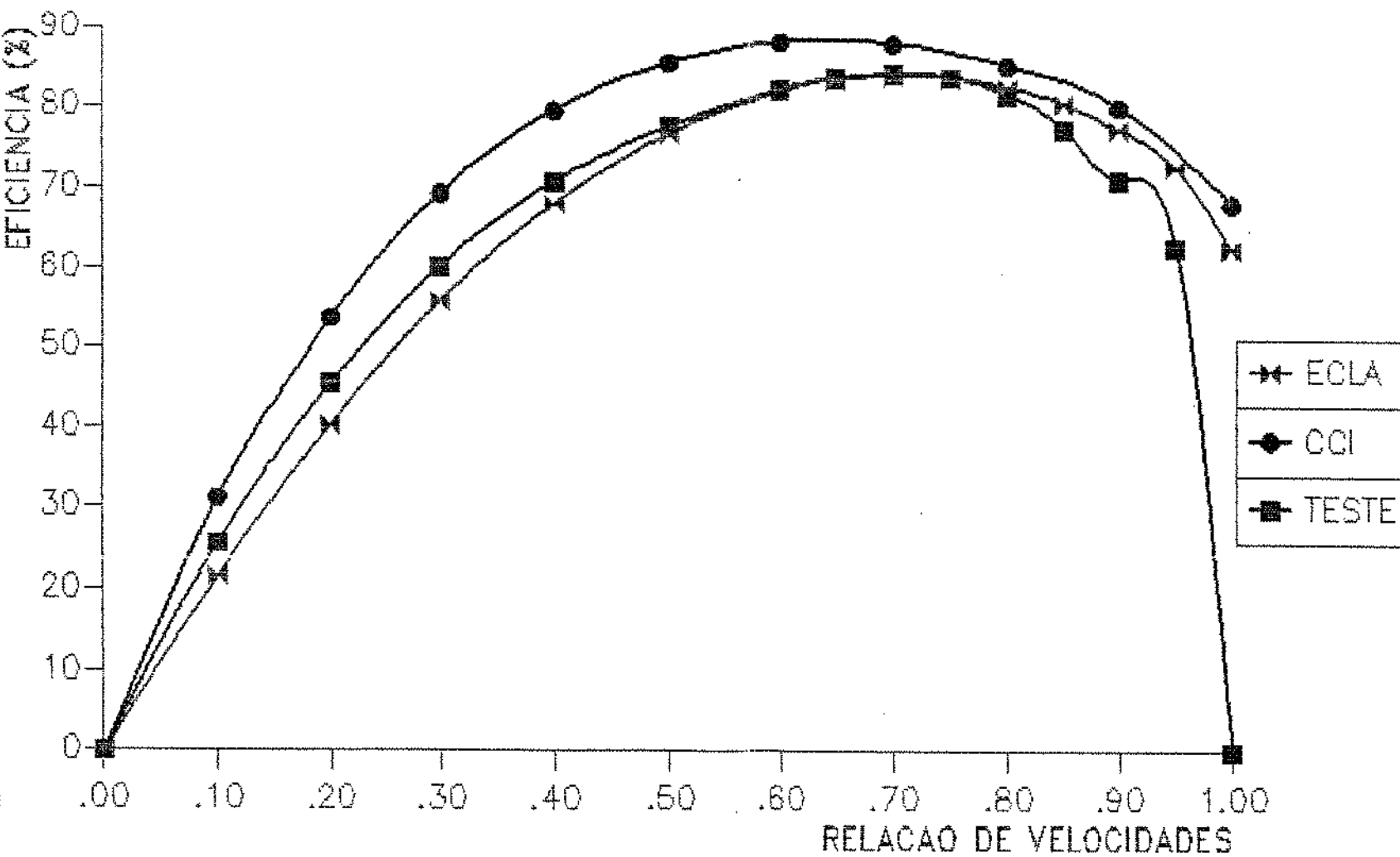
## TABELA DOS RESULTADOS

RELACAO DE VELOCIDADES	% PC	% PA
0	8.01E+01	1.89E+01
0.1	5.83E+01	1.91E+01
0.2	4.18E+01	1.79E+01
0.3	2.78E+01	1.64E+01
0.4	1.74E+01	1.46E+01
0.5	1.06E+01	1.25E+01
0.6	7.40E+00	1.04E+01
0.65	7.12E+00	9.26E+00
0.7	7.70E+00	8.10E+00
0.75	8.15E+00	6.84E+00
0.8	1.15E+01	5.75E+00
0.85	1.48E+01	4.58E+00
0.9	1.92E+01	3.35E+00
0.95	2.52E+01	2.09E+00
1.0	3.71E+01	4.80E-01

# COMPARACAO DAS EFICIENCIAS

## TABELA DOS RESULTADOS

	TESTE	CCI	ECLA
0.00	0.00	0.00	0.00
0.10	25.70	31.20	21.60
0.20	45.40	53.70	40.31
0.30	60.20	69.40	55.85
0.40	70.80	79.70	68.05
0.50	77.80	85.70	76.84
0.60	82.40	88.30	82.21
0.65	83.80		83.62
0.70	84.40	88.10	84.19
0.75	84.00		83.91
0.80	81.90	85.46	82.75
0.85	77.50		80.65
0.90	71.20	80.20	77.47
0.95	62.70		72.74
1.00	0.00	68.20	62.39



LEGENDA:

ECLA = CLARK BRASIL  
CCI = CLARK USA

Figura 5.4 : comparacao das eficiencias

# COMPARACAO DAS RELACOES DE TORQUE

EELA DOS  
ULTADOS

TESTE	CCI	ECLA
00	2.85	3.62
10	2.57	3.12
20	2.27	2.69
30	2.01	2.31
40	1.77	1.99
50	1.56	1.71
60	1.37	1.47
65	1.29	1.29
70	1.21	1.28
75	1.12	1.07
80	1.02	1.07
85	0.91	0.91
90	0.79	0.89
95	0.66	0.77
00	0.00	0.68

ENDA:  
 ECLA = CLARK BRASIL  
 CCI = CLARK USA

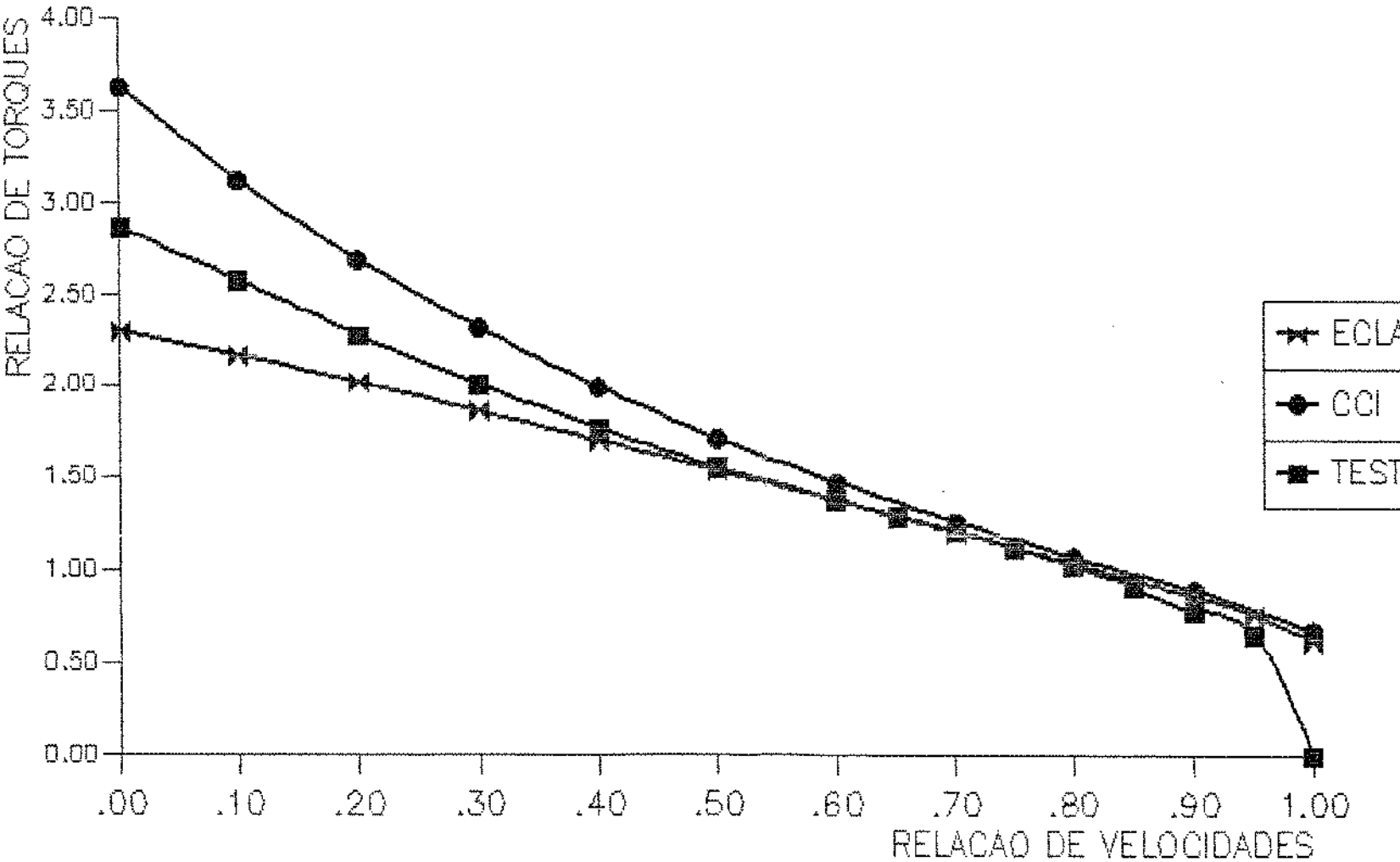


Figura 5.5 : comparacao das relacoes de torque

## BIBLIOGRAFIA

- [ 1) WIRBY, H.J. - "Technical Considerations for the Application of Hydraulic Torque Converters", ASME Journal Paper n° SB-SA-84, April, 1969.
- [ 2) WACLAWER, M.J. - "Altering Hydrodynamic Torque Converter Performance", SAE paper n° 730001, January, 1973.
- [ 3) EKSERGIAN, R. - "The Fluid Torque Converter and Coupling", Journal of Franklin Institute, Vol.235, May 1943, pp. 441-478.
- [ 4) QUALMAN, F.J. E EGGERT E.L. - "Fluid Couplings". Passenger Car Autom. Trans., SAE Transaction, Vol. S, 1970, pp. 183-187.
- [ 5) JANDASEK, V.J. - "Design of Single-Stage, Three-Element Torque Converter", Passenger Car Autom. Trans., SAE Transaction, Vol. S, 1970, pp. 201-226.
- [ 6) UPTON, E.W. - "Application of Hydrodynamic Drive Units to Passenger Car", Passenger Car Autom. Trans., SAE Transaction, Vol. S, 1970, pp. 165-181.
- [ 7) WALLACE, F.J., WHITFIELD, A. E SIVALINGAM R. - "A Theoretical Model for the Performance Prediction of Fully Filled Fluid Couplings", Int. J. Mech. Sci., Vol. 20, 1978, pp. 335-347.
- [ 8) PFLEIDERER, C. E PETERMANN, H. - "Máquinas de Fluxo", Livros Técnicos e Científicos Editora S.A., Rio de Janeiro, 1979.
- [ 9) MACINTYRE, A.J. - "Máquinas Motrizes Hidráulicas", Ed. Guanabara Dois S.A., Rio de Janeiro, RJ., 1983.
- [ 10) MITCHNER, J.A. - "Calculating Performance of a Torque Converter", Allison Division, Feb. 17, 1954.

- [11] FOX & McDONALD - "Introdução à Mecânica dos Fluidos", Ed. Guanabara Dols S.A., Rio de Janeiro, RJ., 1981.
- [12] SHAMES, I.H. - "Mecânica dos Fluidos", Edgard Blücher Ltda, São Paulo, 1973.
- [13] STREGTER, VICTOR L. - "Mecânica dos Fluidos", Ed. MacGraw-Hill do Brasil, 1977.
- [14] WALLACE, F.J., WHITFIELD, A. E SIVALINGAM R. - "A Performance Prediction Procedure for Three Element Torque Converter", Int. J. Mech. SCI., Vol. 20, 1978, pp. 801-814.
- [15] VENNARD, J.K. E STREET, R.L. - "Elementos de Mecânica dos Fluidos", Ed. Guanabara Dols, Rio de Janeiro, 1978.
- [16] Catálogo da "Clark Laboratory Services", 1990.
- [17] SAE Handbook, "SAE J 643", Vol. 4, 1990, pp. 29.05-29.07.
- [18] SCHNEIDER, H. E SPANNHAKE W. - "Hydraulic Torque Converter", United States Patent Office nº 2, 306,758, Dec. 1942.
- [19] MCLEAR, P.M. - "The Design Procedure of a Three Element Torque Converter", Allisson Division, Feb. 20, 1953.
- [20] SHEALY, A. - "Hydraulic Torque Converter Design", Clark Division Nov. 13, 1956.
- [21] MCLEAR, P.M. - "Torque Converter Vane Design", Allisson Division, June, 1958.
- [22] GHEREONICHENKO, Y.I. - "The Integrative and Power Properties of Torque Converters", Soviet Engineering Research, Vol. 4, nº 2, 1984, pp. 20-24.
- [23] WHITFIELD, A., WALLACE, F.J. E PATEL, A. - "Design of Three Element Hydrokinetic Torque Converters", Int. J. Mech. SCI., Vol.

25 nº 7, 1983, pp. 485-497.

- [24] RUMYANTSEV, L.A. - "Research on the Internal Characteristics of a Torque Converter Assembly", Soviet Engineering Research, Vol. 3 nº 8, 1983, pp. 18-20
- [25] PATEL, A., WHITFIELD A., WALLACE F.J. - "Performance Prediction of Multi Element Torque Converters", Int. J. Mech. SCI., Vol. 25 nº 2, 1983, pp. 77-85.
- [26] KOTWICKI, A.J. - "Dynamic Models for Torque Converter Equipped Vehicles", SAE paper nº 820393, 1982.
- [27] CHEN, J. - "Torque Converter Performance Estimation", Clark Division, Feb. 8, 1989.
- [28] CRANE INDUSTRIAL PRODUCTS GROUP - "Flow of Fluids Through Valves, Fittings and Pipe", Technical Paper nº 410, 1957.
- [29] DUBBEL - "Manual da Construção de Máquinas", Ed. Hemus, São Paulo, 1979.
- [30] ZINGSHEIM, E.W. E SCHALL, M.M. - "Progress of Torque Converters", SAE Transaction, Vol. 63, 1955, pp. 84-97.
- [31] STUART, D.J.K. - "Industrial Vehicle Torque Converter Transmissions", Proc. Instn. Mech. Engrs., Paper 5, 1970, pp. 97-127.
- [32] PEPPEL, J. - "Torque Converter Performance Evaluation", Clark Division, May, 1975.
- [33] ELDERTON, J. - "Fluid Couplings for Road Vehicle Transmission", Proc. Instn. Mech. Engrs., Paper 4, 1970, pp. 78-96.
- [34] "Hydrodynamic Power Transmissions", Voith Division, 1982.